

**Հ**ԱՅԱՍՏԱՐԻ ՔԻՄԻԱԿԱՐ ՀԱՐԴԵՍ

Химический журнал армении

CHEMICAL JOURNAL OF ARMENIA

#### ኤሆዶቤዓՐቤቕԱኄ ԿበኒዕዓኮԱ

վ. Դ. Ազաայան (գլխ. խմրագրի տեղակալ), Ա. Ա. Ալչուջյան, Հ. Գ. Բաբայան, Գ. Տ. Թադևոսյան (գլխ. խմրագիր), վ. Մ. Թառայան, Ա. Մ. Հակոբյան, Հ. Ա. Հարոյան, Ա. Հ. Մանթաշյան, Մ. Գ. Մանվելյան, Լ. Գ. Մելթոնյան, Հ. Հ. Չալրիկյան, Ս. Հ. Վարդանյան, Ս. Ա. Տեր-Դանիելյան (պատ. բարաուղար), Տ. Վ. Քրմոյան

Ավաղ խմբագիր՝ Ա. Ա. Դավթյան

#### РЕДАКЦИОННАЯ КОЛЛЕГИЯ

В. Д. Азатян (зам. глав. редактора), А. П. Аколян, А. А. Алчуджан, А. А. Аролн, Г. Г. Бабаян, С. А. Вартанян, Т. В. Крмоян, М. Г. Ман-велян, А. А. Манташян, Л. Г. Мелконян, В. М. Тараян, Г. Т. Титевосян (глав. редактор), С. А. Тер-Даниелян (ответ. секретарь), О. А. Чалтыкян

Старший редактор А. А. Давтян

Мариарпи Руш'я киндь'я время, вирьциали Руш'я, 24 Адрес редакціні: Ереван, Барекамутян, 24

	4.6
Ընգհանուր և ֆիզիկանան քիմիա	
Ռ. Վ. Քաղղասարյան, Լ. Գ. Մևլրոնյան — Քլորապրենի Էժուլսիոն պոլիժերացժան ժաժանակ ժերկապտաններով շղթայի փոխանցժան գործակիցների որոշուժ .	401
Cheorqueնական և անալիոիկ քիմիա	
Ռ. Ս. Սդոյան, Հ. Գ Բաբայան, Մ. Գ. Մանվելյան — Na <sub>3</sub> AlF <sub>4</sub> , K <sub>3</sub> AlF <sub>4</sub> և Li <sub>3</sub> AlF <sub>4</sub> ապարունակող սիստեմների ֆիդիկա-բիմիական ուսումնասիրություններ։ IV. Na <sub>3</sub> AlF <sub>6</sub> —K <sub>3</sub> AlF <sub>6</sub> —Li <sub>3</sub> AlF <sub>6</sub> հոկոմպոնննա սիստեմի մի շարբ Տատվածների	
հալման դիադրամները	406
ռեադենտներով սենիումի որոշման մասին	414
Օրգանական քիմիա	
Գ. Բ. Մարտիրոսյան, Է. Ա. Գրիգորյան, Ա. թ. Բաբայան — <i>Աժի</i> նների ժիացուժ	
վինիլաոլուոլին և վինիլջսիլոլին	420
սինթեղ և նրանց փոխարկումները։ VI. Ամինների միացումը պիպերիլենին . Մ. Ա. Չիլինգարյան, Հ. Ս. Հակոբյան, Մ. Հ. Բարխուղարյան —Վինիլի բլորիդի համա-	423
ահղ պոլիմերացումը վիճիլպրոսլիոնատի և վիճիլբուտիրատի հետ Հ. Տ. Եսայան, Գ. Ա. Գալոյան — Մուլֆոթթուների էսթերներ։ XV. Քլորմեթանսուլ–	428
ֆոթթվի էսթերներում հայողենի ատոմի ռեակցիոն ունակության մասին . Ս. Հ. Վարդանյան, Վ. Ն Ժամագործյան, Է. Լ. Ասոյան — Վինիլացետիլենի թիմիա։ LXXVII. 2,2,3,5– Տետրամեթիլ-3-իղոպրոպենիլէթինիլտետրահիղրոֆուրան	434
-8-ոլի սին թեպ և նրա փոխարկումները	438
Քիմիական <b>սեխ</b> նոլոգիա	
Գ. Գ. Մարտիրոսյան, Գ. Հ. Գրիզորյան — Հիմբասիլիկատային լուծույթների կառւս- տիֆիկացում։ []]. Հիմբասիլիկատային լուծույթների կառւստիֆիկացում	
<i>թրծած կրով</i>	454
բային թթու ապակիներից	466
wer6 hangargatuf Gir	
Գ. Ա. Իսայան, Ի. Ֆ. Բուչնև, Ժ. Մ. Գասպարյան <i>— Կիսանադորդիչների ԵԳՌ-ը և</i> <i>կատալիտիկ ակտիվությունը</i>	474
8ու Կ. Կաբալյան, Լ. Գ. Մելթոնյան — Պոլիբլորապրենի Էլեկտրահաղորդականու- Թյան կախումը մոլեկուլային կջոից	477
Մ. Ն. Հարությունյան — Ֆլոտացիոն մնացորդներից ոսկու կորգումը սորբցիոն ալ- կալիհանման մեթոդով	479
wen <b>s</b> իկա	
Վ. Գ. Աֆրիկյան — Ծննդյան 60-ամյակի առթիվ	482

## СОДЕРЖАНИЕ

			Стр.
		Общая и физическая химия	
P.	В.	Багдасарян. Л. Г. Мелконян — Определение коэффициентов переноса цепи меркаптанами при эмульсионной полимеризации хлоропрена	401
		Неорганическая и аналитическая химия	
		Едоян, Г. Г. Бабаян, М. Г. Манвелян — Физико-химические исследования систем, содержащих Na <sub>3</sub> AlF <sub>6</sub> . K <sub>3</sub> AlF <sub>6</sub> и Li <sub>3</sub> AlF <sub>6</sub> . IV. Диаграммы плавкости ряда разрезов тройной системы Na <sub>3</sub> AlF <sub>6</sub> —K <sub>3</sub> AlF <sub>6</sub> —Li <sub>3</sub> AlF <sub>6</sub>	406 414
		Органическая химия	
Г.	т.	<i>Мартиросян. Э. А. Григорян, А. Т. Бабаян</i> — Присоединение аминов к	
		виниятолуолу и винияксилолу	420
М.	A	непредельных аминов. VI. Присоединение аминов к пиперилену	423
Γ.	<b>T</b> .	зация винилхлорида с винилпропионатом и винилбутиратом	428
C.	A.	ности атома галонда в эфирах хлорметансульфокислоты	434
C.	Γ.	тетрагидрофуран-3-ола	438
		Химическая технология	
Γ.	Γ.	Мартиросян, Г. О. Григорян — Каустификация щелочно-кремнеземистых растворов. III. Каустификация щелочно-кремнеземистых растворов обож-	
м	R	женным известняком	454
WI.	Δ.	вулканических стекол	468
		Краткие сообщения	*
Γ.	A.	Исаян, И. Ф. Бучнев, Ж. М. Гаспарян — ЭПР и каталитическая актив-	
Ю.	K	ность полупроводников	474
		ропрена от молекулярного веса	477
		ционного выщелачивания	479
		Хроника	
В.	Γ.	Африкян — К 60-летию со дня рождения	482

XX, № 6, 1967

#### ОБЩАЯ И ФИЗИЧЕСКАЯ ХИМИЯ

УДК 541.64+678.763.2

## ОПРЕДЕЛЕНИЕ КОЭФФИЦИЕНТОВ ПЕРЕНОСА ЦЕПИ МЕРКАПТАНАМИ ПРИ ЭМУЛЬСИОННОЙ ПОЛИМЕРИЗАЦИИ ХЛОРОПРЕНА

#### Р. В. БАГДАСАРЯН и Л. Г. МЕЛКОНЯН

Исследовано влияние молекулярного веса первичных (от С5 до С12) и третичных (Са и С12) меркаптанов на коэффициент переноса цепи при эмульсионной полимеризации хлоропрена, инициируемой персульфатом калия в атмосфере воздуха, при 40°. Установлено, что по мере увеличения числа углеродных атомов в молекуле и-меркаптана константа переноса цепи (С) от 2,86 при С<sub>5</sub> уменьшается до 0,37 при С12. Для третичных меркаптанов С, и С12 константа переноса цепи значительно (~4 раза) меньше по сравнению с соответствующими и-меркаптанами.

Из трех изомеров третичного додецилмеркаптана (2-метилундецилтиол-2, 3-метилундецилтиол-3 и 3-этилдецилтиол-3) быстрее расходуется меркаптан с более ко-

роткой основной углеродной цепью.

В ряду исследованных и-меркаптанов наилучшим регулирующим агентом является децилмеркантан, у которого C=1; поэтому он может быть рекомендован для применения при синтезе наирита П.

Установлено, что с увеличением молекулярного веса и-меркаптана вполне закономерно уменьшается его ускоряющая способность; получено соотношение, выражающее эту зависимость.

Известно [1], что некоторые сернистые соединения, например, меркаптаны, тиокислоты, сера, полисульфиды и др., добавленные в незначительных количествах в полимеризационные системы, благоприятствуют образованию линейных макромолекул и позволяют регулировать молекулярно-весовой состав полимера, от которого зависят основные его рабочие свойства. Отсутствие подобных соединений - регуляторов в полимеризационной системе-приводит к образованию нерастворимых, трудно обрабатываемых продуктов.

Процесс регулирования молекулярно-весового состава полимеров меркаптанами объясняется механизмом передачи цепи [2]. Подтверждение такого взгляда на механизм действия меркаптанов было дано Смитом [3], согласно которому в гомогенной системе скорости расхода регулятора и мономера подчиняются определенной закономерности, выражающейся соотношением:

$$\frac{d \lg R}{d \lg m} = \frac{K_s}{K_s} = \overline{C},\tag{1}$$

где R и m — количества непрореагировавших регулятора и мономера. Отношение констант скоростей переноса и роста цепей  $\frac{K_3}{K_4}$  Майо [2] назвал константой переноса и обозначил ее символом  $\overline{C}$ .

При проведении полимеризации в негомогенной системе, например, в эмульсии, можно было бы ожидать наличия более сложного соотношения, чем это дается уравнением (1). Однако, в случае, когда скорости миграции мономера и регулятора в зону реакции соизмеримы и достаточно велики для того, чтобы система находилась в равновесии, отношение  $\frac{R}{m}$  будет одинаково как в реакционных

центрах, так и в эмульгированных каплях, как это наблюдается в случае эмульсионной полимеризации, и константа переноса цепи может быть рассчитана по той же формуле (1).

C целью правильного выбора меркаптана для регулирования молекулярно-весового состава полимера нами определялись константы переноса цепи ( $\overline{C}$ ) для ряда нормальных и третичных меркаптанов при эмульсионной полимеризации хлоропрена.

Расчеты  $\overline{C}$  проводились по данным скоростей выхода полимера и расхода меркаптана по ходу полимеризации хлоропрена.

## Экспериментальная часть и обсуждение

Полимеризация хлоропрена проводилась в трехлитровой колбе при 40°, в атмосфере воздуха. Инициатором служил персульфат калия  $(0,6^0/_0$  от мономерной фазы). В качестве регуляторов применялись нормальные меркаптаны от  $C_5$  до  $C_{12}$  и третичные  $C_9$ ,  $C_{12}$ . Меркаптаны вносились в мономерную фазу в эквимолекулярных количествах  $(0,02\ z\text{-9кв}/1000\ z\ хлоропрена)$ . Эмульгатором служил СТЭК (натриевые соли сульфированной газойлевой фракции нефти). Концентрация непрореагировавшего меркаптана (R) определялась амперометрическим титрованием [4], а концентрация непрореагировавшего мономера (m) — из данных выхода полимера (измеренных по сухому остатку): значения  $\overline{C}$  определялись графически, по наклону кривых зависимости  $\log {}^0/_0$  непрореагировавшего меркаптана  $(\log R)$  от  $2 - \log {}^0/_0$  непрореагировавшего хлоропрена  $(2-\log m)$  (рис. 1).

Исходные вещества: применялся заводской хлоропрен, имевший следующие физико-химические показатели:  $d_{20}^{20}=0,9583;$   $n_{D}^{20}=1,4583;$   $t_{k}=59,4^{\circ}$ С. Чистота хлоропрена проверялась хроматографически [5], содержание примесей (только высококипящие компоненты) составляло не больше  $0,3^{\circ}/_{0}$ . Надсернокислый калий марки "х.ч." предварительно перекристаллизовывался. Дисперсионная среда: вода-дистиллят.

Из рисунка 1 видно, что при эмульсионной полимеризации хлоропрена по мере увеличения числа углеродных атомов в молекулеи-меркаптана вполне закономерно уменьшается константа переноса цепи от 2,86 при  $C_5$  до 0,37 при  $C_{12}$ . Для третичных меркаптанов  $C_9$  и  $C_{12}$  константа переноса цепи значительно ( $\sim$ 4 раза) ниже, по сравнению с соответствующими  $\kappa$ -меркаптанами.

Первичные меркаптаны ниже С, более чем на 80% от заданного

в систему количества расходуются до мономерной исчезновения втномом фазы ( $\sim 60^{\circ}/_{\circ}$  конверсии), а  $\kappa$ -меркаптаны выше С11 в основном расходуются после исчезновения мономерной фазы. Видимо, с повышением молекулярного веса меркантана, т. е. с уменьшением его полярности, уменьшается раствореакционноспособность низкомолекулярных меркаптанов, наслое эмульгатора больше В намного ниже объеме полимерно-мономерных частиц, носительно высокомолекулярных меркаптанов, наоборот. Очевидно, что в слое эмульгатора н-меркаптаны и их смеси со средним молекулярным весом  $170 \pm 20$ , у которых  $\overline{C}$  близко к еди-

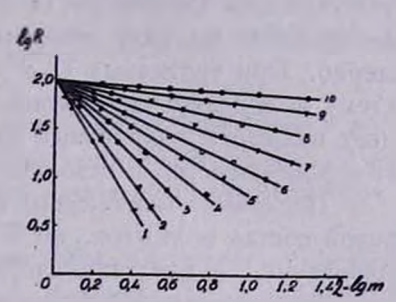


Рис. 1. Зависимость  $\lg \circ/_0$  непрореагировавшего меркаптана ( $\lg R$ ) от  $2-\lg \circ/_0$  непрореагировавшего хлоропрена ( $2-\lg m$ ). 1—изоамил-; 2—гексил-; 3—гептил-; 4—октил-; 5—нонил-; 6—смесь  $C_7$ — $C_{11}$  со средним мол. весом 170; 7—ундецил-; 8—додецил-; 9—метилоктилтиол-2; 10—2-метилундецилтиол-2.

нице, по всему ходу полимеризации сохраняют почти постоянную реакционноспособность в элементарном акте передачи цепи. Опыты

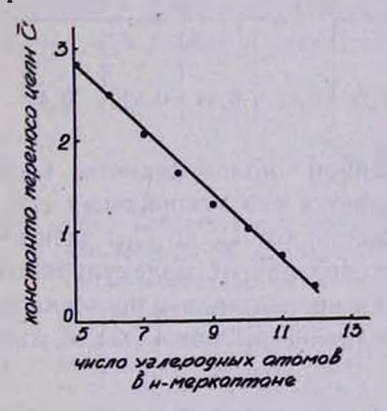


Рис. 2. Зависимость константы переноса цепи  $(\overline{C})$  от числа углеродных атомов в  $\kappa$ -меркаптане.

показали, что такие меркаптаны расходуются, в основном, на реакции переноса цепи. На вторичные реакции они расходуются намного меньше, чем n-меркаптаны с молекулярным весом выше 190 и третичные—выше 130. И действительно, из рисунка 2 видно, что в ряду исследованных n-меркаптанов наилучшим регулирующим агентом является децилмеркаптан, у которого  $\overline{C}=1$ . Этот результат полностью согласуется с данными, приведенными в предыдущей работе [6].

Исследовалось также влияние длины основной цепи третичного додецил-

меркаптана на константу переноса цепи. Из трех третичных додецилмеркаптанов (2-метилундецилтиол-2, 3-метилундецилтиол-3, 3-этилдецилтиол-3) сравнительно быстрее расходуется меркаптан, имеющий более короткую основную цепь, приводя к увеличению константы переноса цепи. Видимо, это можно объяснить лучшей растворимостью и поляризуемостью разветвленного меркаптана в слое эмульгатора, что приводит к увеличению его реакционноспособности.

Из данных измерений следует, что для регулирования молекулярно-весового состава полихлоропрена целесообразно использовать  $\kappa$ -меркаптаны от  $C_9$  до  $C_{12}$ . Расход последних, по сравнению с соответствующим третичным, в 2-4 раза меньше. Заданный в систему  $\kappa$ -меркаптан по ходу полимеризации расходуется полностью и равномерно. При третичных  $C_9$  и  $C_{12}$  примерно  $40-50^9/_0$  заданного в систему количества меркаптана остается непрореагировавшим, что придает полимеру неприятный запах и в дальнейшем влияет на технологические свойства и стабильность продукта.

Поскольку меркаптаны не только регулируют молекулярно-весовой состав полимера, но и являются ускорителями процесса полимеризации [7], представлялось интересным также выяснить зависимость ускоряющей способности нормального меркаптана от его молекулярного веса. Для этого по данным измерений строились кривые "выход полимера—время" для каждого n-меркаптана (от  $C_5$  до  $C_{12}$ ) и на основании этих кривых были рассчитаны среднеквадратичные скорости полимеризации (V) для всего процесса (от 0 до  $98^0/_0$  конверсии мономера). Результаты измерений приведены в таблице 1.

Таблица 1

	м-Меркаптаны (0,02 г-экв/1000 г хлоропрена К <sub>2</sub> S <sub>2</sub> O <sub>6</sub> (0,42°/ <sub>0</sub> по водяной фазе)							Без мер-	
133	C <sub>5</sub>	C.	C7	C,	C,	C <sub>10</sub>	C11	C 13	каптана
V г полимера/100 мл водной фазы в мин.		0,94	0,88	0,81	0,72	0,65	0,58	0,52	0,45

Из данных видно, что с увеличением молекулярного веса n-меркаптана вполне закономерно уменьшается его ускоряющая способность. Для исследованных n-меркаптанов (от  $C_5$  до  $C_{12}$ ) зависимость среднеквадратичной скорости полимеризации от молекулярного веса (при эквимолекулярных концентрациях меркаптанов и постоянной концентрации  $K_2S_2O_8=0.42^0/_0$  на 100~mл водной фазы при  $40^\circ$ C) можно выразить соотношением:

$$V = V_0 + 0.072 (13 - n)$$
,

где  $V_0$  — среднеквадратичная скорость полимеризации при отсутствии в эмульсионной системе меркаптана, n — число углеродных атомов в молекуле n-меркаптана.

Всесоюзный научно-исследовательский и проектный институт полимерных продуктов

Поступило 30 VI 1966

## ՔԼՈՐԱՊՐԵՆԻ ԷՄՈՒԼՍԻՈՆ ՊՈԼՒՄԵՐԱՑՄ<mark>ԱՆ ԺԱՄԱՆ</mark>ԱԿ ՄԵՐԿԱՊՏԱՆՆԵՐՈՎ ՇՂԹԱՅԻ ՓՈԽԱՆՑՄԱՆ ԳՈՐԾԱԿԻՑՆԵՐԻ ՈՐՈՇՈՒՄ

Ռ. Վ. **ԲԱՂԴԱՍԱՐՏԱՆ Ե Լ. Գ. ՄԵԼՔՈՆՏԱՆ** 

#### Lihahaid

Ուսումնասիրված է  $40^\circ$ -ում կալիումի պերսուլֆատի հարուցմամբ քլորապրենի էմուլսիոն պոլիմերացման ժամանակ, առաջնալին ( $C_3$ -ից մինչև  $C_{12}$ ) և երրորդալին( $C_6$  և  $C_{12}$ ) մերկապտանների մոլեկուլալին կշիռների ազդեպունը լունը օդթալի փոխանցման գործակցի վրա

 $\mathcal{B}_{nr}$  եր արված, որ առաջնալին մերկապտանի մոլեկուլում ածխածնի ատոմների թվի ավելանալը բերում է շղթալի փոխանցման դործակցի  $\overline{(C)}$  օրինաչափ փոքրացման 2.86-ից $(C_5$ -ի դեպքում) մինչև 0.37  $(C_{12}$ -ի դեպքում)։ Երթորդալին  $C_9$  և  $C_{12}$  մերկապտանների դեպքում շղթալի տեղափոխման դործակիցը համապտասխան առաջնալին մերկապտանների հետ համեմատած բավականաչափ ( $\sim$ 4 անգամ) փոքր է։

Երրորդային դոդեցիլմերկապատնի երեք իզոմերներից (2-մեթիլունդե-ցիլթիոլ-2, 3-մեթիլունդեցիլթիոլ-3 և 3-էթիլդեցիլթիոլ-3) համեմատատարտ ցիլթիոլ-2, 3-մեթիլունդեցիլթիոլ-3 և 3-էթիլդեցիլթիոլ-3) համեմատատարտ արագ ծախսվում է ալն մերկապատնը, որև ունի ավելի կարճ հիմնական ածխածնալին շղթա։ Առաջնալին մերկապատներից լավագուլն կարդավորող ադենտը հանդիսանում է դեցիլմերկապատնը ( $\overline{C}=1$ ), որը պրոցեսի ընթա-ցրում ծախսվում է հավասարաչափ, հիմնականում շղթալի փոխանցման ռեակցիալի վրա, պահպանելով պոլիմերի ստանդարտութլուն։ Այդ իսկ պատհատվ ալն կարելի է օգտագործել նաիրիտ  $\Pi$ -ի սինթեղի ժամանակ։

#### ЛИТЕРАТУРА

- Уитби, Синтетический каучук, Госхимиздат, Ленинград, 1957 г., стр. 221—241; 580—589; А. Л. Клебанский, Р. М. Сорокина, Труды третьей конференции по высокомолекулярным соединениям, Москва, 1947 г., стр. 10; N. L. Semon, Chem. Eng. News, 21, 1613 (1943); Kramer, Ind. Eng. Chem., 34, 243 (1942); Fryling, Ind. Eng. Chem., Anal. Ed. 16, 1 (1944).
- I. M. Kolthoff, J. Am. Chem. Soc., 67, 1672 (1945);
   99, 441 (1947);
   W. I. Dale, I. K. Miller, J. Pol. Sci., 5, 669 (1950);
   J. Flory, J. Am. Chem. Soc., 59, 241 (1937);
   I. W. McFarland, R. Pariser, J. App. Pol. Sci., 7, 675 (1963);
   F. R. Mayo, J. Am. Chem. Soc., 65, 2324 (1943).
- 3. W. V. Smith, J. Am. Chem. Soc., 68, 2059 (1946).
- 4. Л. Г. Мелконян, Р. В. Багдасарян, Ж. В. Бунатянц, Арм. хим. ж., 19, 402 (1966).
- 5. Л. Г. Мелконян, К. А. Кургинян, И. Б. Хачванкян, Научно-технический сборник ГНТК Совета Министров АрмССР, серия химия и хим. технология № 3-стр. 11 (1962).
- 6. Л. Г. Мелконян, Р. В. Багдасарян, Р. А. Карапетян, Арм. хим. ж. 19, 733 (1966).
- A. L. Kranee, Rybber Age, 75, 217 (1954); W. E. Mochel, I. H. Peterson, J. Am. Chem. Soc., 71, 1426 (1949).

XX, № 6, 1967

#### НЕОРГАНИЧЕСКАЯ И АНАЛИТИЧЕСКАЯ ХИМИЯ

УДК 541.123.3+546.32+546.33+546.34

# ФИЗИКО-ХИМИЧЕСКИЕ ИССЛЕДОВАНИЯ СИСТЕМ, СОДЕРЖАЩИХ Na<sub>3</sub>AIF<sub>6</sub>, K<sub>3</sub>AIF<sub>6</sub> и Li<sub>3</sub>AIF<sub>6</sub>

IV. ДИАГРАММЫ ПЛАВКОСТИ РЯДА РАЗРЕЗОВ ТРОЙНОЙ СИСТЕМЫ N83AIF6—K3AIF6—LI3AIF6

Р. С. ЕДОЯН, Г. Г. БАБАЯН и М. Г. МАНВЕЛЯН

Построены днаграммы плавкости 10 разрезов, исходящих из угла натриевого криолита с постоянным весовым отношением калиевого криолита к литиевому 9:1; 8:2; 7:3; 1:1; 3:7; 1:9; и изоконцентраты 20, 50, 80 и 90% вес. Na<sub>3</sub>AlF<sub>6</sub>. Линии ликвидуса первых трех разрезов состоят из восьми кривых, четвертого из двухлятого из четырех, шестого из двух, седьмого и восьмого из трех, девятого из двух и наконец десятого из одной кривой первичных выделений твердых фаз системы Na<sub>3</sub>AlF<sub>6</sub>—K<sub>3</sub>AlF<sub>6</sub>—Li<sub>3</sub>FAl<sub>6</sub>.

Составы тройных сплавов были взяты на разрезах, исходящих из угла натриевого криолита с постоянным весовым отношением калиевого криолита к литиевому 9:1; 8:2; 7:3; 1:1; 3:7 и 1:9, а также на изоконцентратах 20, 50, 80 и 90% вес. Na<sub>3</sub>AlF<sub>6</sub>. Сплавы этих разрезов изучались методом термического анализа, путем записи на пирометре кривых охлаждения. На основании этих данных построены диаграммы плавкости указанных резервов и диаграмма плавкости системы Na<sub>3</sub>AlF<sub>6</sub>—K<sub>3</sub>AlF<sub>6</sub>—Li<sub>3</sub>AlF<sub>6</sub>.

Разрез с постоянным весовым отношением калиевого криолита к литиевому 9:1 (рис. 1). Линия ликвидуса состоит из восьми кривых: первичной кристаллизации натриевого криолита, соединения  $2Na_3AlF_6 \cdot K_3AlF_6$ , соединения  $3Na_3AlF_6 \cdot 3K_3AlF_6$ , соединения  $Na_3AlF_6 \cdot 2K_3AlF_6$ , соединения  $2Na_3AlF_6 \cdot 5K_3AlF_6$ , соединения  $2Na_3AlF_6 \cdot 5K_3AlF_6$  и фазы  $K_3AlF_6$ . Первые две кривые пересекаются в точке при температуре  $830^\circ$ , которая находится на линии моновариантного равновесия и отвечает совместной кристаллизации  $Na_3AlF_6$  и  $2Na_3AlF_6 \cdot K_3AlF_6$ . Вторая и третья кривые пересекаются в точке при температуре  $825^\circ$ , которая находится на линии моновариантного равновесия и отвечает совместной кристаллизации  $2Na_3AlF_6 \cdot K_3AlF_6$  и  $5Na_3AlF_6 \cdot 3K_3AlF_6$ . Третья и четвертая кривые пересекаются в точке при температуре  $838^\circ$ , которая находится на линии моновариантного равновесия и отвечает совместной кристаллизации

-5Na<sub>3</sub>AlF<sub>6</sub>·3K<sub>3</sub>AlF<sub>6</sub> и Na<sub>3</sub>AlF<sub>6</sub>·K<sub>3</sub>AlF<sub>6</sub>. Четвертая и пятая кривые пересекаются в точке при температуре  $830^\circ$ , которая находится на линии моновариантного равновесия и отвечает совместной кристаллизации Na<sub>3</sub>AlF<sub>6</sub>·K<sub>3</sub>AlF<sub>6</sub> и 3Na<sub>3</sub>AlF<sub>6</sub>·5K<sub>3</sub>AlF<sub>6</sub>. Пятая и шестая кривые пересекаются в точке при температуре  $826^\circ$ , которая находится на линии моновариантного равновесия и отвечает совместной кристаллизации

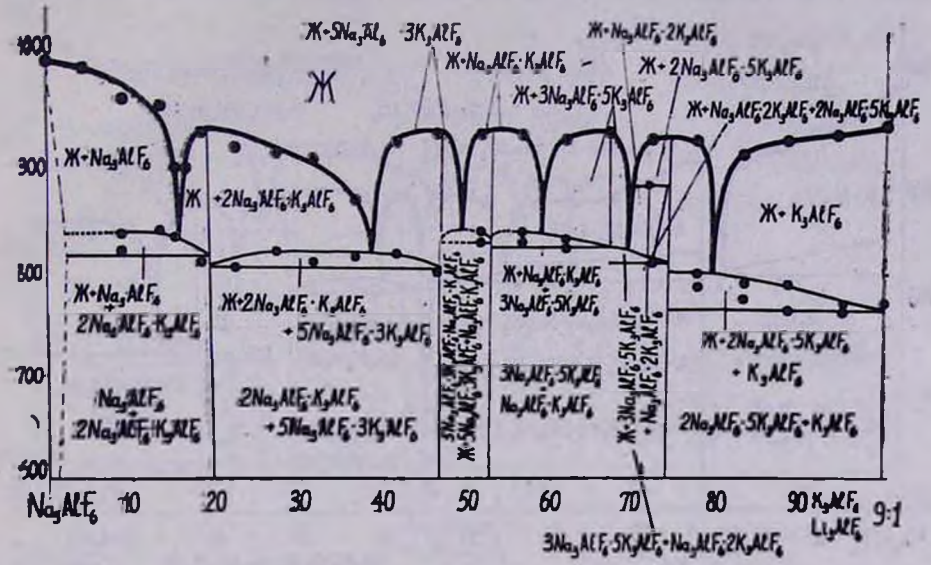


Рис. 1. Разрез с постоянным весовым отношением калиевого криолита к литиевому 9:1.

 $3Na_3AlF_6 \cdot 5K_2AlF_6$  и  $Na_3AlF_6 \cdot 2K_3AlF_6$ . Пересечение кривых первичного выделения  $Na_3AlF_6 \cdot 2K_3AlF_6$  и фазы  $2Na_3AlF_6 \cdot 5K_3AlF_6$  дает точку с температурой  $870^\circ$ , лежащую на кривой, вдоль которой протекает реакция

 $Na_3AiF_6 \cdot 2K_3AiF_6 + M_1 = 2Na_3AiF_6 \cdot 5K_3AiF_6 + M_2$ 

Пересечение кривых первичного выделения  $2Na_3AlF_6 \cdot 5K_3AlF_6$  и фазы  $K_3AlF_6$  дает точку, при температуре  $790^\circ$ , на моновариантной кривой, соответствующей совместной кристаллизации  $2Na_3AlF_6 \cdot 5K_3AlF_6$  и  $K_3AlF_6$ .

Разрез с постоянным весовым отношением калиевого криолита к литиевому 8:2 (рис. 2). Линия ликвидуса состоит из восьми кривых: первичной кристаллизации натриевого криолита, соединения 2Na<sub>3</sub>A1F<sub>6</sub>· K<sub>3</sub>A1F<sub>6</sub>, соединения 5Na<sub>3</sub>A1F<sub>6</sub>· 3K<sub>2</sub>A1F<sub>6</sub>, соединения Na<sub>3</sub>A1F<sub>6</sub>· - K3AlF6, соединения 3Na3AlF6.5K3AlF6, соединения Na3AlF6.2K3AlF6, соединения 2Na, AIF в УК, AIF в и фазы К, AIF в. Первые две кривые пересекаются в точке при температуре 820°, которая находится на линии моновариантного равновесия и отвечает совместной кристаллизации Na<sub>3</sub>AlF<sub>3</sub> и 2Na<sub>3</sub>AlF<sub>6</sub>-K<sub>3</sub>AlF<sub>6</sub>. Вторая и третья кривые пересекаются в точке при температуре 820°, которая находится на линии моновариантного равновесия и совместной тэврэвто кристаллизации 2Na,AIF, К,AIF, и 5Na,AIF, ЗК,AIF. Третья и четвертая кривые пересекаются в точке при температуре  $825^\circ$ , которая находится на линии моновариантного равновесия и отвечает совместной кристаллизации  $5\mathrm{Na_3AlF_6} \cdot 3\mathrm{K_3AlF_6}$  и  $\mathrm{Na_3AlF_6} \cdot \mathrm{K_3AlF_6}$ . Четвертая и пятая кривые пересекаются в точке при температуре  $820^\circ$ , которая находится на линии моновариантного равновесия и отвечает совместной кристаллизации  $\mathrm{Na_3AlF_6} \cdot \mathrm{K_3AlF_6}$  и  $3\mathrm{Na_2AlE_6} \cdot 5\mathrm{K_3AlF_6}$ . Пятая и шестая кривые

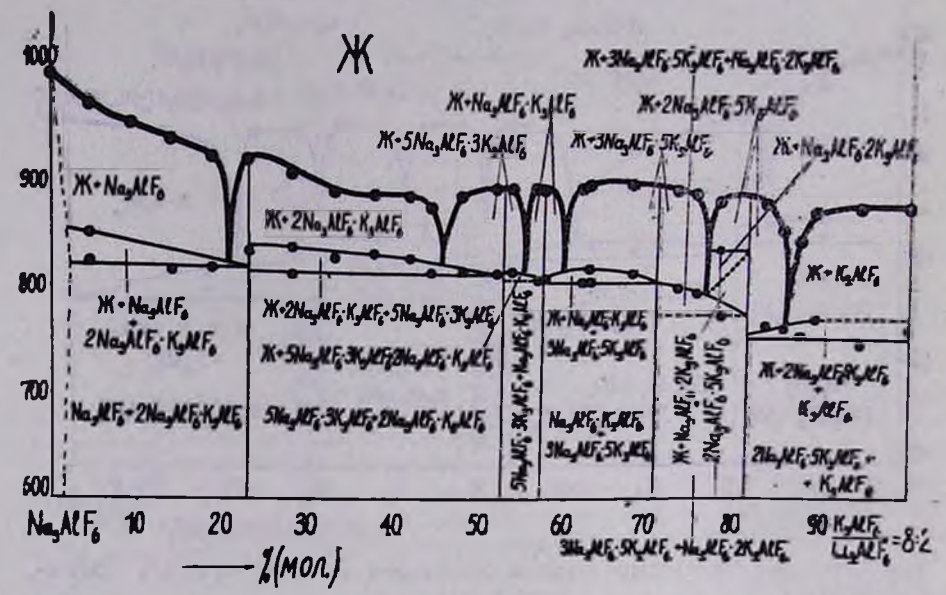


Рис. 2. Разрез с постоянным весовым отношением калневого криолита к литиевому 8:2.

пересекаются в точке при температуре  $820^\circ$ , которая находится на линии моновариантного равновесия и отвечает совместной кристаллизации  $3Na_3AiF_6 \cdot 5K_3AiF_6$  с  $Na_3AiF_6 \cdot 2K_3AiF_6$ . Пересечение кривых первичного выделения  $Na_3AiF_6 \cdot 2K_3AiF_6$  и фазы  $2Na_3AiF_6 \cdot 5K_3AiF_6$  дает точку с температурой  $840^\circ$ , лежащую на кривой, вдоль которой протекает реакция

 $Na_3AiF_6 \cdot 2K_3AiF_6 + M_1 = 2Na_3AiF_6 \cdot 5K_3AiF_6 + M_2$ 

Пересечение кривых первичного выделения  $2Na_3AlF_6 \cdot 5K_3AlF_6$  и фазы  $K_3AlF_6$  дает точку, лежащую при температуре  $778^\circ$  на моновариантной кривой, соответствующей совместной кристаллизации  $2Na_3AlF_6 \cdot 5K_3AlF_6$  и  $K_3AlF_6$ .

Разрез с постоянным весовым отношением колиевого криолита к литиевому 7:3 (рис. 3). Линия ликвидуса состоит из восьми кривых: первичной кристаллизации натриевого криолита, соединения  $2Na_3AlF_6 \cdot K_3AlF_6$ , соединения  $5Na_3AlF_6 \cdot 3K_3AlF_6$ , соединения  $Na_3AlF_6 \cdot K_3AlF_6$ , соединения  $3Na_3AlF_6 \cdot 5K_3AlF_6$ , соединения  $2Na_3AlF_6 \cdot 2K_3AlF_6$ , соединения  $2Na_3AlF_6 \cdot 5K_3AlF_6$  и соединения  $2K_3AlF_6 \cdot Li_3AlF_6$ . Линии моновариантных равновесий пересекаются в точках, лежащих соответственно при температурах:  $818^\circ$ ,  $817^\circ$ ,  $810^\circ$ .  $800^\circ$ ,  $805^\circ$ ,  $755^\circ$ . В от-

личие от вышеуказанных разрезов на этой диаграмме плавкости при высоких концентрациях литиевого криолита (выше  $96,8^{\circ}/_{\circ}$  моль  $K_{3}AlF_{6}+Ll_{3}AlF_{6}$ ) имеется линия моновариантного равновесия, отвечающая первичному выделению соединения состава  $2K_{3}AlF_{6}\cdot Ll_{3}AlF_{6}$ .

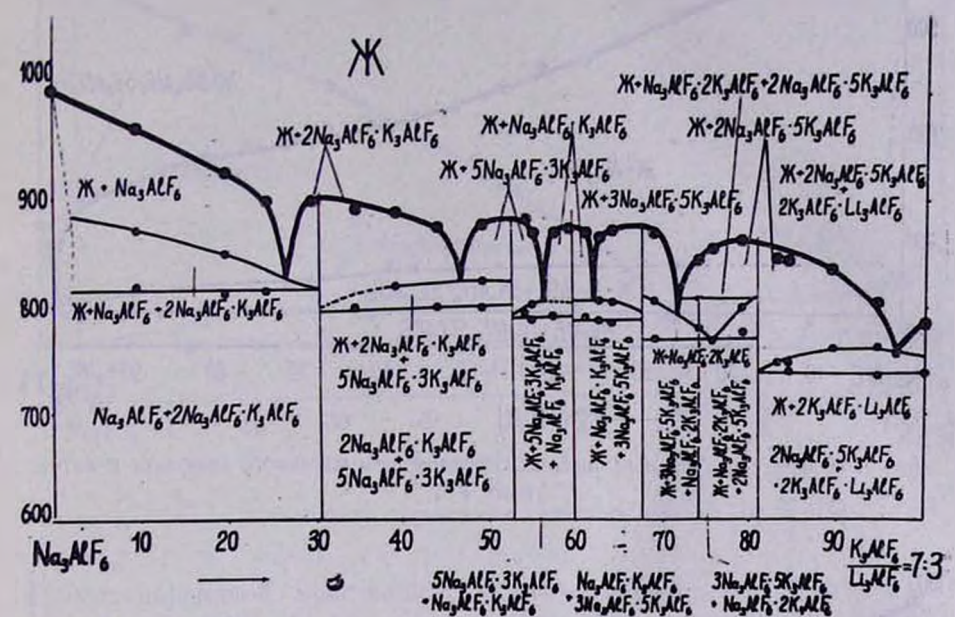


Рис. 3. Разрез с постоянным весовым отношением калиевого криолита к литиевому 7:3.

Разрез с постоянным весовым отношением калиевого криолита к литиевому 1:1 (рис. 4). Линия ликвидуса состоит из двух кривых: первичной кристаллизации фазы —  $Na_3AlF_6$ , занимающей основную часть диаграммы плавкости и очень узкого участка кривой, отвечающей кристаллизации  $3Na_3AlF_6 \cdot 5K_3AlF_6$ . Эти кривые пересекаются в точке при температуре  $638^\circ$ , которая находится на линии моновариантного равновесия и отвечает совместной кристаллизации  $Na_3AlF_6$  и  $3K_3AlF_6 \cdot 5Ll_3AlF_6$ .

Разрез с постоянным весовым отношением калиевого криолита к литиевому 3:7 (рис. 5). Линия ликвидиуса состоит из четырех кривых: первичной кристаллизации фазы —  $Na_3AlF_6$ , кристаллизации фазы —  $Na_3AlF_6$  (второй участок) и первичной кристаллизации  $3K_3AlF_6$   $5Li_3AlF_6$ .

Первые две кривые пересекаются в точке при температуре 668°, которая находится на линии моновариантного равновесия и отвечает совместной кристаллизации Na<sub>3</sub>AiF<sub>6</sub> и Li<sub>2</sub>AiF<sub>6</sub> фаз. Вторая и третья кривые пересекаются в точке при температуре 640°, лежащей на той же линии моновариантного равновесия, отвечающей совместной кристаллизации Na<sub>2</sub>AiF<sub>6</sub> и Li<sub>2</sub>AiF<sub>6</sub> фаз.

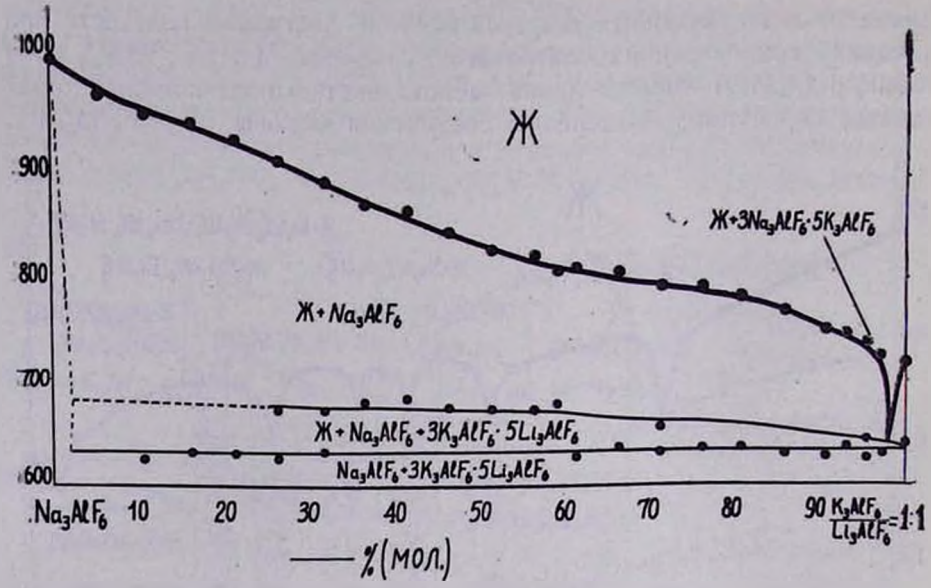


Рис. 4. Разрез с постоянным весовым отношением калиевого криолита к литиевому 1:1.

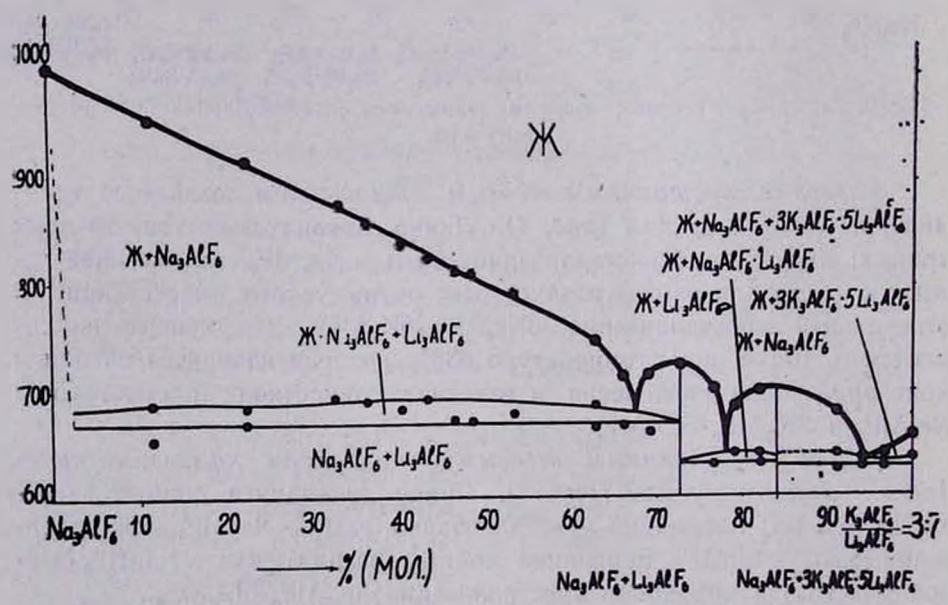


Рис. 5. Разрез с постоянным весовым отношением калиевого криолита к литиевому 3:7.

И, наконец, пересечение третьей и четвертой кривых (температура 636°) лежит на линии моновариантного равновесия, отвечающей совместной кристаллизации Na<sub>3</sub>AiF<sub>6</sub> и 3K<sub>3</sub>AiF<sub>6</sub>-5Li<sub>3</sub>AiF<sub>6</sub> фаз.

Разрез с постоянным весовым отношением калиевого криолита к литиевому 1:9 (рис. 6). Линия ликвидуся состоит из двух

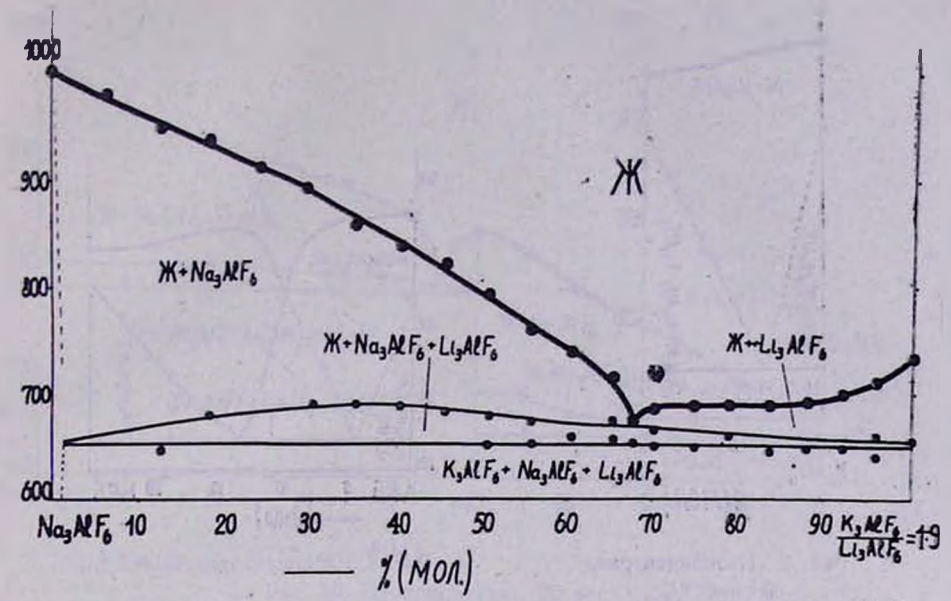


Рис. 6. Разрез с постоянным отношением калиевого криолита к литиевому 1:9.

кривых первичной кристаллизации фазы  $Na_3AlF_6$  и первичной кристаллизации фазы  $Ll_3AlF_6$ . Пересечение этих двух кривых линий на точке при  $664^\circ$  отвечает совместной кристаллизации  $Na_3AlF_6$  и  $Ll_3AlF_6$  фаз.

Изоконцентрат  $90^{\circ}/_{\circ}$  вес. Na<sub>3</sub>AlF<sub>6</sub> (рис. 7). Линия ликвидуса состоит из одной кривой, отвечающей первичному выделению фазы Na<sub>3</sub>AlF<sub>6</sub>.

Изоконцентрат  $80^{\circ}/_{0}$  вес.  $Na_{3}AlF_{6}$  (рис. 8). Линия ликвидуса состоит из двух кривых: кривой, отвечающей первичному выделению  $2Na_{3}AlF_{6} \cdot K_{3}AlF_{6}$  и кривой, отвечающей первичному выделению  $Na_{3}AlF_{6}$  фазы. Пересечение этих двух кривых при температуре  $820^{\circ}$  лежит на моновариантной линии совместной кристаллизации  $2Na_{3}AlF_{6} \cdot K_{3}AlF_{6}$  и фазы  $Na_{3}AlF_{6}$ .

Изоконцентрат  $50^{\circ}/_{0}$  вес.  $Na_{3}AiF_{6}$  (рис. 9). Линия ликвидуса состоит из трех кривых: кривой, отвечающей первичному выделению  $Na_{3}AiF_{6} \cdot 3K_{3}AiF_{6}$ ; кривой, отвечающей первичному выделению  $5Na_{3}AiF_{6} \cdot 3K_{3}AiF_{6}$  и кривой фазы  $Na_{3}AiF_{6}$ . Пересечение первых двух кривых при температуре  $838^{\circ}$  лежит на моновариантной линии совместной кристаллизации  $Na_{3}AiF_{6} \cdot K_{3}AiF_{6}$  и  $5Na_{3}AiF_{6} \cdot 3K_{3}AiF_{6}$ . Пересечение второй и третьей кривых при температуре  $813^{\circ}$  лежит на моновариантной линии совместной кристаллизации  $5Na_{3}AiF_{6} \cdot 3K_{3}AiF_{6}$  и фазы  $Na_{3}AiF_{6}$ .

· Изоконцентрат  $20^{\circ}$ /<sub>0</sub> вес. Na<sub>3</sub>AlF<sub>6</sub> (рис. 10). Линия ликвидуса состоит из трех кривых: кривой, отвечающей кристаллизации фазы  $2Na_3AlF_6 \cdot 5K_3AlF_6$ ; кривой, отвечающей первичной кристаллизации фазы

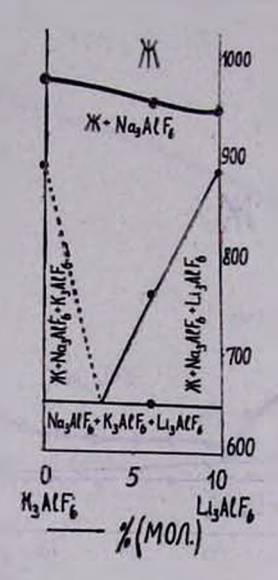


Рис. 7. Изоконцентрат, 90 вес. %.

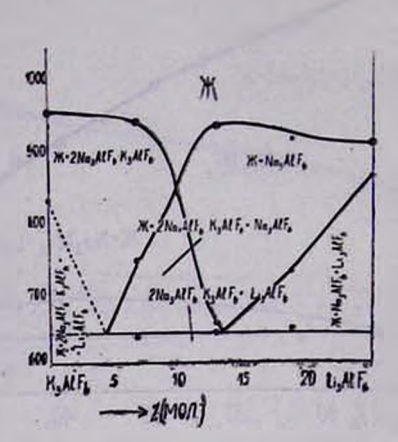


Рис. 8. Изоконцентрат, 80 вес. <sup>0</sup>/<sub>0</sub>.

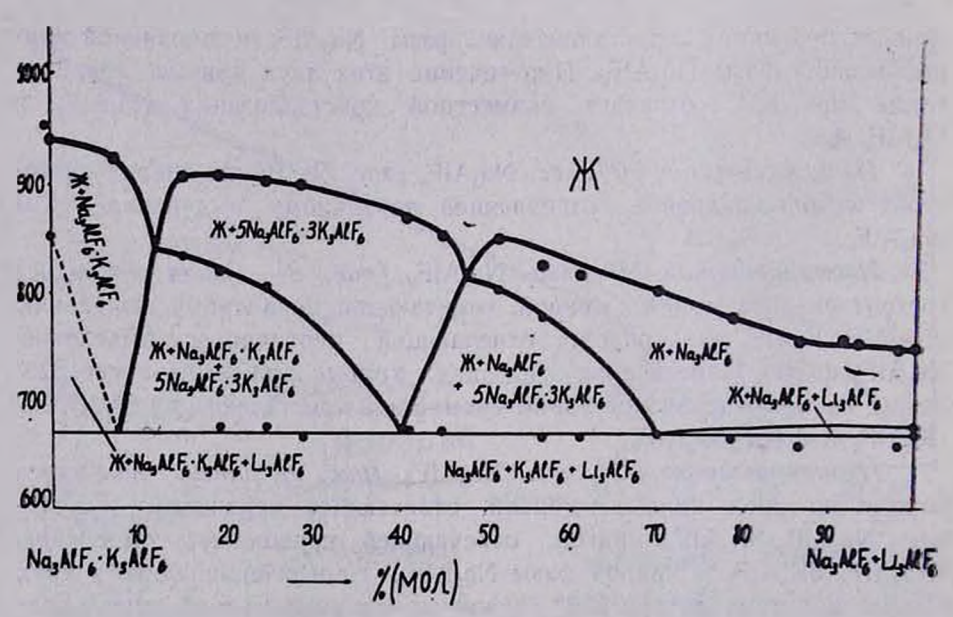


Рис. 9. Изоконцентрат, 50 вес. <sup>0</sup>/<sub>0</sub>.

 $Na_{3}AlF_{6}$ , и кривой, отвечающей первичному выделению  $Li_{3}AlF_{6}$  фазы. Пересечение первых двух кривых при температуре  $780^{\circ}$  лежит на моновариантной линии совместной кристаллизации  $Na_{3}AlF_{6}$  и  $2Na_{3}AlF_{6}$   $-5K_{2}AlF_{6}$ . Пересечение второй и третьей кривых при температуре

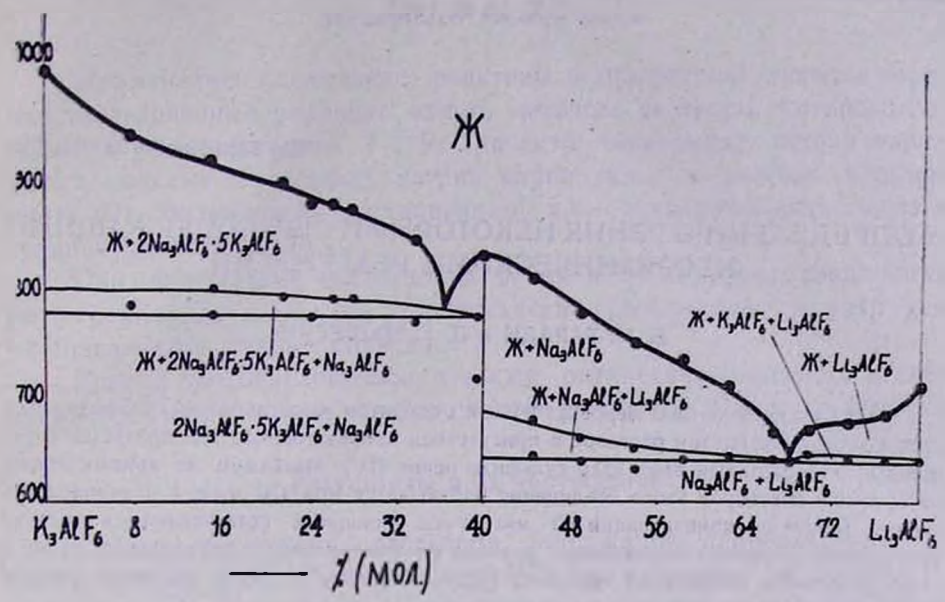


Рис. 10. Изоконцентрат, 20 вес. °/0.

637° лежит на моновариантной линии совместной кристаллизации Na, AiF<sub>6</sub> и Li, AiF<sub>6</sub> фаз.

Ереванский научно-исследовательский институт химии

Поступило 24 V 1966

## Na<sub>3</sub>AIF<sub>6</sub>, K<sub>3</sub>AIF<sub>6</sub> և Li<sub>3</sub>AIF<sub>6</sub> ՊԱՐՈՒՆԱԿՈՂ ՍԻՍՏԵՄՆԵՐԻ ՖԻԶԻԿԱ–ՔԻՄԻԱԿԱՆ ՈՒՍՈՒՄՆԱՍԻՐՈՒԹՅՈՒՆՆԵՐ

IV. Na<sub>3</sub>AIF<sub>6</sub>—K<sub>3</sub>AIF<sub>6</sub>—L(<sub>3</sub>AIF<sub>6</sub> bቡ<mark>Կበሆ</mark>¶በኄዕኄՏ ሀኮሀ8bሆኮ ሆኮ ՇԱՐՔ ՀԱՏՎԱԾՆԵՐԻ ՀԱԼՄԱՆ ԴԻԱԳՐԱՄՆԵՐԸ

A. U. BYRSUL, Z. A. PUPUSUL L U. A. VULLEBUL

## Udhnhnid

Կառուցված են վերոհիչլալ եռկոմ պոնենտ սիստեմի տասը հատվածի հալման դիագրամները, ընդ որում այդ հատվածներից վեցը դուրս են գալիս Na,AIF, գագաթից և K,AIF,/Li,AIF,=9:1, 8:2, 7:3, 3:7 և 1:9 հաստատուն կշռալին բաղադրութվամբ, իսկ մլուս չորս հատվածները համապատասխանում են 20, 50, 80 և 90 կշռալին տոկոսով Na,AIF, հաստատուն պարունակութիլանը։

Առաջին, երկրորդ և երթորդ հատվածների հալման դիագրամների լիկվիդուսները բաղկացած են 8-ական միավարիանտ կորերից, չորրորդը՝ 2, հինգերորդը՝ 4, վեցերորդը՝ 2, լոթերորդը և ութերորդը՝ 3, իներորդը՝ 2 և ասաներորդը՝ 1 կորից։

## 2 Ц 3 Ч Ц Ч Ц Ъ Р Г Р Ц Ч Ц Ъ Ц Г Г Ц Ч Р Р Р АРМЯНСКИЯ ХИМИЧЕСКИЯ ЖУРНАЛ

XX, № 6, 1967

УДК 543.062+546.22+546.719

## К ОПРЕДЕЛЕНИЮ РЕНИЯ НЕКОТОРЫМИ СЕРУСОДЕРЖАЩИМИ НЕОРГАНИЧЕСКИМИ РЕАГЕНТАМИ

#### В. М. ТАРАЯН и Л. Г. МУШЕГЯН

При взаимодействии перренат-иона с сульфитом, тиосульфатом, сульфидом или сероводородом в кислом растворе в присутствии хлорида олова (II), образуется окрашенный в фиолетовый цвет золь сульфида рення (IV). Максимум на кривых светопоглощения растворов этого соединения наблюдается при 420 м.ик, а подчиняемость закону Бера—до концентрации 80 мкг/25 мл. Молярный коэффициент погашения равен 16800. Найдены оптимальные условия фотометрического определения рения в виде указанного соединения. Мешают: Hg. Cu, Pb, Se, Te, W, V. Молибден следует предварительно отделить.

Среди реагентов, нашедших применение для фотометрического определения микроколичеств рения, общеизвестны роданиды щелочей и тиомочевина [1]. Состав получаемых при этом соединений, оптимальные условия их образования, чувствительность этих методов определения и т. д. в достаточной мере изучались и продолжают изучаться. Характер взаимодействия и возможность фотометрического определения рения некоторыми другими неорганическими серусодержащими реагентами, как-то: сульфитом и тиосульфатом, выяснены в недостаточной мере.

Так, Лазаревым [2] для целей фотометрического определения рения был применен сульфит натрия. Последний образует при взаимодействии с перренатом в присутствии хлорида олова (II) окрашенное в фиолетовый цвет соединение. Максимум на кривой светопоглощения растворов этого комплекса наблюдается при 400—420 ммк. Определена валентность рения в этом комплексе, но не исследован его состав. В дальнейшем Рябчиковым и Борисовой [3] было проведено спектрофотометрическое исследование этого комплекса. При этом для получения указанного окрашенного соединения в качестве реагента использовались как сульфит, так и тиосульфат. В зависимости от концентрации соляной кислоты максимум на кривой светопоглощения наблюдался в различных участках спектра: первый при 460 ммк (1—2 н НСI), второй при 420 ммк (5н НСI) и третий при 520 ммк (9н НСI). Методом молярных отношений определен состав комплекса в узком интервале концентрации (6,6·10—5 и 3,3·10—5). В указанных условнях стехнометрический коэффициент в уравнении реакции перрената с сульфитом или тносульфатом оказался равным 1:4. Валентность рения авторами не определялась.

Данная статья посвящена более детальному изучению механизма имеющей место реакции и состава образующегося при этом окрашенного соединения.

#### Экспериментальная часть

Применялись следующие реактивы и аппаратура: дважды перекристаллизованный перренат калия, запасные растворы которого готовились с содержанием 1 г Re на литр, тиосульфат натрия марки "х.ч.", сульфит и сульфид натрия марки "х.ч." и раствор хлорида олова (II), полученный растворением х.ч. металлического олова в соляной кислоте (1:1).

При определении валентности рения в исследуемом соединении раствор хлорида олова (II) соответственно разбавлялся и титр его устанавливался йодометрически.

Кривые светопоглощения, а также оптические плотности исследуемых растворов снимались на спектрофотометре СФ-4а и ФЭК-56.

## Результаты и их обсуждение

Спектры поглощения растворов, содержащих перренат, тиосульфат\* и хлорид олова (II) в растворе НСІ, представлены на рисунке 1.

Как видно из рисунка 1, максимум на кривой светопоглощения

наблюдается при 420 жмк, что хорошо согласуется с литературными данными [2, 3].

Попытка определить валентность рения в образующемся окрашенном соединении методом насыщения не увенчалась успехом, так как светопоглощение членов соответствующей серии растворов изменялось незакономерно.

При установлении состава рассматриваемого соединения методом молярных отношений стехиометрический коэффициент в реакции перрената с тиосульфатом определить с достоверностью не удалось. Так, согласно данным Рябчикова и Борисовой [3], ука-

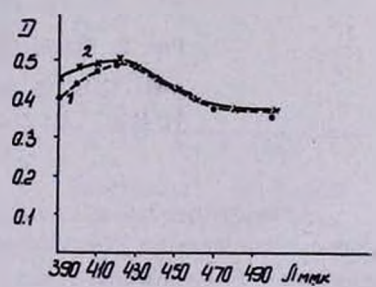


Рис. 1. Спектры поглощения растворов: 1.  $C_{\rm Re}=3\cdot 10^{-5}$  M;  $C_{\rm Ne_1S_2O_2}=6\cdot 10^{-5}$  M. 2.  $C_{\rm Re}=3\cdot 10^{-5}$  M;  $C_{\rm Ne_1S}=2\cdot 10^{-2}$  M; l=10 мм.

занный коэффициент равен четырем. Полученный нами при почти аналогичной суммарной концентрации растворов реагирующих компонентов максимум на изомолярной диаграмме состав-свойство отмечается при отношении перрената к тиосульфату, равном 1:2. С дальдейшим изменением концентрации тиосульфата это отношение сохраняется вплоть до концентрации 2,16·10<sup>-3</sup>, а затем возрастает до 1:3 (рисунок 2).

<sup>\*</sup> Сульфит натрия не был использован, т. к. в этом случае исследуемый раствор быстро мутнея.

Таким образом, получить воспроизводимые и надежные результаты как при определении валентности рения в исследуемом соединении, так и при определении молярного отношения перрената к тиосульфату, мы не смогли. Это обстоятельство навело нас на мысль. что в результате взаимодействия перрената с тиосульфатом в присутствии хлорида олова (II) образуется не сульфитный комплекс рения, а окрашенный в фиолетовый цвет раствор золя сульфида четырехвалентного рения.

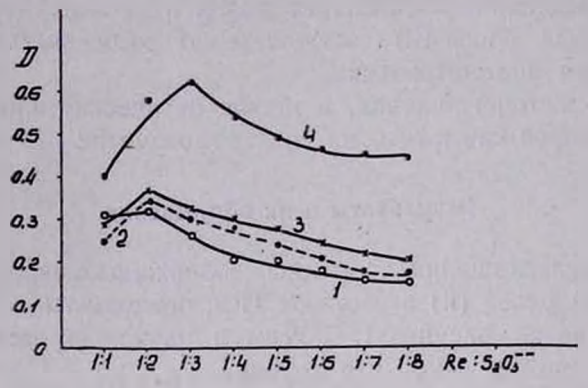


Рис. 2. Изомолярная днаграмма системы  $ReO_4^-$  —  $Na_2S_2O_3$  (в присутствии избытка  $Sn^{II}$ );  $C_{Re}$ : 1)  $4\cdot 10^{-5}$  M; 2)  $2\cdot 10^{-4}$  M; 3)  $4\cdot 10^{-4}$  M; 4) 2,16·  $\cdot 10^{-3}$  M;  $\lambda = 400$  ммк.

Известно, что в сильно кислых растворах сульфиты и тиосульфаты разлагаются с выделением двуокиси серы. Последняя, взаимодействуя с хлоридом олова (II), выделяет сероводород [4]:

$$2SO_2 + 6SnCl_2 + 12HCl = 6SnCl_4 + 2H_2S + 4H_2O$$
.

Одновременно хлорид олова (II) в солянокислой среде восстанавливает перренат до соединения четырехвалентного рения [5]. Последний взаимодействует с сероводородом с образованием золя дисульфида, окрашивающего испытуемый раствор в фиолетовый цвет. Из указанного следует, что хлорид олова (II) выполняет две функции: восстанавливает двуокись серы до сероводорода и перренат—до соединения рения (IV). Этим следует объяснить то обстоятельство, что оптическая плотность исследуемых растворов развивается не при стехнометрических количествах перрената и хлорида олова (II), а при заметном избытке последнего.

Для экспериментального подтверждения всего вышеизложенного были поставлены опыты, где вместо тиосульфата в качестве реагента был применен сульфид. При этом оказалось, что смешением растворов перрената, сульфида натрия и хлорида олова (II) можно получить окрашенный в фиолетовый цвет раствор. Снятая в соответствующих условиях кривая светопоглощения совершенно идентична кривой,

где в качестве серусодержащего реагента применялся тиосульфат (рис. 1). Полученные результаты можно было бы счесть не совсем убедительными, поскольку сульфиды щелочей часто содержат и тиосульфаты. Для большей убедительности вместо сульфида натрия был применен сероводород. С этой целью 3—4 н по НСІ раствор перрената насыщался сероводородом и затем к нему добавлялся хлорид олова (II). Характерная фиолетовая окраска, возникающая при взаимодействии перрената с сульфитом (тиосульфатом или сульфидом), наблюдалась и в этом случае. Идентичность образующихся окрашенных соединений подтверждалась спектрофотометрическим исследованием соответствующих растворов.

К сказанному следует добавить, что окраска обусловливается сульфидом четырехвалентного, а не семивалентного рения. Так, при

пропускании сероводорода через раствор перрената в отсутствии хлорида олова (II) вышеупомянутая окраска не появляется.

Если к такому раствору уже после насыщения его сероводородом добавить хлорид олова (II), раствор окрашивается в фиолетовый цвет.

Изучение окрашенных растворов нонообменно-хроматографическим методом показало, что исследуемое окрашенное соединение поглощается анионитом и не задерживается катионитом. Это хорошо согласуется с теорией, посклать и изрестно ито золи суль и

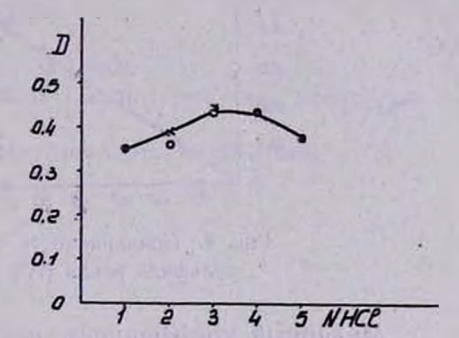


Рис. 3. Зависимость оптической плотности растворов золя сульфида рения(IV) от концентрации HC1;  $C_{\rm Re}=1.3\cdot 10^{-5}~{\rm M.}$  ооо — реагент сульфид; ххх — реагент тносульфат;  $\lambda=400~{\rm ммк.}~l=20~{\rm мм.}$ 

скольку известно, что золи сульфидов представляют собой отрицательно заряженные коллоиды.

Таким образом, все вышеприведенные экспериментальные данные однозначно говорят за то, что в описываемом случае имеет место не реакция комплексообразования, а образование золя сульфида рения (IV).

Для выяснения возможности применения этого окрашенного соединения к фотометрическому определению рения были найдены соответствующие оптимальные условия. Исследование проводилось с параллельным использованием тиосульфата и сульфида. Выбор наиболее благоприятной кислотности был произведен изучением растворов, кислотность которых изменялась от 1,0 до 5,0 н по HCI.

Результаты представлены на рисунке 3.

Следует отметить, что растворы в 1,0—2,0 н НС1 быстро мутнеют (через 10—15 минут). Максимальная оптическая плотность наблюдается в 3—4 н по НС1 растворах как в случае с тиосульфатом, так и при применении сульфида натрия. Были также найдены опти-

Армянский химический журнал, ХХ, 6-2

мальные концентрации для реагента и хлорида олова (II). Растворы золя сульфида рения (IV) подчиняются основному закону фотометрии до концентрации 80 мкг Re/25 мл (рис. 4).

Окраска развивается в течение 10—15 минут и устойчива в продолжение суток. Величина оптической плотности не зависит от того, какой из реагентов был применен (тиосульфат или сульфид). Это лишний раз подтверждает одинаковую природу окрашенных соединений, полученных при участии двух различных реагентов.

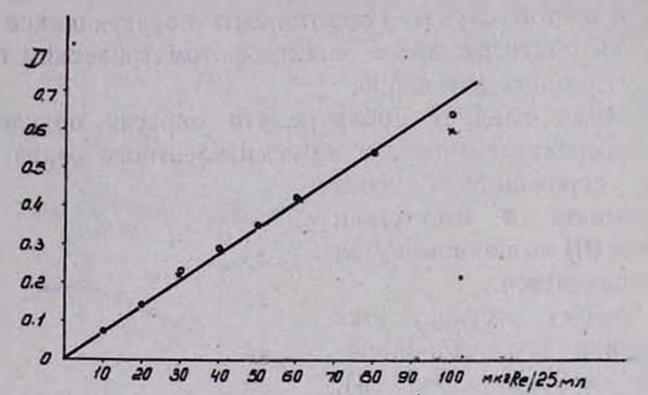


Рис. 4. Подчиняемость закону Бера растворов золя сульфида рения (IV).  $\lambda = 400~\text{ммк};\ l = 20~\text{мм}.$ 

Молярный коэффициент погашения, рассчитанный на основании данных калибровочного графика, равен ≈16800. Определение осуществимо в присутствии Fe и Bi. Мешают Hg, Cu, Pb, Se, Te, W и V. Молибден следует предварительно отделить.

Выполнение определения. К раствору, содержащему от 5 до 80 мкг рения, объемом в 10 мл добавляют 7 мл концентрированной НСІ, 2 мл 20/0 раствора реагента (сульфида или тиосульфата) и 1 мл 350/0 SnCl<sub>2</sub>, доводят водой до 25 мл и тщательно перемешивают. Фотометрирование этого раствора проводят через 15—20 минут при длине волны в 420 ммк.

Ереванский государственный университет, кафедра аналитической химии

Поступило 26 V 1966

ԾԾՈՒՄԲ ՊԱՐՈՒՆԱԿՈՂ ՄԻ ՔԱՆԻ ԱՆՕՐԳԱՆԱԿԱՆ ՌԵԱԳԵՆՏՆԵՐՈՎ ՌԵՆԻՈՒՄԻ ՈՐՈՇՄԱՆ ՄԱՍԻՆ

Վ. Մ. ԹԱՌԱՑԱՆ և Լ. Գ. ՄՈՒՇԵՂՑԱՆ

Udhnhnid

Պերռենաա-իոնի և սուլֆիտի, թիոսուլֆատի, սուլֆիդի կամ ծծմբաջրածեի փոխազդեցության ժամանակ թթվալին միջավայրում անագի (II) ջլորիդի Ներկալու Թլամբ առաջանում է տենիումի (IV) սուլֆիգի մանուշակագուլն զոլ։ Ալդ միացության լուծուլթների լուսակլանման կորերի վրա մաջսիմումը դիտվում է 420 մմկ ալիքի տակ, իսկ Բերի օրենքին ենթարկվում է մինչև 80 մկգ Re/25 մլ կոնցենտրացիալի դեպքում։ Մարման մոլալին գործակիցը հավասար է 16800։

Հաստատված են նշված միացության ձևով ռենիումի ֆոտոմետրիկ որոշման օպտիմալ պալմանները։ Խանդարում են՝ Hg, Cu, Pb, Se, Te, W, V։ Մոլիրդենը պետք է նախօրոք անջատել։

#### ЛИТЕРАТУРА

- W. Gellmann, F. W. Wrigge, F. Weibke, Z. anorg. Chem. 208, 217 (1932); Д. И. Рябчиков, А. И. Лазарев, ЖАХ 10, 228 (1955).
- 2. А. И. Лазарев, ЖАХ 14, 362 (1959).
- 3. D. Y. Ryabchikov, L. V. Borisova, Talanta 10, 13 (1963).
- 4. Н. И. Блок, Качественный химический анализ. Гос. н. т. изд. хим. литературы. Москва, 1952, стр. 530.
- 5. S. Tribalat, C. r. 220, 881 (1945); 223, 34 (1946); Ann. Chim., 4, 289 (1949).

XX, № 6, 1967

#### ОРГАНИЧЕСКАЯ ХИМИЯ

УДК 542.955+547.233+547.538.1

## ПРИСОЕДИНЕНИЕ АМИНОВ К ВИНИЛТОЛУОЛУ и винилксилолу

Г. Т. МАРТИРОСЯН, Э. А. ГРИГОРЯН и А. Т. БАБАЯН

Показано, что вторичные амины в присутствии каталитических количеств натрия гладко присоединяются к винилтолуолу и к винилксилолу, приводя к β-диалкиламиноэтил-толуолам и -ксилолам, соответственно. Все полученные амины описываются впервые.

В развитие предыдущих работ [1] в настоящей статье нами показано, что вторичные амины, в присутствии каталитических количеств натрия гладко присоединяются к винилтолуолу и 2,4-диметилстиролу (винилксилолу) с образованием соответствующих третичных аминов с высокими выходами:

$$R_{2}NH + CH_{3} = CHC_{6}H_{4}CH_{3} \xrightarrow{Na} R_{2}N(CH_{3})_{3}C_{6}H_{4}CH_{3}.$$

$$R_{2}NH + CH_{2} = CH - CH_{3} \xrightarrow{Na} R_{2}N(CH_{2})_{2} - CH_{3}.$$

$$CH_{3} = CH_{3} + CH_{$$

Реакция протекает бурно, с саморазогреванием и практически заканчивается за 20—25 минут.

Установить строение использованного нами продажного винилтолуола при помощи реакции окисления не удалось из-за полимеризации. Поэтому мы подвергли окислению продукт присоединения диэтиламина к винилтолуолу. В результате была получена терефталевая кислота. Следовательно, исходный винилтолуол является п-винилтолуолом, а полученные амины — диалкил [3-(п-толилэтил)]-аминами:

$$R_{3}NH + CH_{3} = CH - \bigcirc -CH_{3} \xrightarrow{N_{3}} R_{3}N(CH_{3})_{2} - \bigcirc -CH_{3}$$

$$+ OOC - \bigcirc -COOH$$

(C,H,),N	(CH <sub>3</sub> ) <sub>2</sub> N	CH <sub>3</sub> N( )N	Q	V	(C4H0)3N	(C <sub>2</sub> H <sub>3</sub> ) <sub>2</sub> N	(CH <sub>a</sub> ) <sub>3</sub> N	æ	
CH	CH	I	I	I	I	Ξ	I	20	
CH <sub>3</sub> 83,6	СН, 93,7	72	76	78,9	72,8	86, 3	78	Выход в	3 %
90—91	82 282	161—162	149—150	138,5—139	161	123	102-104	в °С/жж	-1
C <sub>1</sub> ,H <sub>1</sub> ,NF <sub>3</sub> 0,8910 1,4995 67,61	C <sub>13</sub> H <sub>19</sub> NF <sub>3</sub>	C <sub>1</sub> ,H <sub>2</sub> ,N <sub>2</sub> F <sub>3</sub> 0,9546 1,5231 69,66	C <sub>14</sub> H <sub>31</sub> NF <sub>3</sub>	C <sub>1</sub> ,H <sub>1</sub> ,NF <sub>3</sub>	C <sub>1</sub> ,H,NF <sub>3</sub>	C,H,NF	C <sub>11</sub> H <sub>11</sub> NF <sub>3</sub>	формула	Молеку-
0168 0	0,9081 1,5046 57,77	0,9546	0,94521,521465,44	0.9458 1.5222 60,96	0,87821,489681,26	0,8872 1,4976 63,06	0 8934 1 5012 53 77	4 d 20	
1,4995	1,5046	1,5231	1,5214	1,5222	1,4896	1,4976	1,5012	58	
								найдено	MRD
67, 20	57, 95	68, 92	64,99	60,17	81,04	62,57	53, 37	вычисле	но 6
82, 15	81,90	77,01	82,93	82,2	82,79	81,83	80,53	найдено	
81,95	81,35	77,06	82,75	82,53	82,59	81 67	80,98	лено Онэл	CAH
81,95 11,25 11,21	10,03	10,31	10,54	9,73	11,74	11,56	10,34	найдено	ализ
11,21	10,73	10,09	10,34	10,05	11,74	11	10,43	вычис- лено	
7,14	8,33	12,41	7,14	7.4	6,37	7,75	8,53	найдено	~ Z
14 6 83	7.50	41 12,84	14 6,89	7,4	37 5.66	7,33	8,59	лено	3
1	136—137	226	118	147	,1.	99-100	113—114	Т. пл. пикрата	
1	33 7,50 136—137 C <sub>18</sub> H <sub>21</sub> N,O <sub>1</sub> 13,39 13,79	C3.H3.N.O1. 16,55 16,56	C <sub>20</sub> H <sub>24</sub> N <sub>4</sub> O <sub>7</sub>	C <sub>1</sub> ,H <sub>22</sub> N <sub>4</sub> O	F	75 7.33 99-100 C <sub>1</sub> ,H <sub>2</sub> ,N <sub>1</sub> O <sub>1</sub>	53 8,59 113-114 C <sub>11</sub> H <sub>20</sub> N <sub>4</sub> O <sub>7</sub> 11,54 11,28	лирная формула пикрата	Молеку-
1	13,39	16,55	13,49	13, 48	1	13,97 13,3	11,54	найдено	Анализ в <sup>0</sup> / <sub>0</sub>
1	13,79	16,56	13,49 12,96	13,48 13,39	1	13,3	11,28	-энчис- онэк	Анализ N

Описываемые впервые амины СН3-

CH<sub>3</sub>—CH<sub>3</sub>CH<sub>3</sub>R

#### Экспериментальная часть

Смесь 0,6 моля безводного амина, 0,5 моля винилтолуола или винилксилола и 0,5 г натрия перемешивалась в течение 30 минут. Началась бурная реакция с саморазогреванием, сопровождающаяся покраснением реакционной смеси. После прекращения саморазогревания реакционная смесь декантировалась с натрия и подвергалась вакуум-перегонке. В случае диметиламина для завершения реакции требуется пятичасовое перемешивание. Реакцию можно вести как с использованием газообразного диметиламина. так и его эфирного раствора. Во избежание улетучивания амина реакционная смесь охлаждается водой.

Выходы, физические константы и данные элементарного анализа приведены в таблице.

Окисление продукта присоединения диэтиламина к винилтолуолу. Окисление проводилось по [2]. Из 24,8 г амина получено 7,7 г (35,8%) терефталевой кислоты, которая сублимируется при 300°.

Институт органической химии АН Арм ССР

Поступило 17 XI 1965

## ԱՄԻՆՆԵՐԻ ՄԻԱՑՈՒՄ ՎԻՆԻԼՏՈԼՈՒՈԼԻՆ ԵՎ ՎԻՆԻԼՔՍԻԼՈԼԻՆ

4. P. UUPSHPAUBUU, E. U. APHANPBUU L. U. P. PUPUBUU

## Udhahaid

Շարունակելով մեր աշխատան ջները կատալիտիկ քանակութկամբ մետաղական նատրիումի ներկալութկամբ առաջնալին և երկրորդալին ամինների պուգորդրած դիենային միացութկուններին միանալու ռեակցիալի ուղղութկամբ, ներկա աշխատան քում ցույց են ք ավել որ դիմեթիկամինը, դիէթիկամինը, դիբուտիլամինը, պիրրոլիդինը, պիպերիդինը և N-մեթիլպիպերազինը հեշտուանամբ միանում են նաև վինիլտոլուոլին, որի հետևան քով ստացվում են համապատասխան երրորգալին ամիններ։

Դիմեթիլ-և դիէթիլամինների օրինակների վրա ցուլց է տրված, որ ամին~ ները հեշտությամբ միանում են նաև վինիլարիլուին։

Միրդիուն չերահում են հանում։ Արդիուն արևան ան ծահում են արկում։

#### ЛИТЕРАТУРА

1. R. Wegler, G. Pleper, Ber. 83, 1 (1950). Г. Т. Мартиросян, Э. А. Григорян, Изв. АН АрмССР, ХН, 16, 31 (1963); Г. Т. Мартиросян, Э. А. Григорян, А. Т. Бабаян, Изв. АН АрмССР, ХН, 17, 517 (1964): 18, 161 (1965).

2. Препаративная органическая кимия, Госкимиздат, Москва 1959 г., стр. 675.

XX, № 6, 1967

УДК 542.955+547.233+547.315.2

## СИНТЕЗ И ПРЕВРАЩЕНИЯ В, 7-НЕПРЕДЕЛЬНЫХ АМИНОВ

VI. ПРИСОЕДИНЕНИЕ АМИНОВ К ПИПЕРИЛЕНУ

Г. Т. МАРТИРОСЯН, Э. А. ГРИГОРЯН и А. Т. БАБАЯН

Показано, что при аминировании пиперилена вторичными аминами в присутствии каталитических количеств натрия получаются с хорошими выходами 1-днал-киламинопентены-2.

В продолжение наших исследований по аминированию сопряженных диенов [1] и активированных олефинов [2] в присутствии каталитических количеств натрия в настоящей статье изложены результаты аминирования пиперилена вторичными аминами.

Присоединение аминов к пиперилену может протекать как по месту связей-1,4, так и — 4,1:

$$R_3NH + CH_2 = CHCH = CHCH_3$$

$$R_2NCH_3CH = CHC_2H_5$$

$$R_2NCH_3CH = CHCH_3$$

$$R_2NCH(CH_3)CH = CHCH_3$$

Аминирование протекает гладко, с саморазогреванием и в результате реакции получаются 1-диалкиламинопентены-2 с хорошими выходами, т. е. реакция идет по направлению (а).

Строение полученных аминов доказано следующими путями.

а) Синтезирован йодметилат 2-диметиламинопентена-3 по схеме

$$CH_3 = CHCH = CHCH_3 \xrightarrow{HCI} CH_3 CHCICH = CHCH_3 \xrightarrow{(CH_3)_8NH}$$

$$\longrightarrow (CH_3)_2NCH(CH_3)CH = CHCH_3 \xrightarrow{CH_9J} (CH_3)_3NCH(CH_3)CH = CHCH_3$$

и показана его неидентичность с йодметилатом амина, полученного непосредственным аминированием пиперилена диметиламином в присутствии натрия.

. б) Образованием 3-этилпентен-4-аля в результате реакции перегруппировки—расщепления [3] продукта взаимодействия амина с дихлорэтаном.

При присоединении амина по схеме (б) эти же превращения должны были привести к 3-метилгексен-4-алю.

#### Экспериментальная часть,

1-Диметиламинопентен-2. В смесь 136 г (2 моля) пиперилена, 500 мл абсолютного эфира и 1 г мелконарезанного натрия при перемешивании пропущено 112,5 г (2,5 моля) диметиламина. Реакционная смесь после десятичасового перемешивания декантирована с натрия и подкислена соляной кислотой. Из солянокислого слоя подщелочением получено 114 г (1 моль, 50%) 1-диметиламинопентена-2.

Аминирование пиперилена остальными аминами (результаты приведены в таблице) проводилось перемешиванием эквимолекулярных количеств соответствующего амина и пиперилена в присутствии натрия, без растворителя. В случае дибутиламина реакция проводилась при 60°С. Константы и данные анализа для всех аминов приведены в таблице.

2-Диметиломинопентен-3. Через раствор 53 г (0,5 моля) 2-хлорпентена-3 в 250 мл сухого эфира пропущен ток диметиламина до поглощения 90 г (2 моля). На следующий день отфильтрована хлористоводородная соль диметиламина (7,5 г,  $18^0$ ). Фильтрат подкислен, экстрагирован эфиром. После отгонки эфира обратно получено 33,2 г 2-хлорпентена-3. Подщелачиванием кислого слоя получено 2,3 г (0,02 моля,  $4^0$ ) 2-диметиламинопентена-3 с т. кип.  $114-116^\circ/680$  мм;  $d_4^{20}$  0,7765;  $n_D^{20}$  1,4291, найдено MRD 37,52, вычислено 37,99: Найдено  $n_0^{20}$  С 74,6; Н 13,21.  $n_0^{20}$  1,8 вычислено  $n_0^{20}$  С 74,6; Н 13,21.  $n_0^{20}$  1,8 вычислено  $n_0^{20}$  С 74,6; Н 13,21.

Пикрат, перекристаллизованный из свирта, плавится при 127—128°. Найдено %: N 16,32, С<sub>13</sub>Н<sub>18</sub>N<sub>4</sub>O<sub>2</sub>. Вычислено %: N 16,37.

Йодметилат плавится при 127°; в смеси с йодметилатом диметиламинопентена-2 плавится при 99—100°.

Хлористый диметил- (пентен - 2-ил)-(β-хлорэтил)-аммоний. Реакционную смесь, состоящую из 27,2 г (0,23 моль) 1-диметиламинопентена-2 и 99 г (1 моль) дихлорэтана, кипятили в течение 25 часов, затем отогнали избыток дихлорэтана. Получено 44,6 г (0,21 моля,

Таблица

CH <sub>3</sub> NCH <sub>3</sub> CH <sub>2</sub> NCH <sub>3</sub> CH = CHCH <sub>3</sub> CH <sub>3</sub> 3 80	(CH <sub>3</sub> ) <sub>5</sub> NCH <sub>2</sub> CH=CHCH <sub>3</sub> CH <sub>3</sub>	(CH <sub>2</sub> ) <sub>4</sub> NCH <sub>2</sub> CH=CHCH <sub>2</sub> CH <sub>3</sub>	(C4H3)2NCH2CH=CHCH2CH3	(C <sub>2</sub> H <sub>3</sub> ) <sub>2</sub> NCH <sub>2</sub> CH=CHCH <sub>2</sub> CH <sub>3</sub>	(CH <sub>3</sub> ) <sub>2</sub> NCH <sub>2</sub> CH=CHCH <sub>3</sub> CH <sub>3</sub>	Амины	
ယ	မ	a	ယ	ယ	10	Время в ча	ıcax
80	3 70	56	55	75	50	Выход в 0/	0
93—94/12	73-64/9	74-75/13	102—103/10 C <sub>13</sub> H <sub>37</sub> N 0,7949 1,4429 65,68 65,70 79,09	49-51/11	10 50 118-120/680 C <sub>7</sub> H <sub>15</sub> N 0,7571 1,4241 38,09 37,99 73,43 7	Т. кип. в °С/жм	IO V
C <sub>10</sub> H <sub>20</sub> N <sub>2</sub> 0,87221,472253,59 53,95 70,90	C <sub>10</sub> H <sub>19</sub> N 0,8504 1,4680 49,65 50,00 77,63	C <sub>9</sub> H <sub>17</sub> N 0,85131,4718 45,03 45,7	C <sub>13</sub> H <sub>37</sub> N	C <sub>9</sub> H <sub>19</sub> N 0,7774 1,4390 47,8	C <sub>7</sub> H <sub>15</sub> N	Молеку- лярная формула	100
0,8722	0,8504	0,8513	0,7949	0,7774	0,7571	d <sub>4</sub> 20	
1,4722	1,4680	1,4718	1,4429	1,4390	1,4241	D 28	
53,59	49,65	45,03	65,68	47,8	38,09	найдено	MRD
53,95	50,00		65,70	47,23 76,8	37,99	вычислено	g a
70,90	77,63	77,00	79,09	76,8	73,43	найдено	
71,40	78,43	77,6	79,18	76,6	74,33	вычис-	н И
11,77	12,50	11,76	13,8	13,48	12,85	найдено	a n
11,62	12,41	12,23	13,71	13,47	13,27	вычис-	н з
71,40 11,77 11,62 16,60 16,66	9,33	10, 14.	7,32	10,07	12,65	найдено	в 0/0
16,66	9,15	10,17	7,1	9,93	12,39	вычис-	
227 разлаг.	94	92-93	1	50*	113*	Т. ил. пикрата в °С	

• Т. пл. оксалата, •• Т. пл. йодметилата.

91,3°  $_{0}$ ) хлористого диметил-(пентен-2-ил)-( $\beta$ -хлорэтил)аммония. Найдено ° $_{0}$ : С1 16,50. С $_{0}$ Н $_{10}$ NCI $_{0}$  Вычислено ° $_{0}$ : С1 16,74.

Воднощелочное расщепление хлористого диметил-(пентен-2-ил)( $\beta$ -хлорэтил)аммония. Реакционная смесь, состоящая из 44 г (0,205 моля) аммониевой соли и 16,8 г (0,42 моля) едкого натра в 67 мл воды, оставлена стоять при комнатной температуре в течение 24 часов. Затем смесь экстрагирована эфиром, эфирный экстракт обработан соляной кислотой до кислой реакции, высущен и перегнан. Получено а) 1,1 г (0,01 моля,  $5^{0}$ /<sub>0</sub>) 3-этилпентен-4-аля с т. кип.  $68^{\circ}$ /10 мм;  $d_{\bullet}^{20}$  0,8509,  $d_{\bullet}^{20}$  1,4271; найдено MRD 33,80, вычислено 34,07. Найдено  $d_{\bullet}^{0}$ : С 74,48; Н 10,38. С<sub>7</sub>Н<sub>10</sub>О. Вычислено  $d_{\bullet}^{0}$ : С 75,00; Н 10,70.

2,4-Динитрофенилгидразон, перекристаллизованный из спирта, плавится при 82°.

По данным ИК спектрального анализа вещество содержит несопряженную альдегидную группу (C=O 1728  $c m^{-1}$ , C—H в CHO 2710  $c m^{2}$ ), концевую винильную группу (—C=C —1640  $c m^{-1}$ , =C—H в CH<sub>2</sub>— 3075  $c m^{-1}$ ).

б) 3 г  $(0,0145~\rm моля,~14,2^0/_0)$  продукта кротоновой конденсации 3-этилпентен-4-аля с т. кнп.  $122-125/10~\rm \textit{м.м.};~d_4^{20}~0,8754,~n_D^{20}~1,4751;$  найдено MR<sub>D</sub> 66,2, вычислено 65,44. Найдено  $^0/_0$ : С 82,07, Н 10,84.  $C_{14}H_{22}O$ . Вычислено  $^0/_0$ : С 81,5; Н 10,68.

2,4-Динитрофенилгидразон, перекристаллизованный из спирта, плавится при 99—100°.

Подщелачением солянокислого слоя и экстрагированием эфиром получено а) 0.8 г (0.006 моля,  $3^0{}_{10})$  1-диметиламино-3-этилпентадиена-1,4 с т. кип.  $52-53^\circ/64$  мм,  $d_{\star}^{20}$  0,7756,  $n_{\rm D}^{20}$  1,4290; найдено MRD 46,20, вычислено 46,76. Образует 2,4-динитрофенилгидразон, который плавится при  $81^\circ$  и не дает депрессии температуры плавления пробы смешения с 2,4-динитрофенилгидразоном 3-этилпентен-4-аля.

б) 1,9 г (0,007 моля,  $7^0/_0$ ) енамина—продукта кротоновой конденсации 3-этилпентен-4-аля с т. пл.  $108-110^\circ/13$  мм,  $d_{20}^{20}$  0,8392,  $n_{D}^{20}$  1,4722; найдено  $MR_D$  77,77, вычислено 78,16. Образует 2,4-динитрофенилгидразон, который плавится при 97° и не дает депрессии температуры плавления пробы смешения с 2,4-динитрофенилгидразоном продукта кротоновой конденсации 3-этилпентен-4-аля.

В отогнанном эфире титрацией обнаружено 0,1076 моля  $(52^{\circ})_{\circ}$  амина, пикрат которого плавится при  $157^{\circ}$  и не дает депрессии температуры плавления в смеси с пикратом диметиламина.

Институт органической химии АН АрмССР

Поступило 23 VI 1966

## β. γ-ՉՀԱԳԵՑԱԾ ԱՄԻՆՆԵՐԻ ՍԻՆԹԵԶ ԵՎ ՆՐԱՆՑ ՓՈԽԱՐԿՈՒՄՆԵՐԸ

VI. ԱՄԻՆՆԵՐԻ ՄԻԱՑՈՒՄԸ ՊԻՊԵՐԻԼԵՆԻՆ

4. P. ITUPSTPRUBUL, L. U. SPTSAPBUL L U. P. PUPUBUL

### Udhahaid

Հոդվածում ցուլց է տրված, որ նատրումի ներկալուԹլամբ երկրորդալին ամինները միանում են պիպերիլենին և լավ ելքերով ստացվում են 1-դիալկիլամինապենտեն-2-ներ։ Արդլունջները բիրված են աղլուսակում։

Ստացված ամինների կառուցված քը հաստատված է վերախմբավորման — մանության ունակցիալի օգնությամբ։

#### ЛИТЕРАТУРА

- 1. Г. Т. Мартиросян, Э. А. Григорян, Изв. АН АрмССР, ХН, 16, 31 (1963): Г. Т. Мартиросян, Э. А. Григорян, А. Т. Бабаян, Изв. АН АрмССР, ХН, 17, 517 (1964); 18, 161 (1965).
- 2. Г. Т. Мартиросян, Э. А. Григорян, А. Т. Бабаян, Арм. хим. ж., 20, 420 (1967).
- 3. А. Т. Бабаян, М. Г. Инджикян, Г. Б. Багдасарян, Р. М. Давтян, ЖОХ, 34, 416 (1964).

## XX, № 6, 1967

УДК 678.745.834+677.862.25

## ՎԻՆԻԼԻ ՔԼՈՐԻԴԻ ՀԱՄԱՏԵՂ ՊՈԼԻՄԵՐԱՑՈՒՄԸ ՎԻՆԻԼՊՐՈՊԻՈՆԱՏԻ ԵՎ ՎԻՆԻԼԲՈՒՏԻՐԱՏԻ ՀԵՏ

Մ. Ա. ՉԻԼԻՆԳԱՐՑԱՆ, Հ. Ե. ՀԱԿՈՐՑԱՆ և Մ. Հ. ԲԱՐԽՈՒԴԱՐՏԱՆ

տրարվ ղորոգրե է՝ ճար վիրիքահոտնեսրատն ը վիրիքուտիհատն. որեն, որարն չաղտարմ անսքաբանդար տնանգոււղ բ նույն ավբք՝ սև վիրիքի ճքսերմը ավբքի ավբք՝ սև վիրիքի ճքանիմ-վիրիքանուպ դսրոգրերըը հանաերևարության չանաերևար չաղտարմ ապան հանցը չողաարմ անսքայան այստարբերը հարդանաց որևերարար չարաերությար մբանատան հանցը չողաարձում բր դսրոգրերը ին հարդանաց որևերարարը չանարերություր ավբքի ատան հանցը չողաարձության անսինարդանում է անրարկանունը։ Սշոսշության է՝ ճար վիրիքանդատ և վիրիքարանը։

Համատեղ պոլիմերների լուծելիությունը մեծանում է ելանյու թային խառնուրդում

էսթերային կոմպոնենտի կոնցենտրացիայի մեծացման հետ։

Այս ԹերուԹյունների վերացման նպատակով "պլաստիֆիկատորների կիրառումը բոլոր դեպքերում հարմար չէ, քանի որ պլաստիֆիկատորները պակասեցնում են պոլի-

մերների ամրությունը և բիմիական կայունությունը**։** 

Այդ բարի լուծումը դահլ են համատեղ պոլիմերացման մեք, որը կարելի է դիտել որև կատորաստման համատեղ համատեղ արդես արտարաստմերն կանարի է դիտել որպես կառուցվածքային պլաստիֆիկացման պրոցես։ Տեխնկականն կարևոր համատեղ են վինիլի քլորիդից և վինիլացետատից ստացվող պոլիմերն է։ Հայտնի են վինիլի քլորիդի և վինիլացետատի համատեղ պոլիմերները կախված ելանյութային խառնուրդում մոնոմերների հարաբերությունից, ունեն տարրեր հատկություններ և կիրառվում ևն տարբեր բնապատանիրում։ Օլանյութային խառնուրդում վինիլացետատի քանակի մեծացման հետ համառներում։ Օլանյութային խառնուրդում վինիլացետատի քանակի մեծացման հետ համեմատարար մեծանում են ստացվող սոպոլիմերի պլաստիկությունն ու լուծելիությունը։ 400/0 վինիլացետատ սլարունակող համատեղ արդիմերները կիրասվում են թադանթերների արև 400/0 վինիլացետատ մարունակող համատեղ են կարումները՝ Հայնապնակների, սինթետրի Թելերի արտադրության մեջ, ինչպես նաև որպես էլեկտրամեկուսիչ նյութեր [1]։

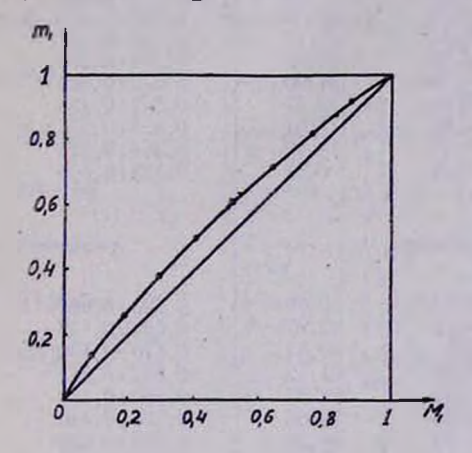
Մի շարջ արժեջավոր հատկությունների հետ միասին այս համատեղ պոլիմերներն ունեն և թերություններ՝ ոչ րարձր պլաստիկություն, ցածր աղհեզիա, փխրունություն՝

gubp gkpdwouhtwined.

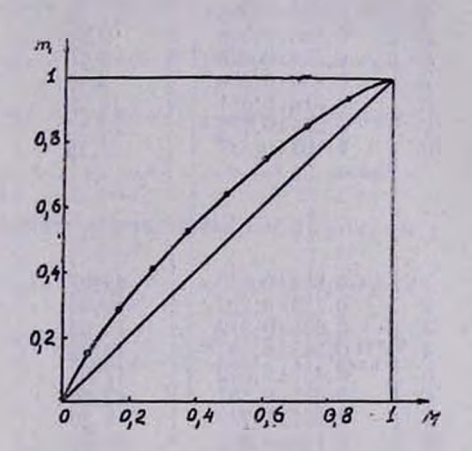
Ալս թերութվունների վերացման տեսակետից, ինչպես նաև պլաստմասսաներից պատրաստվող իրերի հում քալին բազալի ընդլայնման համար, որոջակի հետաքրքրութվուն է ներկալացնում վինիլպրոպիոնատի և վինելրուտիրատի հետ վինիլի քլորիդի համատեղ պոլիմերացման ուսումնասիրութվունը։ Ալդ զուլգերի համատեղ պոլիմերացման վերաբերյալ գրականության մեջ կա մի աշխատություն [2]։ Նրանում որոշված են ջերմալին էմուլսիալում հարաբերական ակտիվությունները։ Լինիլի քլորիդի և վինիլացետատի ու նրա բարձր հոմոլոգների համար ստացել են համապատասխանաբար 1,35 ±0,05 և 0,65 ±0,04 արժեքները։ Մեր աշխատանքում հարաբերական ակտիվությունոտանել ան անգրելում, ատների իրինիատանրին րբևիտևալելի այե որոն և հերանել որ որուների և հերաների որուների որուներության և

#### Փորձնական մաս :

Վինիլի քլորիդն ստացել ենք դիքլորէ Թանից կալիումի հիդրօքսիդի սպիրտալին լուծուլԹում, կրկնակի Թորման ենԹարկել՝ դիքլորէ Թանից և մե-Թիլալին սպիրտից լրիվ ազատվելու համար, d<sup>−13</sup>=−0,990, n<sub>D</sub><sup>-15</sup>=1,37%։



Դծանկար 1. Համատեղ պոլիմերի բաղադըրության կախվածությունը վինիլի բլորիդ—վինիլարոպիոնատ մոնոմերների հարաբերությունից։ M<sub>1</sub>—վինիլի բլորիդի մոլային բաժինն սկզբնական խառնուրդում ա<sub>1</sub>—վինիլի գլորիդի մոլային բա-



Գծանկար 2։ Համատեղ պոլիմերի բաղադրության կախվածությունը վինիլի քլորիդ—վինիլբուտիրատ մոնոմերների հարաբերությունից։ M<sub>1</sub>—վինիլի քլորիդի մոլային բաժինն սկրդընական խառնուրդում. m<sub>1</sub>—վինիլի քլորիդի մոլային բաժինը համատեղ պոլիմերում։

Համատեղ պոլիմերացումն ուսումնասիրելու համար վերցրել ենք տարթեր մոլալին հարաթերությամբ մոնոմերների խառնուրդներ։ Փորձերը կատարված են 40°-ում պիրեքս ապակուց պատրաստված ամպուլներում, ազոտի
միջավալրում։ Որպես ինիցիատոր օգտագործել ենք ազոիզոկարագաթթվի
դինիտրիլը, որի պարունակությունը մոնոմերալին խառնուրդում կազմել է
0,5° ուլիմերացման խորությունը տատանվել է 8—10° սահմաններում։
Ստացված համատեղ պոլիմերները երկու անգամ լուծել ենք բենզոլում և
նստեցրել էթանոլով, որից հետո չորացրել վակուումում (P=20 մմ) 25—
30°-ում։ Պոլիմերների բաղադրությունը հաշվված է ըստ քլորի պարունակության\*։

<sup>•</sup> Քլորը պոլիմերների նմուշներում որոշվել է Ա. Աբրահամյանի և Ռ. Սարդսյանի եղանակով [4]։

Աղյուսակ 1

Համատեղ պոլիմերների րազագրության կախումը մոնոմերների սկզբնական հարարերությունից (ազոիզոկարագաթթվերի դինիարիլ— 0,5º/<sub>0</sub>)

1	Մոնոսերների մո- լային հարաբե- նյութային խաս- նյութային խաս- (M <sub>1</sub> վինիլի ջլո- (M <sub>1</sub> վինիլի ջլո-	թափը զգ-ով թղուշի ջա- բոնակվող	Մախսված «Կղիկի Նիաթատի բանակը մ[-ով T=0,7	իշսային 0/0 Երգենուղ Եյուրն ոնս- եսւրակու- Այուրն ոնս-	Մոնոժեբների ժո- լային հարաբե- րությունը հաժա- տեղ պոլիժերուժ (m <sub>1</sub> :m <sub>2</sub> )
	4.60616	ելուիս—վի <u>ր</u> իլ	ու առուս վ խոսար		
1 2 3 4 5 6 7 8 9	1:0 0,901:0,099 0,790:210 0,720:0,280 0,605:0,395 0,554:0,446 0,440:0,560 0,319:0,581 0,274:0,726 0,103:0,897	9,75 14,18 21,02 11,22 9,981 9,76 9,15 10,29 22,12 21,75	7,7 10,32 3,18 6,52 4,83 4,76 3,06 2,64 4,72 1,97	56,37 50,90 43,93 40,73 33,83 31,90 23,47 17,91 14,82 6,31	1:0 0,932:0,068 0,845:0,155 0,803:0,197 0,704:0,296 0,672:0,328 0,542:0,458 0,425:0,575 0,364:0,636 0,167:0,833
	4,6611	Ի գլորիդ—Վիъ/	ը Մես - ու ի նա ու		
1 2 3 4 5 6 7 8 9	0,864:0,136 0,778:0,222 0,688:0,312 0,583:0,407 0,457:0,542 0,416:0,584 0,261:0,739 0,148:0,852 0,104:0,896	12,22 10,89 15,63 11,02 17,68 12,60 18,20 15,75 16,02	8,73 6,82 9,2 4,96 6,27 4,33 3,83 1,89 1,41	50,00 43,87 40,41 31,52 24,86 24,06 15,29 8,42 6,12	0,920:0,080 0,854:0,146 0,810:0,190 0,687:0,313 0,580:0,420 0,570:0,430 0,400:0,600 0,238:0,762 0,178:0,822

Փորձերի արդյունըները բերված են 1 աղլուսակում և 1, 2 գծանկարներում։

Աղլուսակից պարզ երևում է, որ մոնոմերալին իսառնուրդներում վինիլպրոպիոնատի և վինիլբուտիրատի տոկոսի մեծացման հետ պակասում է
Ձլորի պարունակութիրւնն ստացվող պոլիմերում, որն իր հերթին ապացուցում է համատեղ պոլիմերի գոլացումը։ Երևում է նաև, որ համատեղ պոլիմերի բաղադրութիրւնը չի համընկնում ելանլութային պոլիմերների խառնուրդի թաղադրութիանը, որն արդլունք է մոնոմերների տարբեր ակտիվութիան։ Ստացվող պոլիմերների լուժելիութիան աւսումնասիրութիրունը նուլնպես ապացուցում է համատեղ պոլիմերի առաջացումը (աղլուսակ 2)։

Վինիլպրոպիոնատի տոկոսի մեծացման հետ մեծանում է համատեղ պոլիմերի լուծելիությունը։

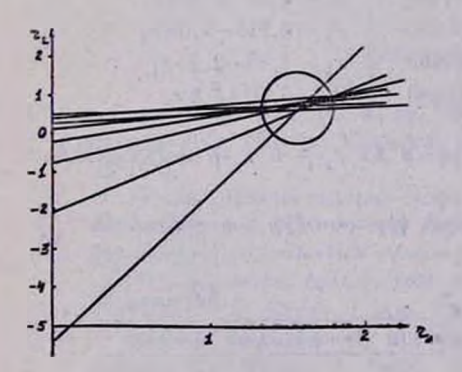
կորերից նուլնպես երևում է, որ վինիլի քլորիդը երկու զուլգերի դեպքում չ անկյունագծի վերևի մասով)։

րրեն կատանքն բրճ <sub>հ</sub>այանի է Հաշիսի հարագրայր ակարդան թեն բրջանը իրչակոր չաշվանիր, անրարը էն գնաֆիկ բմարակնթևով [ջ՝ ջ], Հաշվաւդթրճ իրչակոր չաշվանիր, անրարը էն գնաֆիկ բմարակնթևով [ջ՝ ջ], Հաշվաւդբրճ իրչակոր չանական անարվաւ անարդարանները ենկու մաշների չադան անարդարարը բրճ հարաարանար արարդարագրայի անագրայի և Հաշվաւդ-

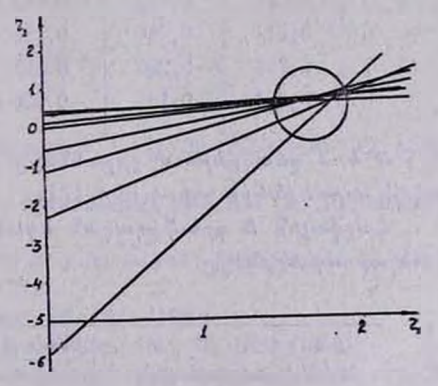
### **հրեջ** պուլգ փորձերի համար։

Աղյուսակ 2

		Մոնոժերների ժոլային հարաբերությունը ելանյութուժ (M1: M2) M2 — վինիլպրոպիոնատ								
Լուծիչներ	0,001:0,000	0,720,0,280	0,605:0,385	0,410:0,560	0,271:0,720	0, 103 : 0,897				
1. Քացախաթթվական Էսթեր	incoduci f	furşqurq	inradured ?	inegaluea t	furpfurq	inrodura Turodura				
2. Բենդոլ	th lucy-	nenzard \$	חבעצחבם ל	in rødurg f	t- furginra	incoduce \$				
. Salurul	nensued &	urusury &	turginen furginen	รู โนะจุฬนะสุ	t lurşiluri	inradure t				
. Publul	nenzned \$	t Iurgiura	inradura t	inrodura f	inrødurd f	inradurd \$				
. Ughma's	incoduce t	1nc & dnc d	inredura t	t Iurșiuri	inredurd t	intadura f				
. Էթանոլ	Sp lurg-	The lung-	չի լուծ-	The lung-	nemined &	t Iurgiura				
. Սկիպիդար	furq-	fury-	ineq-	The lung-	neusura &	inrødurd F				
. Մեթանոլ	quen The Turg-	չի լուծ-	The lurg-	th lurg-	nengaed t	[neðýned t				
. 2ncp	The lurg-	th luca-	The Turg-	לף [חבם-	th lurg-	th Inco-				



Գծանկար 8. Վինիլի քլորիդի և վինիլպրոպիոնատի հարաբերական ակաիվությունները. 7<sub>1</sub>— վինիլի քլորիդի հարաբերական ակտիվությունը. 7<sub>2</sub> վինիլի պրոպիոնատի հարաբերական ակտիվությունը,



Գծանկար 4. Վինիլի քլորիդի և վինիլրուտիրատի հարաբերական ակտիվությունները. 7<sub>1</sub> — վինիլի քլորիդի հարաբերական ակտիվությունը. 7<sub>3</sub> վինիլրուտիրատի հարաբերական ակտիվությունը։

Գրաֆիկ հղանակով մոնոմհրների հարաբերական ակտիվութվունների որոշման համար նշված երկու զույգերի համատեղ պոլիմերների բաղադրության կորերի օգնութվամբ կառուցել ենջ  $r_{\rm s}=f(r_{\rm t})$  գրաֆիկները (տե՛ս աղ. 3, 4, 4ծ. 3, 4)։

Աղյուսակ 3  $r_3=f\left(r_1
ight)$  վիճիլի քլորիդ—վիճիլպրոպիոճատ համատեղ պոլիմերի դեպքում

	M <sub>1</sub>	M <sub>2</sub>	m <sub>1</sub>	$m_1$	$r_2 = f(r)$
1	0,080	0,920	0,140	0,860	$r_1 = 0,447 - 0,0465 r_1$
2	0,180	0,820	0,265	0,735	$r_2 = 0.385 - 0.134 r_1$
3	0,281	0,719	0,381	0,619	$r_2 = 0.242 - 0.247 r_1$
4	0,385	0,615	0,495	0,505	$r_2 = 0.0125 - 0.401  r_1$
5	0,490	0,510	0,600	0,400	$r_2 = 0.320 - 0.620 r_1$
6	0,605	0,395	0,705	0.295	$r_2 = 0.89 - 0.98 r_1$
7	0,726	0,274	0,825	0,185	$r_1 = 2,05-1,595 r_1$
8	0,855	0,145	0,905	0,095	$r_2 = 5,3-3,66 r_1$

Աղյուսակ  $\mathbf{1}_2 = f(r_1)$  վինիլի բլորիդ—վինիլբուտիրատ համատեղ պոլիմերի դեպբում

	M <sub>1</sub>	M <sub>2</sub>	$m_1$	$m_2$	$r_2 = f(r)$
1	0,090	0,910	0,155	0,845	$r_2 = 0,440 - 0,532 r_1$
2	0,178	0,822	0,280	0,720	$r_1 = 0.337 - 0.122 r_1$
3	0,285	0,715	0,412	0,588	$r_3 = 0,168-0,228 r_1$
4	0,395	0,605	0,630	0,470	$r_3 = 0.38 - 0.073 r_1$
5	0,515	0,485	0,642	0,358	$r_2 = 0.59 - 0.466 r_1$
6	0,614	0,386	0,735	0,265	$r_2 = 0.915 - 1.08 r_1$
7	0,735	0,265	0,837	0,163	$r_2 = 1,48-2,23 r_1$
8	0,804	0.136	0.920	0.080	$r_2 = 3,50-5,8 r_1$

3 և 4 գծագրհրում շրջանները ընդգրկում են r<sub>1</sub>-ի և r<sub>2</sub>-ի ամենահավա-Նական արժեքների տիրուլԹը [ʔ]։

Հաշվալին և գրաֆիկական հղանակների կիրառումից ստացվում են բ<sub>լ</sub>-ի հետևլալ արժեջները.

Ադյուսակ 5

19 - 90	¿m24m1fi	և եղանակ	Գրաֆիկական հղանակ		
Ծոնոմերների գույգը	r <sub>1</sub>	r <sub>2</sub>	$r_1$	r <sub>2</sub>	
	1,58	0,57	Land Control		
Վինիլի քլորիդ— —Վինիլպրոպիոնատ	1,61	0,62	1,6±0,04	0,60 <u>+</u> 0,10	
ar rearman	1,64	0,63			
Abble elechia	1,72	0,50			
— <b>Հիջիլ</b> նուտինաա	1,78	0,52	1,75±0,03	0,55±0,05	
	1,79	0,57			

է, ջար վիրինի ճնսևիմ—վիրինանսանիսրատ անումաւող։ թինի ծնսևիմ—վիրինասարատ անումասը քաղ վիրինասարատն ամրն սևսւդ վիգորողըև է, ճար վիրինահատիսրատ անումասող անր չապրդատատիս ամրնի տիաիվ ըրևագ ավունրին ժունձ թր տանիս, սև վիրինի ծնսևիմը ամրնի տիաիվ

իրևանի Կ. Մարջսի անվան պոլիտեխնիկական ինստիտուտ

Ummgdma & 6 X 1965

# СОВМЕСТНАЯ ПОЛИМЕРИЗАЦИЯ ВИНИЛХЛОРИДА С ВИНИЛПРОПИОНАТОМ И ВИНИЛБУТИРАТОМ

М. А. ЧИЛИНГАРЯН, А. Е. АКОПЯН и М. Г. БАРХУДАРЯН

### Резюме

Изучена совместная полимеризация винилхлорида с винилпропионатом и винилбутиратом в присутствии динитрила азоизомасляной кислоты.

Доказано, что винилхлорид, как с винилпропионатом, так и с винилбутиратом подвергается совместной полимеризации при любом соотношении мономеров.

Определены относительные активности мономеров в парах винилхлорид—винилпропионат, винилхлорид—винилбутират при их совместной полимеризации и показано, что винилхлорид более активный мономер, чем винилпропионат и винилбутират.

#### 9044440665066

- 1. Pepus. upumbum 975362 [C. A. 56, 10408B].
- Kimura, Josida (Osaka Municipal Ind. Research Inst.) 32, 223 (1958) [C. A. 50, 15119d].
- С. Н. Ушаков, Поливиниловый спирт и его производные, Изд. АН СССР, Москва— Ленинград, т. І, 1960 г., стр. 204.
- 4. Ա. Աբրանամյան, Օրդանական միացությունների ջանակական միկրոէլեմենաար անալիզ, Հայպետհրատ, Երևան, 1968 թ., էջ 176։
- 5. F. R. Mayo, F. M. Lewis, J. Am. Chem. Soc., 66, 1594 (1950).
- 6. F. R. Mayo, F. M. Lewis, C. Walling, J. Am. Chem. Soc., 70, 1529 (1948).
- 7. Т. Алфрей, Дж. Борер, Т. Марк, Сополимеризация, ИЛ, Москва, 1953 г., стр. 25.

ACT THE REST OF THE PROPERTY O

XX, № 6, 1967

УДК 543,878+547.431.6

## эфиры сульфокислот

XV. О РЕАКЦИОННОЙ СПОСОБНОСТИ АТОМА ГАЛОИЛА В ЭФИРАХ ХЛОРМЕТАНСУЛЬФОКИСЛОТЫ

## Г. Т. ЕСАЯН н Г. А. ГАЛОЯН

Синтезированы эфиры хлорметансульфокислоты. Показано, что атом галонда в этих соединениях исключительно стоек к воздействию фенолятов.

Работы по получению хлорметансульфоэфиров и изучению их взаимодействия с фенолами в щелочной среде были предприняты с целью синтеза ароксиметансульфоэфиров

CICH2SO2OR + ArOH --- ArOCH2SO2OR.

которые, по аналогии с эфирами ароксикарбоновых кислот, могли представить интерес как гербициды, регуляторы и стимуляторы роста растений.

Кроме описанного нами ранее фенилового эфира хлорметансульфокислоты [1] были синтезированы этиловый, бутиловый, o-крезиловый, o- и n-нитрофениловые эфиры обычным способом—взаимодействием хлорметансульфохлорида с соответствующим спиртом, фенолом Сісн $_2$ SO $_2$ CI + ROH  $\longrightarrow$  CiCH $_2$ SO $_2$ OR.

При продолжительном кипячении ацетонового раствора сульфоэфира и фенола, в присутствии избытка поташа, среди продуктов реакции не был найден ароксисульфоэфир, а хлористый калий, свидетельствующий о замене атома галоида на ароксигруппу, обнаружен в небольшом количестве. Такой же результат получен при прибавлении к реакционной смеси каталитических количеств йодистого калия. С другой сторны, учитывая, что получалась обратно только небольшая часть исходного эфира, можно предполагать, что в указанных условиях последний скорее расщепляется в растворимую в воде соль сульфокислоты и фенолят (алкоголят), нежели вступает в реакцию с фенолом.

Эти результаты согласуются с литературными данными относительно инертности атома хлора в а-положении к сульфогруппе. Первые сведения об этом имеются в работе Рашига и Праля [2]. В дальнейшем было показано, что атом брома в а-бромсульфонах с трудом вступает в реакции замещения [3]. По данным Джонсона и Дугласа такую же инертность проявляет атом галоида в хлорметансульфамидах по отношению к анилину и феноляту [4]. Ранее нами было установлено, что ариловые эфиры хлорметансульфокислоты практически не реагируют с роданистым калием при продолжительном нагревании в спиртовом растворе между тем, как эфиры 6-хлорбутансульфокислоты в тех же условнях реагируют нормально [1].

	0/0					MI	MRD		S 0/0	S	0/0	Z
œ	a Loxua	T. n.r.	Т. кип. в °С/.и.и	go.	d g	онэдйвн	иено веинс-	формула	онэглен	пено	онэднвн	чено вычис-
C, H <sub>5</sub>	12,6	1	98—101/14	1,4621	1,4063	30,52	31,27	C,H,O,SCI	19,20	20 18	1	
C, II,	16,0	1	101-101/4	1,4584	1,2853	39,63	40,51	C <sub>3</sub> H <sub>11</sub> O <sub>3</sub> SCI	16,88	17, 15	1	1
C.H.	58,0	1	142-143/1	1,5340		1	ą.	C,H,O,SCI	1	1	-	1
o-CH3C,H4	23,0	1	134-136/1	1,5268	1,3022	52,03	50,76	C <sub>8</sub> H <sub>9</sub> O <sub>3</sub> CI	13,85	14,51	1	1
O O NC.H		35	1	1	1	1	1	C,H,O,SNCI	13,22	12,72	5,95	5,56
11-O NC.H.	0'02	68-70	Í	I	1	1	1	C,H,O,SNCI	13,00	12,72	5,87	5,56

## Экспериментальная часть

Хлорметансульфох лорид получен по известному способу [5]—хлорированием в водной среде продукта конденсации тиосульфата натрия с формальдегидом (тритиоформальдегид).

Алкиловые эфиры хлоркетансульфокислоты. Получены в основном по способу, описанному для бутиловых эфиров метан- и п-толуолсульфокислот [6]. В трехтубусную колбу, снабженную механической мешалкой, делительной воронкой, термометром, помещалось по 0,01 моля спирта хлорметансульфохлорида. После охлаждения реакционной смеси льдом при постоянном перемешивании в течение 3-х часов прибавлялось каплям 15,8 г пиридина. Реакционная смесь подкислялась разбавленной соляной кислотой и экстрагировалась эфиром, эфирный экстракт высушивался над безводным сернокислым натрием. Остаток после удаления эфира перегонялся в вакууме.

Ариловые эфиры хлорметансульфокислоты. Получены по ранее нами описанному способу [1]. К охлажденной льдом смеси 0,01 моля сульфохлорида И 0.01 моля фенола прибавлялось 15 мл пиридина. Реакционная смесь при оставлялась комнатной температуре в течение 7-8 суток, после чего разбавлялась соляной кислотой и экстрагировалась эфиром. После удаления эфира кристаллические продукты реакции отфильтровывались, сушились на воздухе и перекристаллизовывались из этанола; жидкие продукты реакции перегонялись в вакууме. В случае фенола отмечено, что применение его избытка в  $100^{\circ}/_{\circ}$  значительно повышает выход сульфоэфира.

Выходы и характеристика синтезированных алкиловых и арило-

вых сульфоэфиров приведены в прилагаемой таблице.

Взаимодействие эфиров хлорметансульфокислоты с фенолами. а) Смесь 0,01 моля фенилового эфира хлорметансульфокислоты, 0,01 моля фенола и 2,8 г (0,02 моля) поташа в 50 мл сухого ацетона кипятилась с обратным холодильником в течение 20 часов. После охлаждения осадок отфильтрован, растворен в 20 мл воды и подкислен серной кислотой. Содержание С! 0,026 г (0,10465 г AgCl), что соответствует 7,6% содержания хлора в исходном эфире (0,355 г). Фильтрат отогнан, остаток промыт 5% ным водным раствором едкого натра (для удаления непрореагировавшего фенола) и экстрагирован эфиром. Эфирный экстракт высушен над безводным сернокислым натрием и отогнан. При перегонке остатка в вакууме получено несколько капель вещества с т. кип. 146% мм, по 1,5337 (исходный эфир). В колбе осталось небольшое количество смолообразного продукта, разлагающегося при дальнейшем нагревании.

б) Смесь 0,01 моля фенилового эфира хлорметансульфокислоты, 0,01 моля фенола, 2,8 г поташа и кристаллика иодистого калия в ацетоне кипятилась в течение 20 часов. Осадок отфильтрован, и фильтрат обработан как в предыдущем случае. При перегонке в вакууме получено 0,6 г продукта с т. кип. 132—142°/3 мм (исходный эфир).

Аналогичные результаты получены в случае других эфиров хлорметансульфокислоты, а также при применении *о-*крезола вместо фенола.

Институт органической химии АН АрмССР

Поступило 1 VII 1966

# **ՍՈՒԼՖՈԹԹ**ՈՒՆԵՐԻ ԷՍԹԵՐՆԵՐ

XV. ՔԼՈՐՄԵ**ԲԱՆՍՈՒԼՖՈԲԲ**ՎԻ **Լ**ՍԲԵՐՆԵՐՈՒՄ ՀԱԼՈԳԵՆԻ ԱՏՈՄԻ ՌԵԱԿՑԻՈՆ ՈՒՆԱԿՈՒԲՏԱՆ ՄԱՍԻՆ

4. S. BUUSUL L A. U. AULINBUL

# Ամփոփում

Ներկա աշխատանքի նպատակն է եղել ստանալ արօքսիժենանսուլֆոէսներներ, որոնք 2,4-D հայտնի հերբիցիդի համանմաններ հանդիսանալով, կարող էին հետաքրքրուն ներկալացնել բուլսերի պաշտպանունվան բնադավառում։ Սինթեղել ենք քլորմենանսությունները, բացի ֆենիլային եսթերից, նկարագրվում են առաջին անգամ։

տասոյն արտինիարության էէ։ թթե տեր դառիր, ոն ոսշենանոյեն բանապայն «Վիևճաւդ ժարվամ ճնահի դառնանիտ ճանությանը, ընտ տեսելութ արտին չի չածանվել տատրան սատովամ տեսծութ հարկիպանին անությունը առատութ ավենաւկի չթերանության անտոնան անսծութ Հիկիկանիկունանիչ ճարույնը առատութ ավենաւկի չթերանության անանության ավան-Հիկիկանիկունանիչ ճարարերեսության չկատողացե «Հարակարության» ավան-Հիկիկանիկունանիչ ան ուշանանության չեւ

#### ЛИТЕРАТУРА

- 1. Г. Т. Есаян, А. Г. Варданян, Э. Е. Оганесян, Изв. АН АрмССР, ХН, 12, 221 (1959).
- 2. F. Raschig, W. Prahl, Lieb. Ann., 448, 265 (1926).
- 3. W. M. Liegler, R. Connor, J. Am. Chem. Soc., 62, 2596 (1940); L. Ramberg, B. Bücklund, Arkiv. Kemi. Mineral. Geol., 13A, 25, 50 (1940); C. A. 34, 4725 (1940).
- 4. T. B. Johnson, I. B. Douglass, J. Am. Chem. Soc., 63, 1571 (1941).
- А. Г. Косцова, Бюляетень Воронежского университета 8, № 4, 92 (1935); С. А. 32, 6618 (1938); Н. Brintzinger, Н. Koddebusch, К. Е. Kilng, G. Jung, Ber., 85, 455 (1952).
- 6. V. C. Sekera, C. S. Marvel, J. Am. Chem. Soc., 55, 345 (1933).

XX, № 6, 1967

УДК 547.316.4+547.723

## химия винилацетилена

LXXVII. СИНТЕЗ И ПРЕВРАЩЕНИЯ 2,2,5,5-ТЕТРАМЕТИЛ-3-ИЗОПРОПЕНИЛ-ЭТИНИЛТЕТРАГИДРОФУРАН-3-ОЛА

## С. А. ВАРТАНЯН. В. Н. ЖАМАГОРЦЯН и Э. Л. АСОЯН

Синтезирован 2,2,5,5-тетраметия-3-изопропения тинилтетрагидрофуран-3-ол и изучена изомеризация, дегидратация карбинола и гидратация полученного диенина. Действием метиламина и диметиламина на полученные дивинил-(IV и XII) и β-метоксикетоны (VI) синтезированы соответствующий 3-аминокетоп (VIII) и 4-пиперидоны (IXINIXIV). Взаимодействием с фениллитием получен пиперидол (XV). Синтезированные непредельные соединения прогидрированы.

Превращения винилацетиленовых спиртов подробно исследованы [1—3]. Интересно было осуществить также синтез изопропенилацетиленовых спиртов тетрагидрофуранового ряда, разнообразные превращения которых дали бы возможность получить ранее неизвестные дивинилкетоны, могущие явиться хорошими исходными соединениями для синтеза биологически активных соединений.

В настоящей работе приводятся результаты исследований по синтезу и превращениям 2,2,5,5-тетраметил-3-изопропенилэтинилтетрагидрофуран-3-ола. Как и следовало ожидать, кондесация изопропенилацетилена с тетрагидрофуран-3-оном по методу Фаворского оказалась безуспешной, вследствие енолизации фуранона (I) в условиях эксперимента. Синтез 2,2,5,5-тетраметил-3-изопропенилэтинилтетрагидрофуран-3-ола (II) осуществлен взаимодействием магнийбромизопропенилацетилена с 2,2,5,5-тетраметилфуран-3-оном (I). При гидрировании фуранола (II) с Рt-катализатором поглощается 3 моля водорода и образуется 2,2,5,5-тетраметил-3-изоамилтетрагидрофуран-3-ол (III). Последний был получен также взаимодействием изоамилмагнийбромида с фураноном (I):

$$\begin{array}{c} OH \\ OH \\ CH_3 \\ H_3C \\ OH \\ CH_3 \\ \end{array}$$

$$\begin{array}{c} OH \\ C \equiv C - C(CH_3) = CH_2 \\ CH_3 \\ CH_3 \\ \end{array}$$

$$\begin{array}{c} OH \\ CH_3 \\ CH_3 \\ \end{array}$$

Фуранол (II) в растворе  $7 \, ^{0}$  оной серной кислоты в присутствии сернокислой ртути при  $80-90^{\circ}$  подвергается изомеризации с образованием дивинилкетона (IV); последний, в отличие от других дивинилкетонов, в условиях эксперимента не подвергается циклизации в ожидаемый тетрагидропиран-4-он [4]. При проведении изомеризации фуранола (II) в растворе метилового спирта в присутствии сернокислой ртути происходит изомеризация фуранола (II) в дивинилкетон (IV), который в условиях опыта присоединяет 1-молекулу метанола и дает β-метоксикетон (VI). Строение последнего доказано окислением перманганатом калия; при этом выделены муравьиная и β-метоксиизомасляная кислоты и 2.2.5.5-тетраметилтетрагидрофуран-3-он, который в условиях опыта частично подвергается окислению с образованием тетраметилдигликолевой кислоты [5]. При гидрировании кетон (VI) поглощает 2 молекулы водорода с образованием непредельного 6-метоксикетона (VII).

$$H_{3}C \longrightarrow CH_{3}COCH(CH_{3})_{3}$$

$$CH_{3}COCH(CH_{3})_{3}$$

$$CH_{3}COCH(CH_{3})_{3}$$

$$CH_{3}COCH(CH_{3})_{3}CH_{3}$$

$$CH_{3}COCH(CH_{3})_{3}CH_{3}CCH_{3}$$

$$CH_{3}CCH_{3}CH_{3}CCH_{3}$$

$$CH_{3}CCH_{3}CH_{3}CCH_{3}$$

$$CH_{3}CCH_{3}CH_{3}CCH_{3}$$

$$CH_{3}CCH_{3}CCH_{3}CCH_{3}$$

$$CH_{3}CCH_{3}CCH_{3}$$

$$CH_{3}CCH_{3}$$

$$CH_{3}CCH_{3}CCH_{3}$$

$$CH_{3}CCH_{3}CCH_{3}$$

$$CH_{3}CCH_{3}CCH_{3}$$

$$CH_{3}CCH_{3}CCH_{3}$$

$$CH_{3}CCH_{3}CCH_{3}$$

$$CH_{3}CCH_{3}$$

$$CH_{3}CCH_{3}CCH_{3}$$

$$CH_{3}CCH_{3}CCH_{3}$$

$$CH_{3}CCH_{3}CCH_{3}$$

$$CH_{3}CCH_{3}CCH_{3}$$

$$CH_{3}CCH_{3}CCH_{3}$$

$$CH_{3}CCH_{3}CCH_{3}$$

$$CH_{3}CCH_{3}CCH_{3}$$

$$CH_{3}CCH_{3}CCH_{3}$$

$$CH$$

Нагреванием дивинилкетона (IV) или  $\beta$ -метоксикетона (VI) с водным раствором диметиламина получен  $\beta$ -аминокетон (VIII). Действием метиламина на кетоны (IV, VI) получен 1,3-диметил-6-спиро-[(2',2',5',5'-тетраметилтетрагидро)-3'-фурил]-4-пиперидон (IX):

Изопропенилэтинилфуранол (II) при перегонке над бисульфатом калия дегидратируется в ожидаемый диенин (X). Последний гидратируется при нагревании в водном растворе метанола в присутствии сернокислой ртути. При этом получается дивинилкетон (XII), строение которого доказано гидрированием и озонированием. При гидрировании дивинилкетон поглощает 2 молекулы водорода, образует соответствующий предельный кетон (XIII). При озонировании выделены ацетон, тетраметилдигликолевая и муравьиная кислоты. Кроме того, в ИК спектре найдена полоса поглощения при частоте 1633 смс-1, которая соответствует изопропенильной связи.

$$II \longrightarrow \begin{array}{c} CH_3 \\ CH_3$$

При взаимодействии метиламина с дивинилкетоном (XII) получается 1,2,2,5,5,7,7-гептаметилтетрагидрофуро (3,4-в)-пиперидон-4 (XIV), в виде двух изомеров. Действием фениллития на пиперидон (XIV) получен 1,2,2,5,5,7,7-гептаметилтетрагидрофуро (3,4-в)-4-фенилпиперидол-4 (XV).

Синтезированные непредельные соединения были прогидрированы; при этом получены соответствующие предельные соединения: (V, XI).

## Экспериментальная часть

2,2,5,5 - Тетраметил - 3 - изопропенилэтинилтетрагидрофуран - 3-ол (II). К реактиву Гриньяра, приготовленному из 24 г магниевых стружек, 110 г бромистого этила и 700 мл абсолютного эфира, при охлаждении до —15° прибавлено 66 г изопропенилацетилена. На следующий день реакционная смесь перемешивалась при кипении эфира 1 час, после охлаждения до —14° прибавлено по каплям 120 г 2,2,5,5-тетраметилтетрагидрофуран-3-она в течение пяти часов, после чего кипящая смесь перемешивалась еще 1 час. Реакционная смесь охлаждена и гидролизована 12° о-ной соляной кислотой. Эфирный слой нейтрализован содой, промыт водой и высушен сульфатом магния. После удаления эфира перегнано 34,5 г фуранона (I); остаток закристаллизовался. Получено 115 г (91,8° о, считая на прореагироваший исходний фуранон) 2,2,5,5-тетраметил-3-изопропенилэтинилтетрагидрофуран 3-ола (II). Т. пл. 65—66° (из петролейного эфира). Найдено ° о: С 74,50; Н 9,98. С 13 Н 200 г. Вычислено ° о: С 75,00; Н 9,61.

2,2,5,5-Тетраметил-3-изоамилтетрагидрофуран-3-ол (III). З г перекристаллизованного карбинола (II) в растворе 15 мл спирта гидрировалось в присутствии Рt-катализатора. Водорода поглотилось 1,05 л вместо рассчитанных 1,02 л. Получено 2,5 г (81,1%) 2,2,5,5-тетраметил-3-изоамилтетрагидрофуран-3-ола (III). Т. кип.  $106-107^\circ/10$  мм; т. пл.  $41-42^\circ$  (из эфира). Найдено  $\frac{0}{0}$ : С 72,89; Н 12,32. С<sub>13</sub>Н<sub>28</sub>О<sub>2</sub>. Вычислено  $\frac{0}{0}$ : С 72,90; Н 12,14.

Изомеризация 2,2,5,5-тетраметил-3-изопропенилэтинилтетрагидрофуран-3-ола (II) в воде. Смесь 20 г фуранола и 80 мл  $7^0/_0$ -ной серной кислоты, содержащей 0,05 г пирогаллола и 9 г сернокислой ртути перемешивалась при  $80^\circ$  15 часов. Продукт экстрагирован эфиром, нейтрализован раствором соды, промыт водой, высушен сульфатом магния и перегнан. Получено 6,5 г (32,5 $^0$ / $_0$ ) дивинилкетона (IV); т. кип.  $90-92^\circ/3$  мм;  $n_D^{20}$  1,4800;  $d_D^{20}$  0,9708. MRD найдено  $d_D^{20}$  вычислено  $d_D^{20}$  С 74,75; Н 9,90.  $d_D^{20}$  Вычислено  $d_D^{20}$  С 75,00; Н 9,61. Т. пл. 2,4-динитрофенилгидразона 187 $d_D^{20}$  (из спирта). Найдено  $d_D^{20}$  N 15,03.  $d_D^{20}$  Вычислено  $d_D^{20}$  С  $d_D^{20}$  Вычислено  $d_D^{20}$  С  $d_D^{20}$  Рабора 187 $d_D^{20}$  С  $d_D^{20}$  Рабора 187 $d_D^{20}$  С  $d_D^{20}$  Вычислено  $d_D^{20}$  С  $d_D^{20}$  Рабора 187 $d_D^{2$ 

2-Метил-4-(2,2,5,5-тетраметилтетрагидрофуран-3-ил)-бутан-3-он (V). 2,2 г свежеперегнанного кетона (IV) гидрировалось в растворе 10 мл этанола в присутствии Рt-катализатора. Водорода поглотилось 0,500 л вместо вычисленных 0,484 л. Получено 1,8 г (80,3%) предельного кетона (V). Т. кип. 85°/5 мм,  $n_D^{20}$  1,4530;  $d_4^{20}$  0,9297. М $R_D$  найдено 61,63, вычислено 61,68. Найдено %: С 73,30; Н 11,06.  $C_{13}H_{24}O_{2}$ . Вычислено  $O_{10}$ : 73,58. Н 11,32.

2,4-Динитрофенилгидразон плавится при 132° (из спирта). Найдено  $^{0}/_{0}$ : N 14,61;  $C_{19}H_{28}N_{4}O_{5}$ . Вычислено  $^{0}/_{0}$ : N 14,29.

Изомеризация 2,2,5,5-тетраметил-3-изопропенилэтинилтетрагидрофуран-3-ола (II) в метаноле. Смесь 21 г карбинола (II), 100 мл метанола, 2 капель концентрированной серной кислоты и 4 г сернокислой ртути перемешивалась на водяной бане при  $60-65^{\circ}$  в течение 16 часов. Реакционная масса слита с катализатора, основная часть метанола отогнана в небольшом вакууме, продукт экстрагирован эфиром, нейтрализован поташом и высушен сульфатом магния. Получено 14,5 г ( $59,9^{\circ}$ /<sub>0</sub>) β-метоксикетона (VI). Т. кип.  $101-102^{\circ}$ /3 мм;  $n_D^{20}$  1,4595;  $d_4^{20}$  0,9601, MR<sub>D</sub> найдено 68,39, вычислено 67,48. Найдено  $n_D^{20}$ /<sub>0</sub>: С 70,48 Н 10,16.  $n_A^{20}$ /<sub>3</sub>. Вычислено  $n_A^{20}$ /<sub>0</sub> С 70,00; Н 10,00.

2,4-Динитрофенилгидразон плавится при 174-175° (из спирта).

Найдено %: N 13,84. С20 Н28 N4 О6. Вычислено %; N 13,33.

Гидрирование метоксикетона (VI). 2,5 г метоксикетона в растворе 10 мл этанола гидрировалось в присутствии Рt-катализатора. Водорода поглотилось 0,250 л вместо 0,258 л. Получено 1,7 г (67,4  $^{\rm o}/_{\rm o}$ ) непредельного метоксикетона (VII) с т. кип.  $81-82^{\rm o}/2$  мм;  $n_{\rm D}^{20}$  1,4508;  $d_4^{20}$  0,9591. М $R_{\rm D}$  найдено 67,90, вычислено 67,95. Найдено  $^{\rm o}/_{\rm o}$ : С 69,80; Н 10,70.  $C_{14}H_{26}O_3$ . Вычислено  $^{\rm o}/_{\rm o}$ : С 69,42; Н 10,74. Этот кетон с 2,4-динитрофенилгидразоном кристаллического производного не дает.

Окисление метоксикетона (VI). В смесь 11,9 г метоксикетона и 200 мл воды при энергичном перемешивании и охлаждении водой в течение 7 часов небольшими порциями внесено 21,7 г тонкоизмельченного перманганата калия. На следующий день осадок двуокиси марганца отфильтрован и два раза промыт горячей водой. Фильтрат экстрагирован эфиром для извлечения нейтральных продуктов. После удаления эфира получено 0,3 г 2,2,5,5-тетраметилтетрагидрофуран-3-она (I) (т. кип. 50-52°/20 мм), семикарбазон которого плавится при 188—189° и не дает депрессии с известным образцом. Водный слой выпарен на водяной бане до образования кристаллов. Продукт подкислен концентрированной соляной кислотой, экстрагирован эфиром, высушен сульфатом магния. После отгонки основной части эфира остаток закристаллизовался. Жидкость отфильтрована. Из кристаллической массы путем перекристаллизации выделено 2 г тетраметилдигликолевой кислоты с т. пл. 151-152° (из спирта). В литературе указано 151—151,5° [3]. Из жидкости выделено 0,1 г муравьиной кислоты с т. кип. 98-100° при 680 мм (каломельная проба положительная) и 0,7 г β-метоксиизомасляной кислоты с т. кип. 86-88°/3 мм n<sup>20</sup> 1,4280 [6].

Взаимодействие диметиламина с дивинилкетоном (IV). Смесь 6,5 г дивинилкетона и 17 мл  $25^0/_0$ -ного водного раствора диметиламина нагревалась 6 часов при  $60-70^\circ$ . Избыток амина удалялся, остаток подкислялся концентрированной соляной кислотой, нейтральные продукты экстрагировались эфиром. Водный раствор солей органических оснований высаливался поташом, экстрагировался эфиром, высушивался сульфатом магния. После отгонки эфира получено 2,5 г (43,86°/ $_0$ ) аминокетона (VIII), т. кип.  $105-106^\circ/6$  мм;  $n_D^{20}$  1,4670;  $d_4^{20}$  0,9392. MRD найдено 74,73, вычислено 74,40. Найдено °/ $_0$ : С 71,40; Н 10,51; N 4,93.  $C_{15}H_{27}NO_2$ . Вычислено °/ $_0$ : С 71,14; Н 10,67; N 5,53.

2,4-Динитрофенилгидразон плавится при  $178-179^\circ$  (из спирта). Найдено  $\%_0$ : N 16,11. С $_{21}$ Н $_{31}$ N $_3$ О $_5$ . Вычислено  $\%_0$ : N 16,16. Т. пл. пикрата  $145^\circ$  (из спирта). Найдено  $\%_0$ : N 11,58. С $_{22}$ Н $_{20}$ N $_4$ О $_9$ . Вычислено  $\%_0$ : N 11,61.

Из экстракта нейтральных продуктов выделено 1,8 г кетона (IV) с т. кип.  $91^\circ/3$  мм,  $n_D^{\infty}$  1,4790. Остаток 1,2 г.

Взаимодействие диметиламина с метоксикетоном (VI). Смесь 13 г метоксикетона и 34 мл  $25^{\circ}/_{\circ}$ -ного водного раствора диметиламина нагревалась в закрытой ампуле в течение 6 часов при  $60-70^{\circ}$ . Реакционная смесь обработана аналогично вышеописанному. Получено 3,6 г  $(65,8^{\circ}/_{\circ})$  аминокетона (VIII). Т. кип.  $105-106^{\circ}/_{\circ}$  мм,  $n_{D}^{20}$  1,4670. Пикрат плавится при  $145^{\circ}$  (из спирта). Из нейтральных продуктов выделено 7,8 г метоксикетона. Т. кип.  $107^{\circ}/_{\circ}$  мм;  $n_{D}^{20}$  1,4580. Смолистый остаток 0,7 г.

Взаимодействие метиламина с дивинилкетоном (IV). Смесь 4 г дивинилкетона, 10 мл  $25^{\circ}/_{\circ}$ -ного водного раствора метиламина и 0.05 г пирогаллола нагревалась в закрытой ампуле в течение 12 часов при  $80^{\circ}$ . Получено 0.8 г  $(20.5^{\circ}/_{\circ})$  N-метилпиперидона (IX). Т. кип.  $77^{\circ}/_{3}$  мм;  $n_{20}^{20}$  1.4755;  $d_{40}^{20}$  0.9793. М $R_{D}$  найдено 68.78, вычислено 68.05. Найдено  $^{\circ}/_{\circ}$ : С 70.61; Н 10.28; N 5.40. С<sub>14</sub>Н<sub>25</sub>NO<sub>3</sub>. Вычислено  $^{\circ}/_{\circ}$ : С 70.29; Н 10.46; N 5.86. Т. пл. пикрата  $180-182^{\circ}$  (из спирта). Найдено  $^{\circ}/_{\circ}$ : N 11.90. С<sub>20</sub>Н<sub>28</sub>N<sub>4</sub>O<sub>9</sub>. Вычислено  $^{\circ}/_{\circ}$ : N 11.96.

Из нейтральных продуктов получено 0.6 г исходного дивинилкетона с т. кип.  $106-107^{\circ}/14$  мм;  $n_{\rm D}^{20}$  1.4810.

Взаимодействие метиламина с метоксикетоном (VI). Смесь 8 г метоксикетона, 15 мл  $25^{\circ}/_{0}$ -ного водного раствора метиламина и 0,05 г пирогаллола нагревалась 12 часов на кипящей водяной бане. Обработано аналогично. Получено 2,5 г (41,8%) N-метилпиперидона (IX) с т. кип.  $83^{\circ}/6$  мм;  $n_{D}^{20}$  1,4755. Пикрат плавится при  $183-184^{\circ}$  (из спирта) и не дает депрессии с предыдущим образцом. Из нейтральных продуктов выделено 2 г исходного метоксикетона. Т. кип.  $82^{\circ}/3$  мм;  $n_{D}^{20}$  1,4580.

Дегидратация 2,2,5,5-тетраметил-3-изопропенилэтинилтетрагидрофуран-3-ола (II). Смесь 29 г карбинола (II), 10 г порошкообразного безводного бисульфата калия и 0,05 г пирогаллола нагревалась при  $100-120^{\circ}$  30 минут, при остаточном давлении 10 мм, затем перегнана. Получено 22,5 г (84,9%) 2,2,5,5-тетраметил- $\Delta^{3.4}$ -дигидрофуранилизопропенилацетилена (X). Т. кип. 79—81°/7 мм;  $n_D^{20}$  1,4910;  $d_A^{20}$  0,8896. М $R_D$  найдено 61,86, вычислено 58,74. Найдено % С 81,64; Н 9,64.  $C_{12}$   $H_{18}$  О. Вычислено % С 82,10; Н 9,47. Гидрирование диенина (X). 4 г свежеперегнанного диенина в

Гидрирование диенина (X). 4 г свежеперегнанного диенина в растворе 10 мл этанола гидрировались в присутствии Рt-катализатора. Водорода поглотилось 2 л вместо 2,02 л. Получено 3,1 г  $(74,5^{\circ}/_{\circ})$  2,2,5,5-тетраметил-3-изоамилтетрагидрофурана (XI). Т. кип.  $50^{\circ}/_{\circ}$  мм;

n<sub>D</sub><sup>20</sup> 1,4380; d<sup>20</sup> 0,8366. MR<sub>D</sub> найдено 62,13, вычислено 61,77. Найдено %: С 79,23; Н 12,76, С<sub>3</sub>.Н<sub>28</sub>О. Вычислено %: С 78,78; Н 13,13.

Гидратация диенина (X). Смесь 5,6 г диенина, 30 г  $95^{\circ}/_{\circ}$ -ного метанола, 4 г сернокислой ртути и двух капель серной кислоты перемешивалась в течение 55 часов при  $60-65^{\circ}$ . При этом по порциям прибавлено 3 г сернокислой ртути. После отгонки метанола продукт реакции экстрагирован эфиром, нейтрализован раствором поташа и высушен сульфатом магния. Получено 3,9 г  $(63,6^{\circ}/_{\circ})$  дивинилкетона (XII). Т. кип.  $87-88^{\circ}/3$  мм;  $n_D^{20}$  1,4765;  $d_D^{20}$  0,9388. М $R_D$  найдено  $d_D^{20}$  вычислено  $d_D^{20}$  С 75,00; Н 9,61.

При хроматографировании дает одно пятно ( $R_1$  0,48, на  $Al_2O_3$ , второй степени активности, эфир—бензол 1:3). Т. пл. 2,4-динитрофенилгидразона 175—176° (из спирта). Найдено  $^{0}/_{0}$ : N 14,82.  $C_{19}H_{24}N_4O_5$ . Вычислено  $^{0}/_{0}$ : N 14,43.

Гидрирование диенона (XII). 2 г свежеперегнанного диенона в растворе 10 мл спирта гидрировалось в присутствии Рt-катализатора. Водорода поглотилось 0,5 л вместо 0,484 л. Получено 1,8 г (88,6%) предельного кетона (XIII). Т. кип. 73—74°/2 мм;  $n_{\odot}^{20}$  1,4490;  $d_{4}^{20}$  0,9111. М $R_{\rm D}$  найдено 62,12, вычислено 61,68. Найдено %: С 73,27; Н 11,17,  $C_{13}H_{24}O_{3}$ . Вычислено %: С 73,58; Н 11,32.

С 2,4-динитрофенилгидразином не дает кристаллического производного.

Озонирование диенона (XII). Через раствор 6,5 г хроматографически чистого диенона в 40 мл сухого хлороформа пропускался озонированный кислород в течение 18 часов. Озонид был влит в 10 мл воды, смесь перемешивалась один час при комнатной температуре, затем добавлено 15 мл 30% ной перекиси водорода, и смесь перемешивалась при 50-55° еще в течение 6 часов. Раствор нейтрализован содой (2,5 г), нейтральные продукты экстрагированы эфиром, но их почти не оказалось. Повторной перегонкой из водного слоя выделен ацетон, семикарбазон которого плавился при 189° (из спирта) и не дал депрессии с заведомым образцом. Водный слой выпарен на водяной бане досуха, остаток подкислен концентрированной соляной кислотой и тщательно экстрагирован эфиром. После высушивания сульфатом магния эфир отогнан на водяной бане. Выделено 0,1 г муравьиной кислоты; т. кип. 40-45°/60 мм. Каломельная проба дала положительный результат. Перекристаллизованный остаток (0,6 г) представлял собой тетраметилдигликолевую кислоту; т. пл. 151° (из спирта), с заведомым образцом не дает депрессии.

Взаи модействие метиламина с дивинилкетоном (XII). Смесь 20 г дивинилкетона и 36 мл 25°/о-ного водного раствора метиламина взбалтывалась 20 часов при комнатной температуре. Получено 8,7 г (57,3°/о) вещества, из которого выделено 3 фракции.

І-я фракция — 2,5 г (28,7%) представляет собой N-метилпиперидон (XIV). Т. кип. 71—72% жж,  $n_D^{20}$  1,4740,  $d_D^{20}$  0.9648. М $R_D$  найдено 69,60, вычислено 68,05. Найдено %: N 5,82.  $C_{14}H_{25}NO_2$ . Вычислено %: N 5,85. При хроматографировании дает одно пятно ( $R_F$  0,73, на  $Al_2O_2$ , второй степени активности, эфир—гексан 1:3).

Пикрат плавится при  $115^\circ$  (из спирта). Найдено  $^0/_0$ : N 11,82. С<sub>20</sub>H<sub>28</sub>N<sub>4</sub>O<sub>9</sub>. Вычислено  $^0/_0$ : N 11,96. 2,4-Динитрофенилгидразон плавится при  $112^\circ$  (из спирта). Найдено  $^0/_0$ : N 16,82. С<sub>20</sub>H<sub>29</sub>N<sub>5</sub>O<sub>5</sub>. Вычислено  $^0/_0$ : N 16,70.

Вторая фракция 3,2 г (36,7%) представляет собой смесь двух изомеров, т. кип.  $73-85^{\circ}/3$  мм,  $n_D^{20}$  1,4780.

Третья фракция 3 г (34,4%) представляет другой изомер N-метилпиперидона (XIV). Т. кип. 85—86%3 мм:  $n_D^{20}$  1,4820;  $d_D^{20}$  0,9580. М $R_D$  найдено 69,59, вычислено 68,05. Найдено %: N 5,82.  $C_{14}H_{25}NO_3$ . Вычислено %: N 5,85.

При хроматографировании дает одно пятно ( $R_F$  0,60, на  $Al_2O_3$ , второй степени активности, эфир—гексан 1:3). Пикрат при 188° обугливается. Найдено  $^0/_0$ : N 12,04.  $C_{20}H_{28}N_4O_9$ . Вычислено  $^0/_0$ : N 11,96. 2,4-Динитрофенилгидразон плавится при 179° (из спирта). Найдено  $^0/_0$ : N 16,61.  $C_{20}H_{29}N_3O_3$ . Вычислено  $^0/_0$ : N 16,70.

Из нейтрального экстракта выделено 6,8 г дивинилкетона (XII). Т. кип.  $60^{\circ}/1$  мм.  $n_D^{20}$  1,4760.

Синтез фенилпиперидола (XV). К фениллитию, приготовленному из 2 г мелких кусков лития и 24 г бромбензола в растворе 150 мл сухого эфира, в течение двух часов при  $-15^{\circ}$ ,  $-12^{\circ}$  прибавлено 7,9 г пиперидона (XIV), растворенного в 150 мл эфира. Затем перемешивание продолжалось еще 1,5 часа при комнатной температуре и 2 часа при кипении эфира. Продукт реакции гидролизован 150 мл  $18^{\circ}/_{0}$ -ной соляной кислоты. После обычной обработки выделен 1 г непрореагировавшего исходного пиперидона и 3,7 г ( $40,4^{\circ}/_{0}$ ) ожидаемого фенилпиперидола (XV), т. кип.  $153^{\circ}/_{2}$  мм. Последний при стоянии закристаллизовался. Т. пл. 77° (из петролейного эфира). Найдено  $^{\circ}/_{0}$ : С 75,79; Н 9,72; N 4,41. С<sub>20</sub>Н<sub>31</sub>NO<sub>2</sub>. Вычислено  $^{\circ}/_{0}$ : С 75,71; Н 9,77; N 4,41. Пикрат плавится при 243—244° (из спирта). Найдено  $^{\circ}/_{0}$ : N 10,02. С<sub>26</sub>Н<sub>34</sub>N<sub>4</sub>O<sub>2</sub>. Вычислено  $^{\circ}/_{0}$ : N 10,26.

Институт органической химии АН АрмССР

Поступило 29 IV 1966

## ՎիՆիլԱՑԵՏԻԼԵՆԻ ՔԻՄԻԱ

LXXVII. 2.2.5.5-ՑԵՏՐԱՄԵԹԻԼ-3-ԻԶՈՊՐՈՊԵՆԻԼԷԹԻՆԻԼՏԵՑՐԱՀԻԴՐՈՖՈՒՐԱՆ-3-ՈԼԻ ՍԻՆԹԵԶ ԵՎ ՆՐԱ ՓՈԽԱՐԿՈՒՄՆԵՐԸ

Ս. Հ. ՎԱՐԴԱՆՑԱՆ, Վ. Ն. ԺԱՄԱԳՈՐԾՑԱՆ և Է. Լ. ԱՍՈՏԱՆ

# Udhnhnid

իսան չապեցած միացութվունները։

Ներկա աչխատանջում նկարագրվում է 2,2,5,5-տետրամեթիլ-3-իզոպրտասխան հուրաբերած միացութվունները։

Ներկա աչխատանջում նկարագրվում է Հոր դիվինիկետոն (XII)։ Մինթեզված բուրաբերկի սուացված է դիվինիկետոն (IV)։ Ծծմբական թթվի լուծուլթի մերացնելով ստացված է դինինիկետոն (IV)։ Ֆուրաբերկան մեթանով դերացնելում մերական թե մերացնելով ստացված է դիննին (X), հունաբերկանում մերացնելով ստացված է դիննին (X), հունաբերկանում մերացնելով ստացանան կրարարված եր հունաբերկանում (XIII)։ Սինթեզմած բուրաբերկանում (XIII)։ Սինթեզմած բուրաբերկան առաջանում է դիննին (X), հունաբերկան առաջանում է դիննին (X), հունաբերկան առաջանած միացութվումները։

Ստացված կետոնների (VI և XII) կառուցված քն ապացուցված է հիդրմամբ, օքսիդացմամբ, օգոնմամբ սպեկտրալ անալիգով։

β-Մե թοջսիկետոնի (VI) և դիվինիլկետոնի (IV) վրա դիմե թիլամինով ազդելով ստացվում է β-ամինակետոն (VIII)), իսկ մե թիլամինով ազդելիս՝ 1,3-դիմե թիլ-6-սպիրո [2,2,5,5-տետրամե թիլտետրահիդրո)-3-ֆուրիլ]-1-պիպե-րիդոն (IX),

Մե Թիլամինը դիվինիլկետոնի (XII) հետ փոխազդելով ստացված է բիցիկլիկ պիպերիդոն (XIV) երկու իզոմերների ձևով։ Այս պիպերիդոնի վրա ֆենիլլիԹիումով ազդելով ստացված է համապատասիսան պիպերիդոլը (XV)։

#### ЛИТЕРАТУРА

- 1. И. Н. Назаров, Усп. хим., 14, 3 (1945).
- 2. С. А. Вартанян, Усп. хим., 31, 1137 (1945).
- 3. И. И. Назаров, С. Г. Мацоян, С. А. Вартанян, В. Н. Жамагорцян, ЖОХ, 27 2961 (1957).
- 4. И. И. Назаров, И. В. Торгов, Л. П. Терехова, Изв. АН СССР, ОХН, 1943, 50.
- 5. G. Dupont, Ann. chim. (8), 30, 485 (1913).
- 6. R. Brettle, N. Polgar, J. Chem. Soc., 1959, 664.

XX, № 6, 1967

УДК 547,759+547.833

# ОБ АКТИВНОСТИ МЕТИЛЬНОЙ ГРУППЫ 1-МЕТИЛ-3, 4-ДИГИДРОИЗОХИНОЛИНА

IV. СИНТЕЗ МОНО- И ДИКАРБОНОВЫХ КИСЛОТ 5,6-ДИГИДРОБЕНЗ(g)-ПИРРОКОЛИНОВОГО РЯДА

#### С. Г. АГБАЛЯН, Л. А. НЕРСЕСЯН и А. О. НШАНЯН

Изучена реакция некоторых енаминов 3,4-дигидроизохинолинового ряда с маленновым, броммаленновым и цитраконовым ангидридами, приводящая к образованию 1-замещенных 5,6-дигидробенз(g)пирроколин-3-он-2-уксусных кислот, 5,6-дигидробенз(g)пирроколин-3-он-2 (1'-бром) уксусных и 5,6-дигидробенз(g)пирроколин-3-он-2 (1'-метил)уксусных кислот.

Из литературных источников известно, что малеиновый ангидрид и его производные, фенилмалеиновый и цитраконовый ангидриды, взаимодействуют с 2-метилхиноксалином. Авторы показали, что реакция идет через промежуточную стадию — реакцию Михаеля, с образованием пирроло(1,2-а)хиноксалинов [1—2].

$$CH_3$$
 $CH_3$ 
 $CH_3$ 
 $CH_3$ 
 $CHRCOH$ 

Рассмотрение литературного материала показывает, что реакция с малеиновым ангидридом не является характерной для всех гетероциклических соединений, имеющих активную метильную группу. Шёнберг и Мустафа [4] предполагают, что способность диметилхиноксалина вступать в реакцию с малеиновым ангидридом объясняется переходом в таутомерную, енаминную форму:

В спектрах 2,3-диметилхиноксалина, снятых в нашем институте, найдены частоты  $1625 \ cm^{-1}$ , по-видимому, характерные для C=C связи в енамине, а в хлоргидрате его —  $1640 \ cm^{-1}$  (сдвиг  $15 \ cm^{-1}$ ).

Ранее мы показали, что 1-метил-3,4-дигидроизохинолин и замещенные 1-метил-3,4-дигидроизохинолины, согласно ИК-спектрам и ряду характерных реакций, являются енаминами [5—6].

$$\bigcirc \bigcirc_{\mathsf{CH}_{\mathsf{R}} \mathsf{R}} \longleftrightarrow \bigcirc \bigcirc_{\mathsf{CHR}} \mathsf{NH} \, .$$

Кроме того, нашими предыдущими исследованиями было показано, что 1-метил-3,4-дигидроизохинолин конденсируется с ароматическими альдегидами в несравненно более мягких условиях, сравнительно с другими гетероциклическими соединениями, имеющими активную а-метильную группу [7].

Поэтому казалось вероятным, что 1-метил-3,4-дигидроизохинолин будет реагировать с малеиновым ангидридом.

Нами изучена реакция замещенных в 1-метильной группе 3,4дигидроизохинолинов с малеиновым, цитраконовым и броммалеиновым ангидридами.

Реакция между 2-метилхиноксялином и малеиновым ангидридом завершается лишь при многочасовом нагревании. Оказалось, что реакция 3,4-дигидроизохинолинов с вышеупомянутыми ангидридами экзотермична; во избежание осмоления зачастую приходится вести ее в абсолютном бензоле. Образующиеся вещества не содержат основного азота, растворяются в щелочах и выпадают обратно при подкислении. Стойкость по отношению к щелочам свидетельствует об отсутствии ангидридного мостика. Согласно ИК-спектрам, они содержат амидный карбонил ( $1660-1680\ cm^{-1}$ ) и карбоксильную группу ( $v_{C=0}\ 1690-1720\ cm^{-1}$ ;  $v_{OH}\ 3100-3300\ cm^{-1}$ ). На основании этих данных мы предположили следующую схему реакции [1, 2]:

R = H;  $C_0H_5$ :  $COOC_3H_5$ ;  $COOCH_3$ ;  $CH_2CH_2COOCH_3$ ;  $CH_2CH_2CN$ . R' = H;  $CH_3$ ; Br.

Данные элементарного анализа подтвердили образование этих соединений. Для подтверждения строения синтезированых кислот мы получили некоторые из них из тех же 3,4-дигидроизохинолинов и малеиновой, фумаровой, цитраконовой и броммалеиновой кислот; при нагревании до 130—150° в течение нескольких часов выделяется вода и образуются кислоты, не содержащие основного азота. Кислоты, синтезированные из соответствующего 3,4-дигидроизохинолина и фумаровой, либо малеиновой кислоты оказались идентичными друг другу и кислотам, полученным из того же енамина и малеинового ангидрида. Кислоты, синтезированные из 3,4-дигидроизохинолинов и цитраконовой или броммалеиновой кислот также идентичны продуктам, полученным взаимодействием тех же 3,4-дигидроизохинолинов и соответствующих ангидридов.

Бромкислоты, имеющие в положении 1 карбметоксильные и карбэтоксильные группы, уже при комнатной температуре превращаются в смолообразные продукты темносинего цвета, не содержащие брома. Этот же процесс происходит за несколько минут при нагревании до 100°.

Согласно данным элементарного анализа и ИК-спектроскопии, образуется один и тот же продукт:

Склонность к образованию ү-лактама настолько велика, что при реакции замещенных 1-метилен-N-ацетил-1,2,3,4-тетрагидроизохинолинов с фумаровой кислотой происходит отщепление ацетильной группы, выделяется уксусная кислота и происходит циклизация с образованием соответствующих кислот.

Осуществление описанных реакций дало возможность получения производных бензпирроколина, синтез которых иным путем представляется весьма затруднительным.

# Экспериментальная часть

1-Замещенные 5,6-дигидробенз (g) пирроколин-3(2H)-он-2-уксусные кислоты. 0,01 моля 1-замещенного 3,4-дигидроизохинолина растворяли в 10 мл абсолютного бензола и к нему медленно присыпали Армянский химический журнал, XX, 6—4

0,98 г (0,01 моля) маленнового ангидрида. Реакция экзотермична. Через 4 часа из образовавшейся густой массы выделяли соответствующую кислоту способом, указанным в таблице Г.

Таблица 1

		- 1111			Ана	л н	3	B 0/0	
		%	100		C		1		N .
R		Выход в	Т. пл. в °C	вычис-	найдено	вычис-	найдено	вычис-	найдено
н	(a)	37,1	190—195	66,37	66,12	5,80	5,79	5,34	5,43
C <sub>6</sub> H <sub>5</sub>	(6)	92,5	90—92	75,23	75,32	5,37	5,53	4,36	4,11
COOCH,	(B)	96,0	133137	63,74	63,12	5,01	5,41	4,64	4,78
COOC <sub>2</sub> H <sub>5</sub>	(r)	95,5	113—114	64,70	64,75	5,43	5,73	4,44	4,05
CH,CH,CN	(д)	91,7	95—98	68,00	67,94	5,77	5,72	9,42	9,28
CH,CH,COOCH,	(A)	92,0	95	66,30	66,71	5,82	5,67	4,25	4,91

а. Реакционная смесь обработана как в предыдущем опыте. б. Выделившееся масло растворили в ацетоне и осадили гексаном. в. Кристаллизуется из бензола. г. Чистый продукт выделен из гексана, содержащего несколько капель ацетона. д. Кристаллизуется из гексана.

1-Замещенные 5,6-дигидробенз(g) пирроколин-3(2H)-он-2(1'-бром) уксусные кислоты. 0,01 моля 1-замещенного 3,4-дигидроизохинолина растворяли в 10 мл абсолютного бензола и к нему медленно прикапывали при охлаждении проточной водой 1,77 г (0,01 моля) броммалеинового ангидрида, растворенного в 5 мл абсолютного бензола. С образовавшихся осадков сливали бензол, кислоты выделяли и очищали различными способами (см. табл. 2).

1-Замещенные 5,6-дигидробенз(g) пирроколин-3(2H)-он-2(1'-метил) уксусные кислоты. К 0,01 моля 1-замещенного 3,4-дигидроизохинолина медленно добавляли 1,12 г (0,01 моля) цитраконового ангидрида. Через 24 часа выделяли образовавшиеся кислоты способом, указанным в таблице 3.

Взаимодействие 1-метил-3,4-дигидроизохинолина с фумаровой кислотой. Нагревали при 150° 2 часа 1,25 г (0,05 моля) 1-метил-3,4-дигидроизохинолина и 5,8 г (0,05 моля) фумаровой кислоты. Темносинюю смолообразную реакционную массу растворили в 10°/о-ном растворе едкого натра и несколько раз экстрагировали эфиром для удаления примесей, затем отфильтровали и подкислили соляной кислотой. Выпали серые хлопья 5,6-дигидробенз(g)пирроколин-3(2H)-он-2-уксусной кислоты. Выход 2 г, т. пл. 190—195°. Найдено °/о: С 66,51:

Таблица 2

				A	нал	н з в	0/0
		0/0	-	E	3r	1	V
R		Выход в	Т. пл. в °С	вычис-	найдено	лено	найдено
Н	(a)	40,9	110—115	24,86	25,22	4,34	4,51
C <sub>6</sub> H <sub>5</sub>	(6)	36,7	110	20,34	20,00	3,55	3,45
CH,CH,CN	(a)	32,9	90— <b>9</b> 5	20,22	19,70	7,33	7,65
CH2CH2COOCH3	(B)	31,8	120—125	19,57	19,30	3,42	4,03

а. Чистую кислоту получили из смеси ацетон—эфир. 6. Кристаллизовалась при разбавлении смеси абсолютным эфиром. в. Кристаллизуется из смеси уксусная кислота—вода.

Таблица 3

				1	Ана	я н	3	B 0/0	
-1 77		%			C		Н	1	1
R	7	Выход в	Т. пл. в °C	вычис-	найдено	вычис-	найдено	вычис-	найдено
н	(a)	15,5	75—78	70,20	70, 15	5,87	5,45	5,41	5,10
C <sub>6</sub> H <sub>5</sub>	(6)	36,3	75—80	75,63	75,26	5,74	5,57	4,19	3,95
COOCH3	(6)	22,0	105—110	64,75	64,55	5,43	5,47	4,44	4,48
COOC <sub>2</sub> H <sub>5</sub>	(B)	71,2	110	65,67	65,34	5,81	6,01	4,25	4,52
CH2CH2CN	(a)	71,2	75—80	69,62	69,49	5,84	6,27	9,02	9,18
CH <sub>2</sub> CH <sub>2</sub> COOCH <sub>3</sub>	(r)	11,81	78—80	66.46	66,88	6,13	6,50	4,34	9,28

а. Выделили из смеси бензол—гексан. б. Чистый продукт получили растворением реакционной смеси в щелочи и последующим подкислением. в. Перекристалливовали из  $50^{\circ}/_{0}$  уксусной кислоты. г. Закристаллизовалась в эфире.

H 5,35; N 5,54.  $C_{14}H_{13}NO_8$ . Вычислено %: С 66,37; H 5,80; N 5,34.  $v_{C=O~(3NH3H)}$  1650—1660  $c_M^{-1}$ ,  $v_{C=O}$  1720  $c_M^{-1}$ ,  $v_{OH}$  3100—3330  $c_M^{-1}$ .

Взаимодействие 1-метилен-N-ацетил-1,2,3,4-тетрагидроизохинолина с фумаровой кислотой. Нягревали при 130—150° 2,5 часа смесь 1,87 г (0,01 моля) 1-метилен-N-ацетил-1,2,3,4-тетрагидроизохинолина и 1,74 г (0,015 моля) фумаровой кислоты. Реакционную смесь, сильно пахнущую уксусной кислотой, обработали так же, как и в предыдущем опыте. Выход 0,7 г 5,6-дигиоробенз(g)пирроколин-3(2H)-он-2-уксусной кислоты с т. пл. 190—195°. Найдено  $^{0}$ /<sub>0</sub>: С 66,00; Н 5,93; N 5,38. С<sub>14</sub>H<sub>13</sub>NO<sub>3</sub>. Вычислено  $^{0}$ /<sub>0</sub>: С 66,37; Н 5,80; N 5,34.  $^{v}$ <sub>С—О (амили.)</sub>  $^{v}$ 1640—1650  $^{v}$ 6.  $^{v}$ 7,  $^{v}$ 7 1715  $^{v}$ 7 20  $^{v}$ 8 3100—3300  $^{v}$ 7 20  $^{v}$ 8 100—3300  $^{v}$ 8 3100—3300  $^{v}$ 9 3

Взаимодействие 1-бензил-3,4-дигидроизохинолина с фумаровой кислотой. Из 2,21-г (0,01 моля) 1-бензил-3,4-дигидроизохинолина и 1,16 г (0,01 моля) фумаровой кислоты получили при двухчасовом нагревании при 150° и вышеописанной обработке 4,9 г 1-фенил-5,6-дигидробенз(g)пирроколин-3(2H)-он-2-уксусной кислоты с т. пл.  $90-92^{\circ}$  (с разложением). Найдено %0: С 75,36; Н 4,94; N 4,17.  $C_{20}H_{17}NO_{3}$ . Вычислено %0: С 75,23; Н 5,37; N 4,36.

УС-0 (амиди.) 1650 см-1, УС-0 1690-1730 см-1, УОН 3100-3300 см-1

Взаимодействие 1-бензилиден-N-ацетил-1,2,3,4-тетрагидроизо-хинолина с фумаровой кислотой. При нагревании до 130° в течение 2 часов исходных компонентов в эквимолекулярных количествах выделили 1-фенил-5,6-дигидробенз(g)пирроколин-3(2H)-он-2-уксусную кислоту с т. пл. 90—92°. Найдено  $^{0}$ <sub>0</sub>: С 74,81; Н 5,15; N 4,18.  $^{0}$ <sub>20</sub>H<sub>17</sub>NO<sub>3</sub>. Вычислено  $^{0}$ <sub>0</sub>: С 75,28; Н 5,37; N 4,36.

Взаимодействие 1-бензил-3,4-дигидроизохинолина с цитраконовой кислотой. 2,21 г (0,01 моля) 1-бензил-3,4-дигидроизохинолина и 1,3 г (0,01 моля) цитраконовой кислоты нагревали 3 часа при 130°. Наблюдали выделение воды. Образовавшуюся стекловидную прозрачную массу растворили в теплом  $10^{0}/_{0}$ -ном растворе едкого натра и осадили соляной кислотой 5,6-дигидробенз(g)-1-фенилпирроколин-3(2H)-он-2(1'-метил)уксусную кислоту в виде желтых хлопьев, которые после высушивания превращаются в желтый порошок. Выход после второго переосаждения 2,25 г, т. пл.  $95-100^{\circ}$  (со вспениванием). Найдено  $^{0}/_{0}$ : С 75,95; Н 6,24; N 4,04.  $C_{21}H_{19}O_{3}N$ . Вычислено  $^{0}/_{0}$ : С 5,63; Н 75,74; N 5,74; N 4,19.

V<sub>G=0</sub> 1710 см<sup>-1</sup>, V<sub>OH</sub> 3100-3300 см<sup>-1</sup>, V<sub>G=0</sub> (эмили.) 1650 с.и<sup>-1</sup>.

Взаимодействие 1-бензил-3,4-дигидроизохинолина с броммалеиновой кислотой. 2,2 г (0,01 моля) 1-бензил-3,4-дигидроизохинолина и 1,95 г (0,01 моля) броммалеиновой кислоты нагревали 0,5 часа при 110—120°. Образовавшуюся смолообразную массу растворили в абсолютном спирте и медленно, при перемешивании прикапали к абсолютному эфиру. После вторичного переосаждения выделили 0,65 г 5,6-дигидробенз(g)-1-фенилпиррожолин-3(2H)-эн-2-(1'-бром)уксусной кислоты, имеющий т. пл. 180°. Найдено  $^{0}$ /<sub>0</sub>: Br 20,25; N 3,90.  $C_{19}H_{16}O_{3}NBr$ . Вычислено  $^{0}$ /<sub>0</sub>: Br 20,34; N 3,55.  $^{0}$ /<sub>С=0</sub> 1720 см<sup>-1</sup>,  $^{0}$ /<sub>ОН</sub> 3100—3300 см<sup>-1</sup>,  $^{0}$ /<sub>С=0</sub>  $^{0}$ (вмидн.)  $^{0}$ 1650 см<sup>-1</sup>.

2(1'-Карбоксиметилен) -5,6-дигидробенз(g)пирроколин-3 (2H)-он. При длительном стоянии 1-карбэтокси-, а также 1-карбметокси-5,6-дигидробенз(g)пирроколин-3(2H)-он-2 уксусных кислот образуется синяя

смола, растворимая в спирте. При смешении спиртовых растворов с пятикратным объемом воды оседают синие кристаллы.

- а) Из 1-карбметокси-5,6-дигидробенз(g) пирроколина получено вещество с т. пл.  $165-170^\circ$ . Найдено  $^0/_0$ ; С 68,18; Н 4,57; N 5,40 С  $_{14}$ Н $_{12}$ NO $_3$ . Вычислено  $^0/_0$ : С 68,88; Н 4,59; N 5,80.  $^0/_{C=0}$  (амили.) 1680-1690 с.ж $^{-1}$ ,  $^1/_{C=0}$  1715—1720 с.ж $^{-1}$ ,  $^1/_{OH}$  3100—3300 с.ж $^{-1}$ .
- б) Из 1-карбэтокси-5,6-дигидробенз(g)пирроколин-3(2H)-он-2-уксусной кислоты получено вещество с т. пл. 170°.  $\nu_{C=0}$  (виния.) 1690с  $m^{-1}$ .  $\nu_{C=0}$  1715 с $m^{-1}$ ,  $\nu_{OH}$  3100—3300 с $m^{-1}$ . Найдено  $^{0}$ / $_{0}$ : С 68,47; Н 4,20; N 5,24.  $C_{14}$   $I_{11}$   $NO_{3}$ . Вычислено  $^{0}$ / $_{0}$ : С 68,8;  $I_{14}$ ,59; N 5,80.

Институт органической химии АН АрмССР

Поступнао 26 VII 1966

# 1\_ՄԵԹԻԼ\_3,4\_ԴԻՀԻԴՐՈՒԶՈԽԻՆՈԼԻՆԻ ՄԵԹԻԼԱՅԻՆ ԽՄԲԻ ԱԿՏԻՎՈՒԹՅԱՆ ՄԱՍԻՆ

1. 5,6-ጥረኮጥቦበዶቴኒg(g) ՊኮՐՈԿՈԼԻՆԱՑԻՆ ՇԱՐՔԻ ՄՈՆՈ- ԵՎ ԴԻԿԱՐԲՈՆԱԹԹՈՒՆՆԵՐԻ ՍԻՆԹԵԶ

Ս. Գ. ԱՂՐԱԼՑԱՆ, Լ. Ա. ՆԵՐՍԵՍՑԱՆ և Ա. Օ. ՆՇԱՆՑԱՆ

# Udhnhintd

Ուսումնասիրված է մալհինախթվի, բրոմմալհինաթթվի և ցիտրակոնալին անհիդրիդների հետ 3,4-դիհիդրոիզոխինոլինալին շարքի որոշ ենամինների ռեակցիան։

8ուլց է տրված, որ ռեակցիալի հետևանքով ստացվում են համապատասխանաբար 1-տեղակալված 5,6-դիհիդրո-բենզ(g)-պիրոկոլին-3(2H)-ոն-2-ջացախաթթու, 5,6-դիհիդրոբենզ(g)-պիրոկոլին-3(2H)-ոն-2(1'-բրոմ)ջացախաթթու և 5,6-դիհիդրոբենզ(g)-պիրոկոլին-3(2H)-ոն-2(1'-մեթիլ) ջացախաթթու։

Սինթեզված թթուների կառուցված ըր հասապահըու համար նրանցից մի քանիսն ստացված են 1-տեղակալված 3,4-դիհիդրոիզոխինոլինների և մալեինաթթվի, բրոմմալեինաթթվի և ցիտրակոնալին թթվի փոխազդեցությամբ։

## ЛИТЕРАТУРА

- 1. E. C. Taylor, E. Smakula Hand, J. Am. Chem. Soc., 85, 770 (1963).
- 2. E. C. Taylor, G. W. H. Cheesemann, J. Am. Chem. Soc., 86, 1830 (1964).
- 3. G. W. H. Cheesemann, B. Tuck, J. Org. Chem., 30, 3679 (1965).
- 4. A. Schönberg, A. Mostafa, J. Chem. Soc., 1943, 654.
- 5. С. Г. Агбалян, Л. А. Нерсесян, Ж. А. Ханамирян, Арм. хим. ж., 20, 45 (1967).
- 6. С. Г. Агбалян, Л. А. Нерсесян, А. В. Мушегян, Изв. АН АрмССР, XH, 18, 204 (1965).
- 7. С. Г. Агбалян, Л. А. Нерсесян, Изв. АН АрмССР, ХН, 17, 562 (1964).

XX, № 6, 1967

## химическая технология

УДК 54-145.16+546.284-325+553.55

# КАУСТИФИКАЦИЯ ЩЕЛОЧНО-КРЕМНЕЗЕМИСТЫХ РАСТВОРОВ

# III. КАУСТИФИКАЦИЯ ЩЕЛОЧНО-КРЕМНЕЗЕМИСТЫХ РАСТВОРОВ ОБОЖЖЕННЫМ ИЗВЕСТНЯКОМ

## Г. Г. МАРТИРОСЯН и Г. О. ГРИГОРЯН

Изучена зависимость степени каустификации щелочно-кремнеземистого раствора известью от температуры процесса и условий обжига известняка. Химическим, рентгенофазовым, термическим и кристаллооптическим анализами изучена зависимость составов получаемых соединений от концентрации Na<sub>2</sub>O в исходном растворе, температуры и продолжительности процесса. Установлено, что максимальная степень каустификации достигается при использовании извести, полученной двухчасовым обжигом араратского известняка при 1100°. Повышение температуры процесса каустификации до 80° приводит к возрастанию степени каустификации до максимальной. Определены пределы концентрации раствора по Na<sub>2</sub>O, температура и экспозиция процесса, при которых в результате каустификации образуется натрий-кальциевый гидрометасиликат.

В работе [1] было показано, что при каустификации щелочно-кремнеземистых растворов окисью магния получается  $MgSiO_3 \cdot H_2O$ , который в исследуемых условиях (при температуре до  $350^\circ$ , концентрации раствора по  $Na_2O$  ( $K_2O$ ) до  $250\ z/n$  и экспозиции до 60 мин.) не взаимодействует со щелочью. При каустификации щелочно-кремнеземистых растворов гидроокисью кальция при температурах выше  $120^\circ$  [2,3] образуется натриево-кальциевый силикат. Известно также, что гидрометасиликат кальция при обработке едким натром переходит в  $CaNa[HSiO_4]$  [4].

Однако, зависимость образования натрий-кальциевого гидросиликата от концентрации щелочи в исходном растворе, температуры и продолжительности процесса исследована недостаточно подробно. Не изучено также влияние условий обжига известняка и температуры опыта на степень каустификации щелочно-кремнеземистого раствора. Различные исследования, ставившие целью установление оптимальной температуры обжига известняка для получения активной извести, дали различные результаты (от 900 до 1250°) [5].

Целью настоящей работы является систематическое изучение каустификации щелочно-кремнеземистых растворов как с точки зрения установления технологических условий получения метасиликата кальция, так и выяснения некоторых вопросов принципиального значения.

## Экспериментальная часть

Известь для опыта была получена обжигом араратского известняка, содержащего  $98^{0}/_{0}$  CaCO<sub>3</sub> и  $2^{0}/_{0}$  примесей (MgCO<sub>3</sub>+SiO<sub>2</sub>+R<sub>2</sub>O<sub>3</sub>), со средним диаметром частиц 0,5 мм в электрической трубчатой печи, в кварцевой трубке (d = 40 мм, l = 250 мм).

Нагрев до требуемой температуры проводился в течение одного аса с последующей двухчасовой выдержкой при температурах 600, 700, 800, 900, 950, 1000, 1100°. В обожженном известняке было определено количество окиси кальция — общей и активной — комплексометрическим [6] и сахаратным [7] методами.

В опытах, относящихся к зависимости степени каустификации от условий обжига известняка и к влиянию температуры опыта на степень каустификации, использовался раствор следующей концентрации (z/a):  $Na_2O_{\kappa ayct.} - 63,55$ ;  $Na_2O_{\kappa ap6.} - 6,2$ ;  $SiO_2 - 41,6$ . А в опытах, определяющих влияние концентрации  $Na_2O$  в исходном растворе, температуры и продолжительности процесса каустификации на состав осадка, использовались растворы с соотношением  $Na_2O/SiO_2$  от 1 до 5, при постоянной концентрации  $SiO_2$  ( $\sim 50$  z/a).

Опыты по определению зависимости скорости каустификации от температуры и продолжительности обжига известняка проводились в литровом реакторе при температуре 80° и продолжительности два часа; остальные опыты — в полулитровом автоклаве при общей экспозиции 1,5 часа и экспозиции при исследуемой температуре 20 минут. Пульпа после необходимой выдержки в автоклаве сразу же фильтровалась, осадок семикратно промывался водой (t=80°) путем репульпации при Ж: T = 10:1 (продолжительность репульпации — 5 мин.) и фильтрации. Осадки, полученные после промывки и сушки при 110°, для отличия от остальных осадков, называемые готовым продуктом, а также осадки до промывки подвергались химическому анализу. Содержание химически связанной воды определялось по разнице между п.п.п и СО2 в высушенном при 110° осадке. Содержание Na2O в осадке определялось методом пламенной фотометрии. Проводились рентгенометрические, термические и кристаллооптические исследования осадков.

Зависимость степени каустификации от температуры и продолжительности обжига известняка. Результаты опытов по обжигу известняка приведены на рисунках 1 (кр. 1, 3) и 2 (кр. 1, 2, 3, 4). Как следует из полученных данных, известняк не разлагается при температуре до 800°, при 900° разлагается медленно (за 2 часа СаО акт. 50°/0), а при 1100° разложение практически заканчивается за час (СаО акт.=94,5°/0). Полученные образцы были использованы для каустификации щелочно-кремнеземистого раствора. Обожженный известняк брался из расчета 1 моль СаО общ. на 1 моль SiO<sub>0</sub>.

Как следует из данных, приведенных на рисунке 1, количество активной СаО в обожженном известняке и скорость каустификации (кр. 3 и 2) растут с увеличением температуры обжига до 1100°. Про-

должительность обжига известняка также значительно влияет на степень каустификации; так, увеличение продолжительности обжига (до 6 часов) при температурах ниже 1100° приводит к возрастанию степени каустификации (рис. 2, кр. 5), а при 1100° (более двух часов) — к уменьшению (рис. 2, кр. 6).

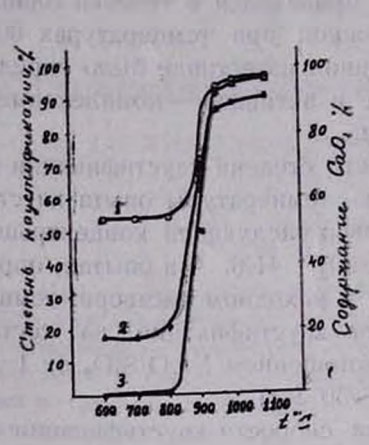


Рис. І. Зависимость изменения содержания общей и активной СаО в обожженном известняке и степени каустификации щелочно-кремнеземистого раствора от температуры обжига известняка. (1 — СаО общ.; 2 — степень каустификации, 3 — СаО акт.).

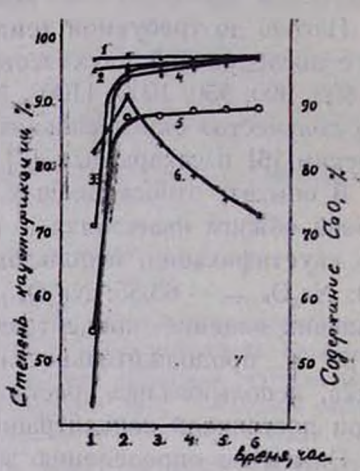


Рис. 2. Зависимость содержания общей и активной СаО в обожженном известняке и степени каустификации от продолжительности обжига известняка, при 950 и 1100°С. (*I*—СаО общ. при 1100°, 2—СаО общ. при 950°, 4—СаО акт. при 950°, 5—степень каустификации известью, обоженной при 950°, 6—степень каустификации известью, обожженной при 1100°.

Повышение температуры обжига (>1100°) приводит к увеличению плотности извести и уменьшению степени деформации кристалической решетки извести [5], чем и объясняется снижение степени каустификации.

Из приведенных данных следует, что максимальная степены каустификации достигается при использовании извести, полученной двухчасовым обжигом араратского известняка при 1100°.

Хотя при температуре обжига 800° СаО акт. в обожженном известняке составляет всего 1,3°/0, она каустифицирует раствор на 20°/0 (рис. 1). В данном случае процесс каустификации осуществляется гидроокисью кальция, образующейся по следующей реакции:

$$CaCO_3 + 2NaOH = Ca(OH)_2 + Na_2CO_3$$
.

Этот факт подтверждается тем, что в опытах, проведенных и собожженным (при 600-800°, рис. 1, кр. 2), и с необожженным из-

вестняком (табл. 1) степень каустификации практически одинакова, а содержание Na<sub>2</sub>CO<sub>3</sub> в реакционной среде в течение опытов повышается от 14,93 до 33,7 г/л.

Таблица I Взаимодействие щелочно-кремнеземистого раствора (Na<sub>3</sub>O кауст. — 63,55; Na<sub>2</sub>O карб. — 6,2; SiO<sub>2</sub> — 41,6 z/л) с необожженным известняком

2	~	-		Co	став фи	льтрат	a, z/A	C	остав с	садка,	0/0
Количество раствора, м	Количество известняка,	Температура опыта, °С	Продолжи- тельность опыта, час	Nа,О кауст.	Na2O Kap6.	SiO3	Степень каустифи- кации, °/о	CaO	SIO,	00	Молярнос отношение СаО/SiO <sub>3</sub>
300	21,3	80	2	55,02	13,95	33,1	20,4	41,42	13,8	30,1	3,21

Расчет на основании данных, приведенных в таблице 2, показывает, что при каустификации щелочно-кремнеземистого раствора необожженным известняком при данных условиях из общего количества окиси кальция  $31,2^{0}$ /0 связываются с  $$iO_{2}$ , а  $68,8^{0}$ /0 остаются связанными с  $CO_{2}$ .

Влияние температуры опыта на степень каустификации. Изучена степень каустификации щелочно-кремнеземистого раствора указанного состава в интервале температур 25—150°. В опытах были использованы: известь марки "ЧДА", известь, полученная в электропечи при 950°, и на заводе — (в шахтных печах) с целью установления влияния способа получения извести на степень каустификации. Количество извести для опыта определялось по содержанию активной окиси кальция.

Как следует из данных, приведенных на рис. 3, повышение температуры процесса приводит к увеличению степени каустификации.

При использовании реактивной извести максимальная степень каустификации достигается при 80°; дальнейшее повышение температуры существенного влияния не оказывает.

Образцы извести, полученные из араратского известняка в лабораторных и промышленных условиях, активны практически одинаково (кр. 2, 3).

Повышенная степень каустификации при использовании реактивной извести (кр. 1) объясняется высокой дисперсностью последней (судя по размеру частиц извести).

Влияние концентрации Na<sub>2</sub>O в исходном растворе, температуры и продолжительности процесса каустификации на состав получаемых соединений. Опыты проводились при температурах от 80 до 250°. Использовалась окись кальция марки "ЧДА".

Результаты химических анализов (рис. 4) показывают, что при постоянной экспозиции повышение температуры процесса и концентрации в исходном растворе приводит к увеличению количества Na<sub>2</sub>O в готовом продукте, причем влияние изменения температуры значи-

Состав осадка до и после промывки в зависимости от условий опыта

	Концен нсходно створ	oro pa-	rypa	Cod	тав фил	ьтрата			Coc	тав	осад	цка,	°/d		e cootho- aO/SiO <sub>2</sub>
N OILSTR	Na <sub>2</sub> O oбіц.	SiO <sub>3</sub>	Температура: опыта, °С	Na <sub>2</sub> O общ., г/л	SIO <sub>2</sub> ,	степень каустифи- кации, <sup>0</sup> / <sub>d</sub>	Cab	SiO,	Na <sub>2</sub> O	R <sub>2</sub> O <sub>3</sub>	nnn	CO <sub>2</sub>	сумыя	влага	Молярное соотно- шение CaO/SiO <sub>2</sub> в осадке
	100		T.			3-11/2		3 1	. д	o t	p o	и ы	вки		
1	51,15	50,68	80	45,7	1,32	97,3	38,06	38,62	8,2	0,51	14,34	0,51	99,63	33,4	1,05
	3			1					по	сле	π	p o y	1 P1 B 2	c 11	
3 4	9				7		40,90	43,82	0,20	0,50	14,0	0,50	99,42	49,2	1,0
-	133				3 3					0	про	и ы	вки		
2	248,0	50,00	200	215,45	1,26	97,5	32,95	34,56	21,8	0,8	9,44	2,0	99,55	-	1,02
	3								по	сле	n	роз	ыыв	ки	1
	200		18	1 2 4		-31/4	34,60	37,2	18,4	0,55	9,0	1,86	99,75	-	1,0

тельно заметнее при высоких концентрациях по  $Na_2O$ . Так, при каустификации раствора концентрацией  $(z/\pi)$   $Na_2O-51,15$ ,  $SiO_3-50,68$  с повышением температуры от 80 до  $250^\circ$  содержание  $Na_2O$  в готовом продукте возрастает в 3,7 раза (рис. 4, кр. 5), а при концентрации

исходного раствора Na<sub>3</sub>O—248,0, SiO<sub>3</sub>—50,0 количество Na<sub>3</sub>O в готовом продукте возрастает примерно в 34 раза (рис. 4, кр. 1). Из данных анализов (табл. 2) видно, что осадок, полученный каустификацией растворов сравнительно низкой концентрации, при низких температурах, до и после промывки

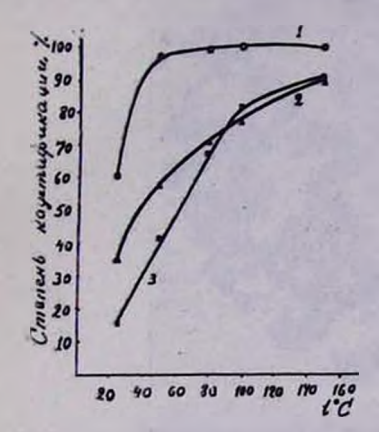


Рис. 3. Зависимость степени каустификации от температуры процесса и способа получения известь. (1 — реактивная известь, 2 — известь, обоженная при 950°, 3 — известь, обожженная в заводских условиях).

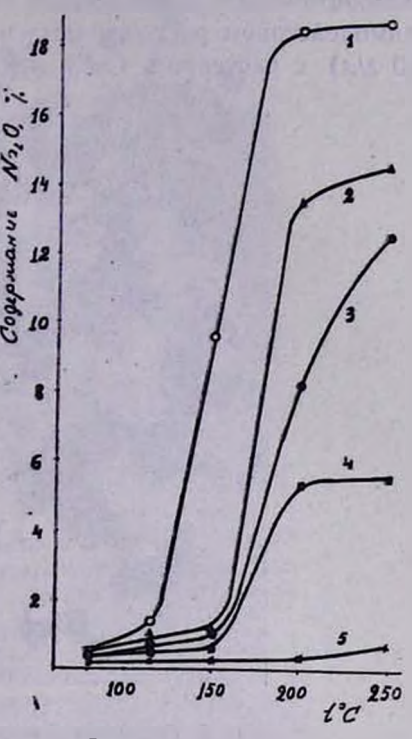


Рис. 4. Зависимость изменения содержания Na<sub>2</sub>O в осадке после промывки и сушки от концентрации Na<sub>2</sub>O в исходном растворе и температуры опыта. (Концентрация исходных растворов (z/a): I—Na<sub>2</sub>O общ.—248.0. SiO<sub>2</sub>—50,0. 2—Na<sub>2</sub>O общ.—200,3. SiO<sub>2</sub>—49,9: 3—Na<sub>2</sub>O общ.—142,6, SiO<sub>2</sub>—48,65. 4—Na<sub>2</sub>O общ.—101,9, SiO<sub>2</sub>—50,6. 5—Na<sub>2</sub>O общ.—51,15, SiO<sub>2</sub>—50,68).

представляет собой CaO·SiO $_{2}$ ·H $_{2}$ O; осадки же, полученные при высоких температурах из растворов высоких концентраций по Na $_{2}$ O·Na $_{2}$ O·2CaO·2SiO $_{2}$ ·H $_{3}$ O.

Эти результаты были подтверждены рентгеноструктурными анализами. Межплоскостные расстояния самых интенсивных линий осадков, полученных каустификацией растворов низкой концентрации по Na<sub>2</sub>O при низких температурах, равны 3,2854, 3,013 Å до промывки и 3,267, 2,998 Å— после промывки, и для осадков, полученных из растворов высокой концентрации по Na<sub>2</sub>O при высоких температурах,

равны 3,759, 2,823, 2,675 Å, до промывки, и 3,811, 2,811, 2,685 Å после промывки. Они идентичны с данными Тило [4]. Вышеизложенное подтверждается также термическими и оптическими анализами. Кристаллооптические исследования показывают, что осадки, полученные взаимодействием раствора метасиликата натрия ( $Na_2O - 50,0$ ;  $SiO_2 - 50,0$  с раствором  $CaCl_2$ , а также с окисью кальция при  $80^\circ$ ,

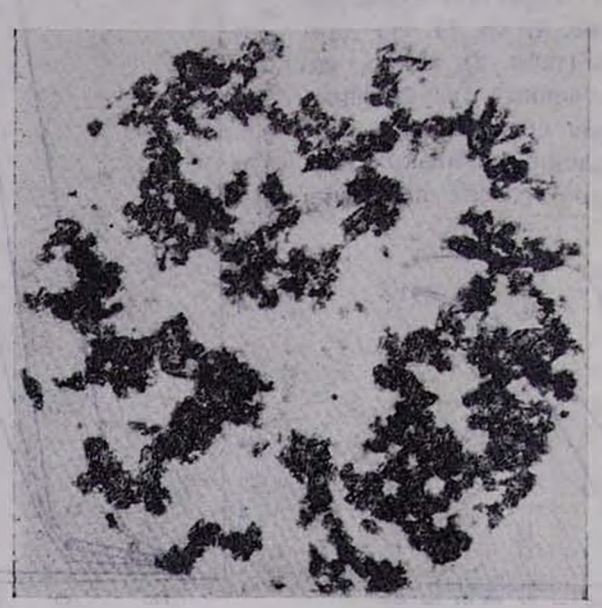


Рис. 5. Гидрометасиликат кальция, полученный взаимодействием растворов метасиликата натрия ( $Na_2O$ —50,0 z/A;  $SiO_2$ —50,0 z/A) и хлористого кальция при 80°С. Проходящий свет, х 200.

после промывки (рис. 5, 6) идентичны. Около  $50^{\circ}/_{0}$  массы составляют бесформенные зернистые кристаллы бесцветного минерала, обладающие очень высоким двупреломлением, а вторая половина представлена аморфными зернами буроватого цвета. Осадок, полученный при взаимодействии щелочно-кремнеземистого раствора (Na<sub>2</sub>O — 248 z/x; SiO<sub>2</sub> — 50 z/x) с окисью кальция при  $200^{\circ}$ , после промывки состоит из короткопризматических бесцветных, сравнительно крупных кристаллов с очень высоким двупреломлением (рис. 7).

Определялись также показатели преломления некоторых осадков после промывки и сушки (табл. 3). Для первой пробы определены Ng и Np, для остальных, вследствие мелкодисперсности их, только N.

Как показывают данные, приведенные в таблице 3, с повышением температуры и концентрации щелочи в исходном растворе показатель преломления возрастает.

Термические исследования показывают, что гидрометасиликат кальция, полученный при низких температурах из щелочно-кремнеземистых растворов низкой концентрации по Na<sub>2</sub>O (рис. 8), при на-

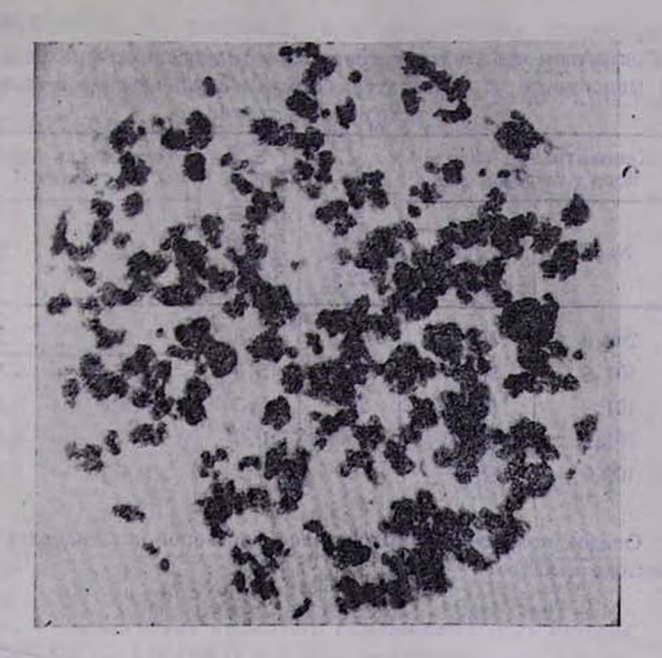


Рис. 6. Гидрометасиликат кальция, полученный каустификацией раствора метасиликата натрия ( $Na_2O-50\ z/a$ ,  $SIO_2-50.0\ z/a$ ) окисью кальция при  $80^\circ$ . Проходящий свет, х 200.

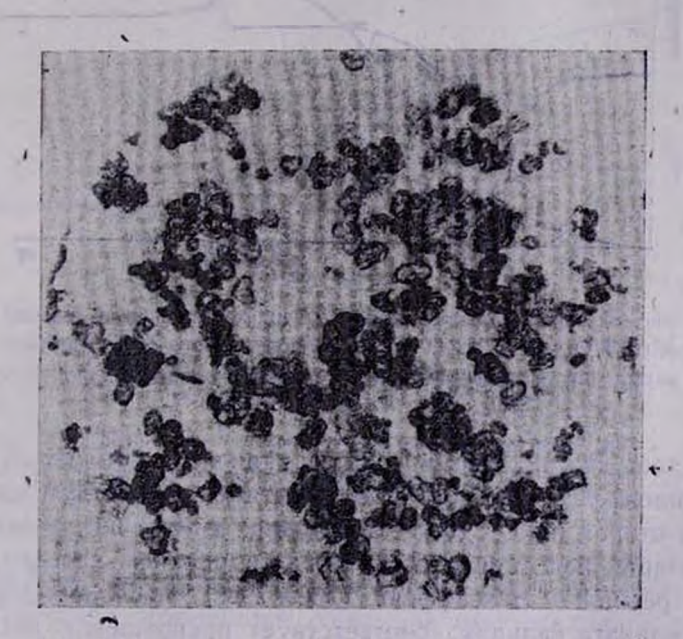


Рис. 7. Натрий-кальциевый гидросиликат, полученный каустификацией щелочно-кремнеземистого раствора (Na<sub>2</sub>O — 248,0 г/л. SiO<sub>2</sub> — 49,98 г/л), окисью кальция при 200°. Проходящий свет, х 200.

Таблица 3

Показатели преломления кристаллов гидросиликата кальция в зависимости от температуры опыта и концентрации щелочи в исходном растворе

	Концентрац ного раст		ed do	ние осадке оокыв-	Показател нак	
Ne Ne n/n	Na <sub>2</sub> O	SiO <sub>2</sub>	Температ	Содержание Na <sub>2</sub> O в осад после промы кн, <sup>0</sup> / <sub>0</sub>	Ng	Np
1	248,0	49,98	150	16,5	1,570	1,552
2	101,9	50,63	250	5,5	1,564 -	- 1,567
3	101,9	50,63	200	5,39	1,540 -	- 1,543
4	101,9	50,63	80	0,6	1,534 -	- 1,537
5*	100,0	98,5	80	0,2	1,477 -	- 1,479

Осадок получен взаимодействием растворов метасилижата натрия и хлористого кальция.

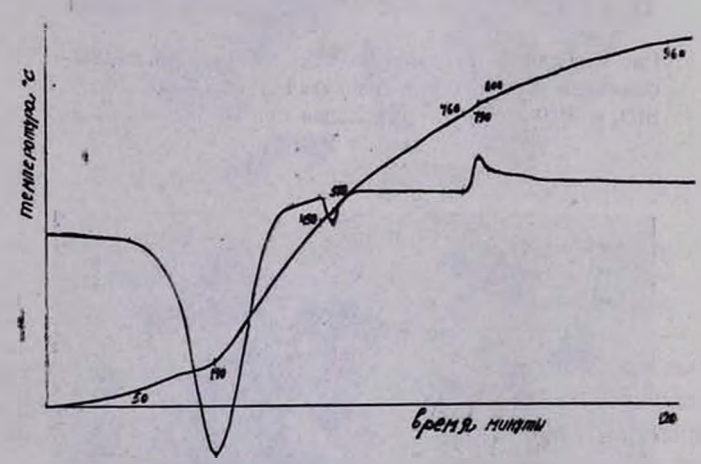


Рис. 8. Термограмма промытого гидрометасиликата кальция (CaO/SiO<sub>2</sub> — 1,0; Na<sub>2</sub>O — 0,73°/<sub>0</sub>), полученного при каустификацин щелочно-кремнеземистого раствора (Na<sub>2</sub>O — 50,0  $z/\pi$ ; SiO<sub>2</sub> — 50,0  $z/\pi$ ) известью при 80°.

гревании дает два эндотермических и один экзотермический эффекты. Первый эндоэффект (50—140°) соответствует выделению адсорбционной воды, второй (490—510°) — выделению химически связанной воды и дегидратации некоторого количества гидроокиси кальция, не вступившей в реякцию. Экзоэффект (760—790°), наиболее характерный для метасиликата кальция, соответствует превращению последнего в волластонит.

С увеличением концентрации щелочи в исходном растворе и температуры опыта (рис. 9, 10) картина меняется: второй эндоэффект продвигается в сторону высоких температур, а экзоэффект посте-

пенно уменьшается и, наконец, при отсутствии гидрометасиликата кальция в том же температурном интервале наблюдается эндоэффект, который, по-видимому, соответствует разрушению кристаллической решетки натрий-кальциевого гидрометасиликата.

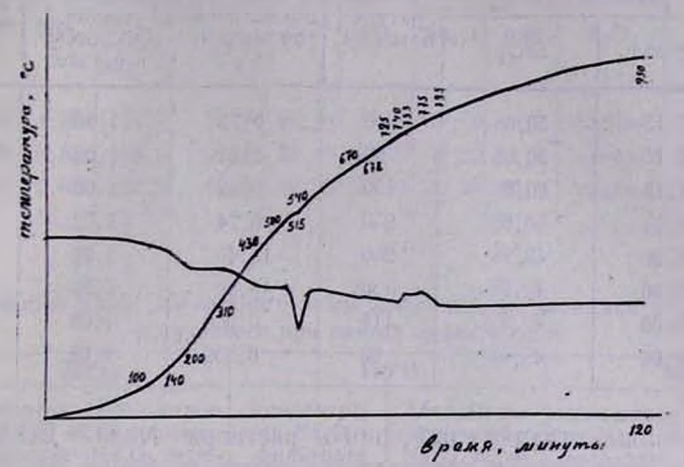


Рис. 9. Термограмма промытого гидрометасиликата кальция  $(CaO/SiO_2 - 1.04: Na_2O - 4.50/o)$ , полученного при каустификации щелочно-кремнеземистого раствора  $(Na_2O - 101.9 \ z/a; SiO_2 - 50.6 \ z/a)$  известью при 250°.

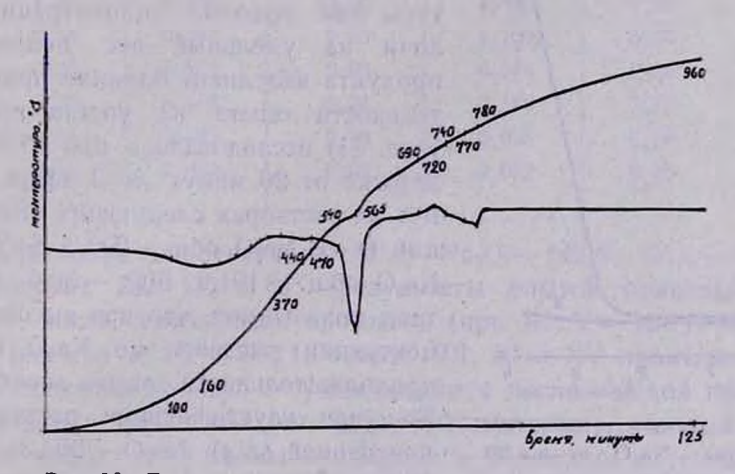


Рис. 10. Термограмма промытого кальций-натриевого гидросиликата (CaO/SiO $_2$  — 1,1, Na $_2$ O — 11,0°/ $_0$ ), полученного при каустификации раствора (Na $_2$ O — 142,6 г/ $_$ A, SiO $_2$  — 48,65 г/ $_$ A) известью при 250°.

В зависимости от температуры процесса и концентрации щелочи в исходном растворе изменяются удельные веса осадков после промывки (табл. 4). Так, с повышением температуры процесса от  $80^\circ$  до  $250^\circ$  при концентрации исходного раствора  $\mathrm{Na_2O}-51,15\ z/\alpha;\ \mathrm{SiO_2}-50,68\ z/\Lambda$  удельный вес осадка возрастает от 1,7054 до  $2,2497\ z/cM^3$  (1,32 раза).

Таблица 4

Зависимость удельного веса осадка от температуры опыта и концентрации щелочи в исходном растворе

n/n	Концентрация раствор		Темпе-	Содержание Na <sub>2</sub> O в	Молярное соотно-	Удельный вес промы-
New Services	Na <sub>2</sub> O общ.	SiO <sub>2</sub>	ратура опыта, °С	осадке после промывки, <sup>0</sup> / <sub>0</sub>	шение CaO/SiO <sub>2</sub> в осадке	того осадка, г/см <sup>3</sup>
1	51,15	50,68	80	0,73	1,00	1,7054
2	51,15	50,68	80	0,24	1,06	1,7090
3	51,15	50,68	150	0,29	1.00	1,9311
4	51,15	50,68	250	0,74	1,02	2,2497
5	248,00	49,98	200	19,40	1,00	2,5341
6	248,00	49,98	150	16,50	0,99	2,3699
7	248,00	49,98	115	0,566	1,00	2,3549
8	248,00	49,98	80	0,539	1,05	2,3500

При концентрации исходного раствора  $Na_2O-248.0$ ;  $SiO_2-49.98~z/\varLambda$  с повышением температуры опыта от 80 до 200° удельный

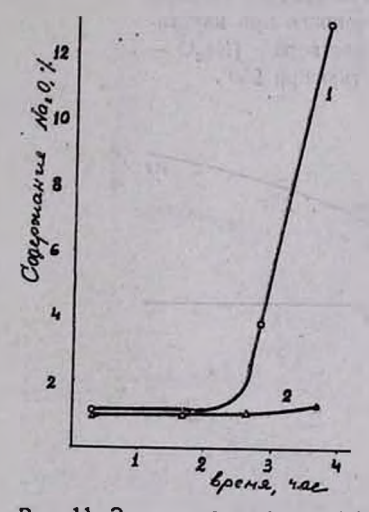


Рис. 11. Зависимость изменения содержания  $Na_2O$  в осадке (после промывки и сушки) от продолжительности опыта при 150°С. Концентрация исходных растворов ( $\epsilon/a$ ):  $I-Na_2O$  общ.— 200,3,  $SiO_2-49$ ,9  $2-Na_2O$  сбщ.— 101,9,  $SiO_3-50$ ,6.

вес полученного продукта возрастает от 2,3500 до 2,5341 г/см³ (1,08 раза).

Таким образом, влияние температуры при высоких концентрациях щелочи на удельный вес полученного продукта невелико. Влияние продолжительности опыта на состав продукта (рис. 11) исследовалось при 150° и выдержке от 20 минут до 3 часов 50 минут на растворах следующих концентраций (г/л): Na<sub>2</sub>O общ. -200,3; SiO<sub>2</sub>-49,9;  $Na_2O$  общ. — 101,9,  $SiO_2 = 50,6$ . Результаты показывают, что при высокой концентрации раствора по Na<sub>2</sub>O влияние продолжительности опыта значительно. Так, при каустификации раствора концентрацией (г/л) Na<sub>2</sub>O - 200,3; SiO<sub>3</sub> -49,9 с увеличением продолжительности до 2 часов содержание Na<sub>2</sub>O в готовом продукте не превышает 1,15%, с увеличением продолжительности от 2,6 до 3,8 часов оно повышается в 7,17 раз (от 1,8 до 12,9°/<sub>0</sub>). При каустификации

раствора концентрации ( $z/\Lambda$ ) Na<sub>2</sub>O — 101.9 SiO<sub>2</sub> — 50,6 повышение продолжительности заметного эффекта не производит.

Для установления устойчивости связи между Na<sub>2</sub>O и CaSiO<sub>3</sub>·H<sub>2</sub>O в зависимости от температуры опыта осадок, полученный каустифи-

Таблица 5 Состав осадков, полученных при различных температурах

r ba	Соста	в филі г/л	ьтрата,		Сост	ав осад	цка до	промы	вки, <sup>0</sup> / <sub>0</sub>	1114	е :ние
Температура опыта, "С	Na <sub>2</sub> O общ.	SIO <sub>2</sub>	степень каусти- фика- ции, <sup>0</sup> / <sub>0</sub>	влаж- ность	CaO	SiO <sub>2</sub>	Na <sub>2</sub> O	ппп	R <sub>2</sub> O <sub>3</sub>	сумив	Молярное соотноше СвО/SIO <sub>2</sub>
250	122,14	1,20	97,7	53,14	29,40	28,60	32,10	9,8	следы	99,9	1,09
115	128,26	0,85	98,2	69,2	23,40	24,50	40,20	11,6	следы	99,7	1,02
80	132,52	0,67	98,5	69,5	24,25	25,44	40,00	10,3	следы	99,99	1,02

Таблица 6 Количество №20, отмываемого водой после каждой промывки из осадка, полученного при разных температурах

JOK	250	D-C	118	5°C	80	°C
жимоди жүзү	Концентра- ция Na <sub>2</sub> O в фильтрате после про- мывки, 2/л	Абсолютное количество Na <sub>1</sub> O, переходящей в раствор, 2	Концентрация Na <sub>2</sub> O в фильтрате после промывки, г/л	Абсолютное количество Na <sub>2</sub> O, переходящей в раствор, г	Концентра- ция Na <sub>2</sub> O в фильтрате после про- мывки, г/л	Абсолютное количество Na <sub>2</sub> O, переходящей в раствор, 2
1	6,97	2,020	43,00	12,420	43,01	12,460
2	1,30	0,380	15,50	4,490	15,50	4,500
3	0,68	0,197	5,95	1,720	6,30	1,830
7	0,25	0,072	0,60	0,174	0,36	0,104
8	0,20	0,116	0,31	0,180	0,25	0,144
11	0,15	0,087	0,10	0,058	0,09	0,052 .
15	0,15	0.087	0,09	0,052	0,06	0,034

кацией раствора концентрации (2/л) Na<sub>2</sub>O — 142,6; SiO<sub>2</sub> — 48,65 при температурах 250, 115 и 80° (результаты опытов приведены в таблице 5), после семикратной промывки (при Ж: Т = 10:1) промывали еще 8 раз при Ж: Т = 20:1. После VII, XI и XV промывок определялось содержание Na<sub>2</sub>O в сухом осадке, а после каждой промывки— в фильтрате. Результаты (см. табл. 6) показывают, что из I осадка в течение первых двух промывок, а из II и III осадков в течение 7 промывок Na<sub>2</sub>O выделяется легко, после чего выделение Na<sub>3</sub>O очень замедляется. Суммарное количество Na<sub>2</sub>O, выделенное в результате 15 промывок из осадков, соответственно составляет 3,741; 20,966 и 20,958 г. Несмотря на то, что до промывки содержание Na<sub>2</sub>O в I осадке значительно меньше, чем во II и III (табл. 5), после 15 промывок во II и III осадках количество Na<sub>2</sub>O незначительное, а в I — почти в 70 раз больше (11,0; 0,134 и 0,156%).

По нашему мнению, выделенная сравнительно легко, при начальных промывках (от 1 до 3-7, в зависимости от концентрации

щелочи в исходном растворе и температуры опыта), окись натрия была адсорбирована осадком, а остальное количество ее находится в составе химического соединения и выделяется лишь вследствие гидролиза, проходящего при данных условиях очень медленно.

Количество адсорбционной Na<sub>2</sub>O в I осадке приблизительно в

8 раз меньше, чем во II и III осадках (табл. 6).

Ереванский научно-исследовательский институт химии

Поступило 29 VII 1966

## ՀԻՄՔԱՍԻԼԻԿԱՏԱՅԻՆ ԼՈՒԾՈՒՅԹՆԵՐԻ ԿԱՈՒՍՏԻՖԻԿԱՅՈՒՄ

III. ՀԻՄՔԱՍԻԼԻԿԱՏԱՑԻՆ ԼՈՒԾՈՒՑՔՆԵՐԻ ԿԱՈՒՍՏԻՖԻԿԱՑՈՒՄ ՔՐԾԱԾ ԿՐՈՎ

Գ. Գ. ՄԱՐՏԻՐՈՍՑԱՆ և Գ. Հ. ԳՐԻԳՈՐՅԱՆ

## Ldhnhnid

դաջորևին։ դար տոակզարը վախվագ փսևցի ձրևդտոտիզարին ը վևածաևի հևնգդար տես-Սւոագրասիևը բրճ չիպճառիկիկաստկը, քուգուենրրեն փասւռակֆիկան-

Ուսումնասիրել ենք նաև նատրիում-կալցիումալին սիլիկատի առաջացումը՝ կախված հիմքասիլիկատալին լուծուլԹում հիմքի խտութլունից (50— 250 q/լ Na<sub>3</sub>O), փորձի ջերմաստիճանից (50—250°C) և տևողութլունից (20 րոպե 3 Ժ. 40 րոպե) կատարել ենք ստացված նստվածքների քիմիական, ռենտդենաֆազալին, Թերմիկ և բլուրեղօպտիկական ուսումնասիրութլուններ։

8 տուլց է տրված, որ առավելագուլն կատուստիֆիկացում կարելի է ապահովել Արարատի կրաքարից 1100°-ում 2 ժամ աևողությամբ Թրծումով ստացված կրի օգտագործման դեպքում։ Փորձի ջերմաստիճանի բարձրացումը
ժինչև 80° մեծացնում է կաուստիֆիկացման աստիճանը, ջերմաստիճանի
հետագա բարձրացումը որոշակի փոփոխություն չի առաջացնում։

Որոշված են լուծուլթի կոնցենտրացիալի, փորձի ջերմաստիճանի և տեսղության սահմանները, որոնց դեպքում կաուստիֆիկացման արդյունքում

սատցվում է նատրում-կալցիումալին հիդրոմեԹասիլիկատ։

#### ЛИТЕРАТУРА

1. Г. Г. Мартиросян, Г. О. Григорян, М. Г. Манвелян, ЖПХ, 39, 266 (1966), Г. Г. Мартиросян, Г. О. Григорян, ЖПХ, 40, 36 (1967).

2. М. Г. Манвелян, А. А. Айрапетян, В. Д. Галстян, Изв. АН АрмССР, XH, 14, 15, 113, 237 (1961).

3. М. М. Гольдман, Л. П. Ни, Изв. АН Каз. ССР, серия металлургии обогащения и огнеупоров, вып. 1 (7), 32 (1960).

 Физическая химия силикатов, сборник статей под ред. Н. А. Торопова, ИЛ. Москва, 1956 г.

- К. W. Ruy. F. C. Mather, Ind. Eng. Chem. 20, 415 (1928); H. R. Staley. S. H. Grenfeld, Ind. Eng. Chem. 41, 520 (1949); H. T. Britton, S. J. Gregg, G. W. Winsor, J. Appl. Chem. 2, 693 (1952); П. П. Будников, А. Г. Гулинова, Строительные материалы\*, № 7, 16 (1936); П. П. Будников, А. Я. Заворикин, Известия Иваново-Вознесенского политехнического института, 8, вып. 1, 3 (1924); Г. В. Брусиловский, Производство извести, Госхимиздат, Москва, 1954; П. Н. Григорьев, А. М. Кузнецов, Известь, ее провзводство и применение, Стройиздат, Москва, 1944; И. А. Конопелько, К. И. Беляй, Из зарубежного опыта по обжигу известняка, Стройиздат, Минск, 1960.
- 6. Г. Шварцман, Р. Пршибил, Комплексометрия, Теоретические основы и практические применения, Сборник переводов, Госнауч.-тех. изд. Москва, 1958 г.
- В. А. Воробьев, Технико-химический контроль в производстве извести, Стройиздат, Москва, 1946.

9 4 10 - 1

and the same of th

XX, № 6, 1967

УДК 542.61.3/5+546.212+553.53

# ЭКСТРАКЦИЯ ВОДЫ ИЗ ВОДОСОДЕРЖАЩИХ КИСЛЫХ ВУЛКАНИЧЕСКИХ СТЕКОЛ

м. в. дарбинян и э. Р. СААКЯН

Вода в перлите находится в полостях и каналах его алюмосиликатного каркаса обладающего большой внутренией поверхностью, связана со структурой, подобно цеолитной, обратимо и может быть введена и выведена из структуры без ее разрушения.

Методом экстракции проведена замена воды перлита метиловым и этиловым спиртом. Произведено вспучивание спиртосодержащего перлита и изучена кинетика спиртоотдачи.

Примененные методы определения воды в экстракционных вытяжках: натрийэтилацетатный, при помощи реактива Фишера и при помощи измерения показателя преломления после небольшой методической доработки могут служить методами определения воды в перлите и других породах.

Среди горных пород, используемых в строительстве и промышленности строительных материалов, в последние годы все более широкое применение находит перлит — кислая вулканическая, стекловатая, водосодержащая порода.

Ценные промышленные свойства кислых вулканических стекол, обусловленные комбинацией стекла с водою, естественно, возбудили интерес к тонкому строению основного вещества породы — ее стекловатой фазе, а также к физическому состоянию воды, присутствующей в породе, и к тем связям, которые должны существовать между стеклом и находящейся в нем водою.

Интересные соображения о происхождении воды в вулканических стеклах высказаны Берналом [1]. Он проводит аналогию между кислыми вулканическими стеклами и содержащими воду минералами цеолитовой группы, многие из которых также обладают способностью вспучиваться. К аналогичным выводам о природе воды в перлитах пришла Мануйлова, анализируя изменения показателя преломления перлита в различных условиях [2].

Данными рентгеноструктурных исследований цеолитов подтверждена справедливость предположения об их губчатой и каналовой структуре. В них могут существовать большие полости, в которые внедряются молекулы воды. Выделение воды из этих каналов происходит, таким образом, без какого бы то ни было изменения структуры.

Представление Фриделя [3] о структуре цеолитов как о "губчатом" каркасе основано на наблюдении, согласно которому не только вода, но также и другие жидкости — спирт, бензол, клороформ, сероуглерод и даже ртуть — могут быть введены в цеолиты. В большом количестве цеолиты могут адсорбировать также газы. Во время сорбции цеолиты остаются однородными и только их оптические свойства, главным образом показатели премомления, изменяются в зависимости от концентрации введенного в них вещества.

Замещение воды в цеолитах другими инградиентами проводили также и другие исследователи [4].

Предполагается [5], что "остаточная" вода перлитов заключает в себе слабо связанную, молекулярную воду (молекулы  $H_2O$ ) и прочно связанную конституционную, входящую в структуру перлита в виде гидроксильных групп OH.

Молекулярная, слабо связанная часть остаточной воды представляет собой, вероятнее всего, цеолитную воду, так как из всех видов слабо связанной воды цеолитная вода связана наиболее прочно, и поэтому при предварительном обжиге должна удаляться в последнюю очередь. Выделение же конституционной воды возможно только при разрушении кристаллической решетки — алюмосиликатного каркаса, что требует высокой температуры и должно сопровождаться плавлением перлита.

Мануйлова [5] считает, что вода в перлите в основном является молекулярной. Количество гидроксильных групп не превышает  $0.1^{\circ}/_{\circ}$ . Предполагается, что на поверхности алюмосиликатного каркаса перлита располагаются группы ОН , в центральной части полостей и каналов — ассоциированные молекулы, связанные с гидроксильными группами водородной связью. Сила такой связи зависит от расстояния между  $H_2O$  и ОН ; поэтому центральные молекулы  $H_2O$ , наиболее удаленные от поверхности каркаса, связаны наименее прочно.

Таким образом, исследователями проводится аналогия между вулканическими стеклами и водосодержащими цеолитами, обосновывается их губчатая и каналовая структура, делается предположение о характере содержащейся в них воды. В литературе приводятся данные о замещении воды цеолитов органическими жидкостями и, в частности, спиртами. С перлитом такие эксперименты не проводились.

Настоящая работа выполнена с целью определения возможности замещения воды перлита спиртами.

## Экспериментальная часть

Замещение воды перлита спиртами производилось с помощью экстракции. Применялись предварительно обезвоженные этиловый и метиловый спирты.

Объектом исследования служил арагацкий перлит светлосерого цвета с размером фракций 0,6-1,2 мм и менее 0,075 мм и содержанием  $\pi.\pi.\pi-3,74^{0}/_{0}$ .

Навеска перлита суспендировалась в сухом метаноле или этаноле в колбе с притертой пробкой емкостью  $250 \, \text{мл}$ . Соотношение перлит: спирт составляло 5:3, 1:1, 1:2, 1:3.

Приготовленная смесь в одной серии опытов оставлялась стоять без перемешивания, в другой — перемешивалась на механическом встряхивателе в течение 1, 2, 3, 7 и 10 часов. Затем в части раствора, взятой пипеткой, определялось количество воды, перешедшей в экстрагирующую жидкость с применением следующих физических и химических методов определения воды в спиртах: 1. определение показателя преломления; 2. газометрическое определение ацетилена, выделяющегося при реакции воды с карбидом кальция [6]; 3. натрий-этилацетатный метод определения малых количеств воды в спиртах [7]; 4. титрование реактивом Фишера [8].

В другой серии опытов смесь оставлялась при комнатной температуре и периодическом взбалтывании в течение 1, 4, 8, 96, 156 часов,

а затем определялось количество воды титрованием реактивом Фишера. В этом случае оставленные растворы через определенное время от перехода новых порций воды из породы в раствор желтели и потому снова титровались. Повторные титрования продолжались до тех пор, пока краснобурый оттенок не исчезал, что свидетельствовало о конце замещения.

Для сопоставления и контроля вода определялась также в исходных спиртах, а также специально приготовленных спиртовых растворах известной концентрации.

Результаты испытаний приведены в таблице. Так как количества воды, выделенной из обеих взятых фракций перлита, одинаковы, разграничения по фракциям не дается.

Анализ результатов по определению воды в спиртовых вытяжках показывает, что данные, полученные при различных методах, довольно близки. Исключение составляет метод определения карбидом кальция. Определение реактивом Фишера, натрий-этилацетатным методом и измерением показателя преломления можно считать одинаково точными. Первый более, заманчив в смысле удобства и быстроты определения.

Можно считать, что при экстракции с непрерывным встряхиванием полное замещение воды спиртом наступает через 10 часов. При отсутствии встряхивания полное замещение происходит гораздо позже (156 часов). Возможно, это медленное действие объясняется трудностью замещения молекул воды более крупными молекулами метанола и этанола.

Из таблицы видно, нто максимальное количество выделенной при экстракции воды составляет 3,50—3,60%. На данном этапе работы нельзя с достоверенностью сказать, вся ли вода перлита замещается спиртом. Возможно, что происходит замещение только слабо связанной молекулярной воды, которая, подобно цеолитной, может быть выведена из породы без изменения структуры. Так как вода—одно из веществ, обладающих наиболее сильным поглощением в инфракрасной области спектра, то выяснение типа замещенной воды в дальнейшем будет исследовано при помощи инфракрасной спектроскопии.

Примененные методы определения воды в экстракционных вытяжках: натрий-этилацетатный, при помощи реактива Фишера и при помощи измерения показателя преломления после небольшой методической доработки могут служить методами определения воды в перлите и других породах, так как потери при прокаливании перлита состоят из воды и летучих газов ( $N_{\rm s}$ ,  $H_{\rm s}$ ,  $O_{\rm s}$ ,  $CO_{\rm s}$  и др.), и потому не отражают количества воды в породе.

Некоторые свойства пердита, подвергнутого экстракции. Перлит после экстракции испытывался на вспучиваемость и определялся его насыпной объемный вес.

Спиртосодержащий перлит хорошо вспучивается и имеет объемный вес, одинаковый с обычным вспученным перлитом.

Таблица Содержание воды в зависимости от времени экстракции, способа экстрагирования и соотношения перлит:спирт (определение различными методами)

Образец	写		Метод	определ	тения			
	Соотношение перант-этиловый спирт	Время экстрак- цин, часы	реактивом Фишера	натрий-этил- ацетатими ме- тодом	карбидо <b>и</b> кальция	измерением показателя преломления	Примечания	
Перлит воз- лушно-сухой	5:3	1	1 1 1 1	2,97	_		Экстракция при не-	
		7	_	3,59	0,88	_	прерывном встря-	
		10	-	3,56	-	_	хивании	
	1:1	1	2,58	2,37	_	2,50	100.00	
		7	3,45	3,38	0,74	3,40		
		10	_	3,38	_			
	1:3	1	2,11	_		_		
	1:2	0	1,87 (1,87)*	-	_			
		1	2,20 (2,11)*	2,175	0,85	2,20	3-1-6	
		3	3,30 (3,17)*	2,34	_	3,30		
		7	3,57	_	_	3,60		
		10	3,59 (3,44)*	3,5	_	= -	Экстракция без	
	1:2	0	(1,87)*	-	_	-	встряхивания	
		1	(2,54)*	-	_	_	1 200,000	
		4	(2,54)*	-	_	_	No. 10 1150 1	
		48	(3, 12)*	-	-	-	После 156 ч. раство больше не желте	
		96	(3,51)*	_	_	_		
		156	(3,59)*	-	-	-	Реакция без встря-	
Перлит, высу- сушенный при 105°С**	1:2	1	(2,02)*	-	-	_	хивания	
		48	(2,70)*	-	_	-		
		108	(3,06)*	-	-	-	После 108 ч. раство больше не желтее	
Этпловый спирт, исходный				4		- 11	11 - 1,5	
99.5%				0.437	0,466	_		
97,5			5 L L 5 F	2,49	2,499	_		
95,67			_	4,15	4,75	_	*	

<sup>\*</sup> В скобках приведены данные по экстракции в метиловом спирте.

На рисунке показаны кривые потерь при прокаливании водосодержащего и спиртосодержащего перлита. При нагревании до 200° они совпадают. В интервале 200—600° наблюдается разрыв, причем кривая водосодержащего перлита проходит гораздо круче. После 600° кривые сближаются и проходят параллельно. Подобный разрыв

<sup>\*\*</sup> Количество гигроскопической влаги составляет 0,15°/о.

показывает, что эффект удаления спирта, по єравнению с водой, сдвинут в область более высоких температур.

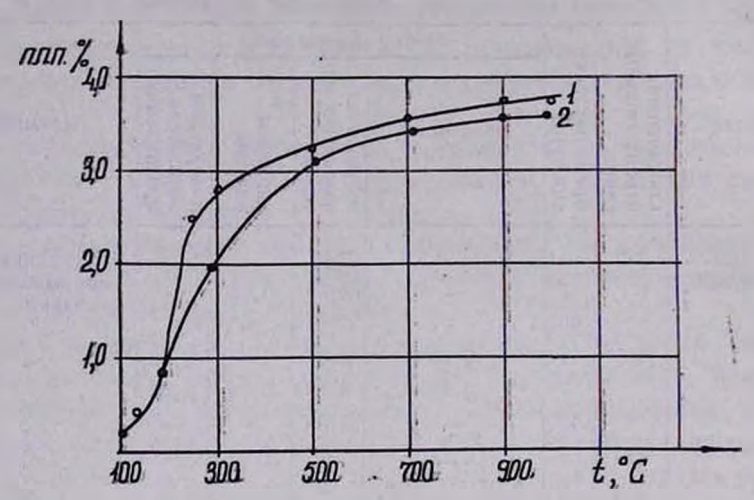


Рис. 1. Кривые потерь при прокаливании / — водосодержащего перлита; 2 — спиртосодержащего перлита.

Показатель светопреломления водосодержащего перлита ниже показателя светопреломления спиртосодержащего, но установить какую-либо закономерность в зависимости от содержания введенного спирта не удалось из-за малой чувствительности рефрактометра.

Научно-исследовательский институт камня и силикатов

Поступило 14 IV 1966

ԶՐԻ ԼԿՍՏՐԱԿՑՈՒՄ ԶՈՒՐ ՊԱՐՈՒՆԱԿՈՂ ՀՐԱԲԽԱՅԻՆ ԹԹՈՒ ԱՂԱԿԻՆԵՐԻՑ

Մ. Վ. ԳԱՐԲԻՆՑԱՆ և Է. Ռ. ՍԱՀԱԿՅԱՆ

# U d h n h n ı d

ժարսող տերանիան, ծուն տետուրական տահակերդար ջնանիտնիր <u>հիրասութ</u>նուր <del>է</del> վամ քրարակը տահաևրթևի <u>հ</u>վուղ վենծիր գտգտրակրբես քանը վենասու<u>հ</u>նուր <del>է</del> Հիրանտեսակիր բ Հիրարնութին, տևմնուրանրևա<u>ի</u>նար դրձ օժուտժանգ

ր Տեն ու ատակու գիծը բվուց վումենի ընտողաղեւ թուրջընն, տեսըն տակորունվուց եր տատնանրուղ տատեր չերկովում դեջակի կարտետն, չբատնեն տակորություն եր տատնանրուղ տատեր չերկովում դեջակի գետերանին հեսուտոնանում արևընթեր անումաներություն անակուղում անագրում անագր

ցուլց է տալիս, որ ջուրը չի կարող հանդիսանալ նրա կառուցված քի էական գուլց է տալիս, որ ջուրը չի կարող հանդիսանալ նրա կառուցված քի էական րտ տարևուրտիսմ տերակրակը։ ոտիրոսրբևով ը սշոսշղջտորևթի Տևտիկը տերակիաի արձաշղն օևձարտվար ստմիդար քահատակով վտատերն թըւճ ծևի փախտերըուպ Էկինակիր բ դբելինակիր դառն։ Սշոակ քրեկտ տշխատարճաշպ տրունիտի ծևի Եկղիտվար երաշկի սևսշ-

#### ЛИТЕРАТУРА

- 1. Д. Д. Берналл, Усп. хим., 25, 656 (1955).
- Н. С. Мануйлова, М. М. Столовицкая, С. И. Вебер, О влиянии структуры и текстуры перлитовых пород на их вспучиваемость. Сборник трудов РОСНИИМС, № 25, 1962.
- 3. G. Friedel, Bull. Soc. Franc. de mineralogie, 19, 14, 96 (1896).
- 4. F. Rinne, Neues Jahrbuch für Mineralogie, Geologie und Paläontologie, Beilage-Band, 2, 28 (1897); O. Weigel, E. Steinhoft, Z. Kristallographie, 61, 125 (1925).
- Н. С. Мануйлова, Микроструктура природных перлитов и ее изменение в процессе вспучивания. Сборник РОСНИИМС, № 19, 1961.
- 6. W. Boller, Chem.-Ztg., 50, 537 (1926).
- E. L. Smith, J. Chem. Soc., 1284 (1927). E. S. Gyngell, M. A. Phillips, E. L. Smith, Ind. Chemist, 21, 526 (1945).

CONTRACTOR OF THE PROPERTY OF THE PROPERTY OF THE PROPERTY OF THE PARTY OF THE PART

sis it you) it is to concern surveys arrange may only a market ar

and the state of a support of the support of the state of the

8. K. Fischer, Angew. Chem., 48, 394 (1935).

XX, № 6, 1967

### КРАТКИЕ СООБЩЕНИЯ

УДК 542.97+621.315.592

# ЭПР И КАТАЛИТИЧЕСКАЯ АКТИВНОСТЬ ПОЛУПРОВОДНИКОВ

Г. А. ИСАЯН, И. Ф. БУЧНЕВ и Ж. М. ГАСПАРЯН

В соответствии с электронной теорией катализа на полупроводниках, развитой Волькенштейном [1], активность катализаторов зависит от концентрации электронного облака на поверхности катализатора. Волькенштейном [2] установлена связь между каталитической активностью полупроводника и его электропроводностью, которая также находится в связи с концентрацией электронного облака на поверхности катализатора.

Связь каталитической активности полупроводника с его электропроводностью получила экспериментальное подтверждение [3]. Однако так как измерение электропроводности полупроводника учитывает все типы проводимости и недостаточно четко характеризует концентрацию электронного облака на его поверхности, электропроводности может служить характеристикой активности лишь различных образцогодного и того же полупроводника, отличающихся содержанием примеси.

Концентрация электронного облака на поверхности полупровод никового катализатора более полно может характеризоваться откры тым в 1945 г. Завойским [4] явлением парамагнитной резонансно абсорбции (электронный парамагнитный резонанс).

В литературе имеется ряд работ, посвященных изучению спек тров ЭПР некоторых полупроводниковых катализаторов.

По литературным [5] экспериментальным данным, нами построен приведенный на рисунке 1 график зависимости выхода аммиака н промотированных Al<sub>2</sub>O<sub>3</sub> железных катализаторах от магнитной восприимчивости этих катализаторов. Эта зависимость получается линей ной. Такая же зависимость получается и для активности окиснохромовых нанесенных катализаторов полимеризации этилена, полученная по экспериментальным данным других авторов [6] и [7] (рис. 2). Эт хорошо согласуется с выводами Волькенштейна [1]. Боресков и др [7] указывают, что образцы катализаторов, в спектрах ЭПР которымий не наблюдается, неактивны, что видно также из рисунка (катализатор серии "в") и рисунка 2.

К сожалению, в упомянутых нами работах авторы рассматривают интенсивность сигнала ЭПР только для линий ионов одного

окисла металла. Несомненно, что в акте катализа принимают участие и другие парамагнитные ионы, присутствующие в катализаторе. На это указывают Боресков и др. [6]. Вследствие этого можно предположить, что активность полупроводникового катализатора прямо пропорциональна концентрации электронного облака всех парамагнитных ионов, присутствующих в катализаторе, т. е. она - аддитивная величина. Так, с переходом от одного носителя к другому в процессе синтеза аммиака (рис. 1) линия активности сдвигается параллельно себе. Можно предположить, что величина сдвига равна активности катализа-

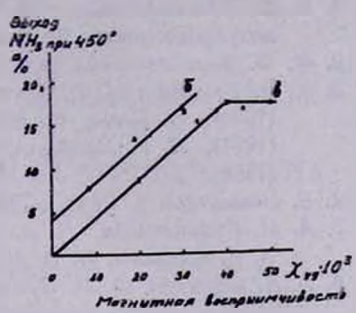


Рис. 1. Зависимость активности промотированных  $Al_2O_3$  железных катализаторов синтеза аммиака от магнитной восприимчивости.  $x_{yx}$ . катализаторов (после восстановления).

тора, вызываемой ионами, содержащимися в носителе. Это видно из рисунка 3, где показана зависимость выхода полимера этилена от содержания Al<sub>2</sub>O<sub>3</sub> в носителе, полученная по данным [6]. Введение в

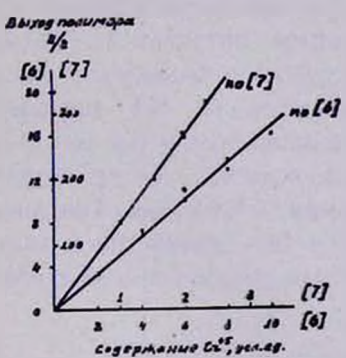


Рис. 2. Зависимость активности окиснохромовых нанесенных катализаторов полимеризации этилена от содержания в них Cr<sup>+5</sup>.

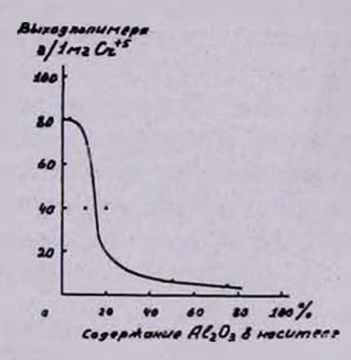


Рис. 3. Зависимость активности окиснохромового нанесенного катализатора полимеризации этилена от содержания в нем Al<sub>2</sub>O<sub>2</sub>.

носитель  ${\rm Al_3O_3}$  приводит к резкому снижению полимеризации этилена. В то же время известно [8], что для алюмосиликатов спек тры оказываются разрешенными тем хуже, чем больше содержание  ${\rm Al_3O_3}$  в носителе.

Кироваканский химический комбинат им. Ал. Мясникяна, центральная химическая лаборатория

### ЛИТЕРАТУРА

- 1. Ф. Ф. Волькенштейн, ЖФХ, 24, 1068, (1950); Электронная теория катализа на полупроводниках, Москва. Физматгиз, 1960 г.
- 2. Ф. Ф. Волькенштейн, ЖФХ, 25, 1214 (1951).
- 3. К. В. Топчиева, И. Ф. Московская, В. Я. Стаценко, Кинетика и катализ, 6, 1028 (1964); И. Бата, Ф. Шольмоши, З. Г. Сабо, Кинетика и катализ, 5, 842 (1964); Л. Г. Майдановский, И. А. Кировская, Кинетика и катализ, 5, 1049 (1964).
- 4. Е. Завойский, J. Phys. (СССР), 9, 211, (1945).
- 5. А. М. Рубинштейн, Н. А. Прибытков, В. М. Акимов, А. Л. Клячко, Гурвич, А. А. Слинкин, И. В. Мельникова, Кинетика и катализ, 6, 285, (1965).
- 6. Г. К. Боресков, Ф. М. Буканаева, В. А. Дзисько, В. Б. Казанский, Ю. И. Печерская, Кинетика и катализ, 5, 434 (1964).
- 7. Ф. М. Буканаева, Ю. И. Печерская, В. Б. Казанский, В. А. Дзисько, Кинетика и катализ 3, 358 (1962).
- 8. Е. В. Кавалерова, В. Б. Голубев, В. Б. Евдокимов, ЖФХ, 37, 226 (1963).

XX, № 6, 1967

УДК 541.24+537.311+678.763?

## ЗАВИСИМОСТЬ ЭЛЕКТРОПРОВОДНОСТИ ПОЛИХЛОРОПРЕНА ОТ МОЛЕКУЛЯРНОГО ВЕСА

#### Ю. К. КАБАЛЯН и Л. Г. МЕЛКОНЯН

Известно, что температура стеклования ( $T_c$ ), вязкость [1] и диапазон эластичности [2] полимеров сильно зависят от молекулярного веса. У полимеров, цепи которых обладают малой кинетической гибкостью, температура стеклования становится постоянной при  $M_c \gg 40000$ .

В данном сообщении приводятся результаты исследования электропроводности хлоропренового каучука наирита КР в зависимости от молекулярного веса.

Наирит КР получен эмульсионной полимеризацией хлоропрена при  $40^\circ$  с использованием комбинированного регулятора (сера+меркаптан). Фракционирование произведено методом дробного осаждения при  $20^\circ$ ; в качестве осадителя использована смесь бензол-метанол, после осаждения полимер высушивался в вакууме 10 мм рт. ст. и температуре  $40^\circ$  до постоянного веса. Образцы в виде пленок, толщиной 0,5 мм изготовлялись из бензольных растворов  $(2:3^\circ/_0)$  на поверхности ртути. Электрическое сопротивление образца измеряли в специальной вакуумной камере тераомметром  $\Phi$ -507. Измерения проводили в интервале  $-40 \div +49^\circ$ . Средние значения молекулярных весов фракционированного наирита КР приведены в таблице.

	Таблица  Средний  молекуляр- ный вес			
[η]				
2,12	760000			
1,02	250000			
0,74	160000			
0,41	<b>7200</b> 0			
	2,12 1,02 0,74			

На рисунке приведены зависимости логарифма удельного объемного сопротивления ( $\lg \rho_v$ ) от (1/T) для фракционированного наирита КР. Как видно из рисунка, температурная зависимость удельного объемного сопротивления, для хлоропренового каучука со средним молекулярным весом от 750000 до 160000, имеет одинаковый характер. Наирит КР VI фракции во всем температурном интервале изме-

рения имеет удельное объемное сопротивление на порядок больше, по сравнению с остальными фракциями. Таким образом, проводимость

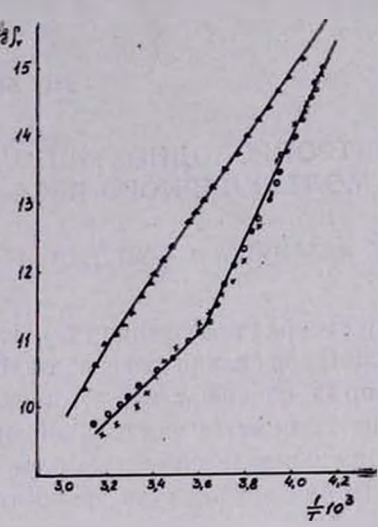


Рис. 1. Зависимость логарифма удельного сопротивления хлоропренового каучука от  $\frac{1}{m} \cdot 10^3$ .

$$\triangle$$
 — фракция VI ( $M_v = 72000$ );  
 $\bigcirc$ , X,  $\blacksquare$  — фракции, III, IV и V  
( $M_v = 760000 \div 160000$ ).

жлоропренового каучука не зависит от молекулярного веса при  $M_{\star} \geqslant 160000$ .

Всесоюзный научно-исследовательский проектный институт полимерных продуктов

Поступило 24 VI 1965

#### ЛИТЕРАТУРА

P. Flory, T. Fox, J. Pol. Sci., 3, 647 (1948).
 B. A. Каргин, T. H. Соголова, ЖФХ, 23, 530 (1949).

### XX. № 6, 1967

УДК 546.59+622.775

# ИЗВЛЕЧЕНИЕ ЗОЛОТА ИЗ ХВОСТОВ ФЛОТАЦИИ МЕТОДОМ СОРБЦИОННОГО ВЫЩЕЛАЧИВАНИЯ

#### М. Н. АРУТЮНОВА

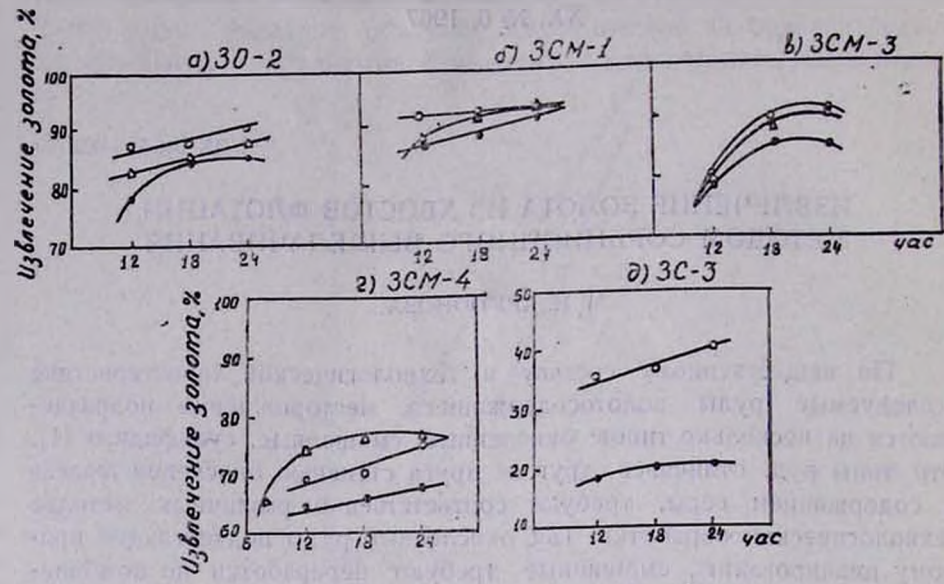
По вещественному составу и технологической характеристике исследуемые руды золотосодержащего месторождения подразделяются на несколько типов: окисленные, смешанные, сульфидные [1]. Эти типы руд, отличаясь друг от друга степенью окисления железа и содержанием серы, требуют соответственно различных методов технологической обработки. Так, окисленные руды подвергаются прямому цианированию, смешанные—требуют переработки по комбинированной схеме: флотация с последующим цианированием хвостов; флотацией сульфидной руды достигается до 92% извлечения золота. Так как нацело окисленные или сульфидные руды встречаются редко, то на обогатительную фабрику будут поступать в основном смешанные руды, которые потребуют переработки по комбинированной схеме, включающей флотацию и цианирование хвостов флотации.

Одним из перспективных направлений в обогащении золотосодержащих руд за последние годы является выщелачивание благородных металлов из руды совместно с ионитами, иными словами, сорбционный метод обработки руд [2]. Этот метод может быть применен также и при выщелачивании флотационных концентратов и хвостов флотации.

С целью изучения возможности применения ионообменных смол для извлечения золота из цианистых пульп при комбинированной схеме обогащения, получения более бедных отвальных кеков и сокращения общего времени цианирования нами были проведены исследования по сорбционному выщелачиванию хвостов флотации, получаемых при обогащении различных технологических типов руд.

Условия опытов по сорбционному выщелачиванию. Навеска исходного продукта—хвосты флотации—в количестве 200 г, степень измельчения продукта— $75-80^{\circ}/_{\circ}$  содержания класса минус 200 меш., при отношении  $T: \mathcal{K} = 1:2$ , концентрация цианида калия— $0.04^{\circ}/_{\circ}$ , извести— $0.02^{\circ}/_{\circ}$ , расход  $BaO_2 - 0.5$  г. Навеска анионита—0.5 г, воздушно-сухого в C1-форме, крупностью +0.6 мм. Время цианирования и сорбционного выщелачивания в опытах варьировалось от 8 до 24 часов. Данные исследования приведены на рисунке 1 и в таблице 1.

Кривые извлечения золота из хвостов флотации показывают, что добавление в цианистую пульпу анионитов АВ-17 или АМП [3] не



Uзвлечение золота при цианировании
.— . — без стопы, д-д- со стопой АВ-17,
.— о— со стопой АМП. ¬

Рис. 1.

Таблица

Сравнительные данные по цианированию и сорбционному выщелачиванию 
хвостов флотации

SING LINES	White or	Извлечение золота, <sup>0</sup> / <sub>0</sub>						
Наименование	сър		ние ое в <b>и</b> ш	выщела-		ование	ACTIVITY OF THE	
продукта	смова АМП		смола АВ-17		OCS CAIONER		Тип руды	
to an appearant	12 час	24 час	12 час	24 час	12 час	24 час	MARKET TO	
Сорбировано смолой Осталось в растворе Всего извлечено	68,1 19,1 87,2	80,0 10,5 90,5	61,0 22,0 83,0	72,3 14,9 87,2	78,8	85,1	Окисленная (30—2)	
Сорбировано смолой Осталось в растворе Всего извлечено	80.3 12,0 92,3	92.3 кет 92.3	79,1 8,8 87,9	92,3 нет 92,3	87,9	91,2	Смешанная (3СМ—1)	
Сорбировано смолой Осталось в растворе Всего извлечено	61,9 16,7 78,6	90,5 нет 90,5	61,9 16.7 78,6	81,0 9,5 90,5	78,6	85,7	Смешанная (ЗСМ—3)	
Сорбировано смолой Осталось в растворе Всего извлечено	53,9 15,4 69,3	67,3 7,7 75,0	55,8 19,2 75,0	64,5 11.5 76,0	65,4	67,3	Смешанная (3СМ—4)	
Сорбировано смелой Осталось в растворе Всего извлечено	29,1 6,4 35,5	36.8 3.2 40,0	STATE OF	- (1)	19,4	22,5	Сульфидная (ЗС—3)	

только приводит к значительному улучшению процесса цианирования, но и позволяет сократить время, необходимое для максимального извлечения золота до 12 часов вместо 24 часов при цианировании без анионита. При этом извлечение золота возрастает соответственно с 85.1 до  $90.5^{\circ}/_{\circ}$ , с 91.2 до  $92.3^{\circ}/_{\circ}$ , с 67.3 до  $75.0^{\circ}/_{\circ}$  и с 22.5 до  $40.0^{\circ}/_{\circ}$  (см. рис. 1а, б, в, г, д).

Общий расход реагентов—цианида и извести в процессе сорбционного выщелачивания, как выяснилось из опытов, или уменьшается, или остается одинаковым по сравнению с цианированием без смолы. Лишь в случае переработки продуктов окисленной руды (30—2) расход указанных реагентов несколько повышается.

Данные таблицы 1 говорят о том, что извлечение золота при сорбционном выщелачивании из хвостов, полученных из различных типов руд, во всех случаях выше, чем при выщелачивании без смолы; почти все золото, перешедшее в раствор, сорбируется смолой.

Показана также степень сродства анионитов АВ-17 и АМП к цианистому комплексу золота. Так, сорбционная способность смолы АМП выше, чем смолы АВ-17, что неоднократно отмечалось и в исследованиях других авторов.

Количество золота в продуктах обогащения определялось в пробирной лаборатории НИГМИ. Анионит, насыщенный золотом, подвергали предварительно озолению в муфельной печи.

Максимальная сорбция анионитом АМП растворенного золота из цианистых пульп наблюдалась в случае сорбционного выщелачивания хвостов флотации смешанной руды —  $92,3^{\circ}/_{\circ}$ . Последнее обстоятельство выдвигает целесообразность внедрения метода сорбционного выщелачивания при переработке смешанных золотосодержащах руд.

Научно-исследовательский горно-металлургический институт

Поступило 28 III 1967

#### JHTEPATYPA

1. С. С. Ак. чаева, М. Т. Сулханова, Промышленность Армении, 1965, № 1, 54.

2. И. Н. Плаксин, А. И. Синельникова, А. Ю. Бейлин, ДАН СССР, 129, 1359—1361, (1959); К. В. Чмутов (редактор), Ионообменная технология, сборник, Наука, Москва, 1965 год; И. Н. Плаксин, С. А. Тэтару, Известия ВУЗов, Цвет. металлургия, 1964, № 2, 106—113.

3. Б. Н. Ласкорин, П. Г. Иоанисиани, Н. А. Алексеева, Г. Н. Никульская, К. Ф. Перелыгина, ЖПХ, 34, 881 (1961).

XX, № 6, 1967

# ВАРДУИ ГЕОРГИЕВНА АФРИКЯН

Исполнилась юбилейная дата — 60-летие Вардуи Георгиевны Африкян, заведующей сектором химии гетероциклических соединений ИТОХ АН АрмССР, одной из активных участниц организации и становления Института тонкой органической химии.

Начиная с 1941 года Вардуи Георгиевна работает на кафедре органической химии Ереванского медицинского института, где помимо



педагогической деятельности участвует в организации специальной химической лаборатории при кафедре и занимается синтезом реактивов и индикаторов для нужд Советской Армии.

В связи с образованием в 1944 году научно-исследовательской лаборатории, послужившей основой для организиции ИТОХ, Вардуи Георгиевна переходит в указанную лабораторию на исследовательскую работу. В 1951 году В. Г. Африкян успешно защищает кандидатскую диссертацию.

В дальнейшем и до настоящего времени Вардуи Георгиевна является руководителем одного из

синтетических отделов ИТОХ, где ведутся исследования по изысканию новых физиологически активных веществ. В основном исследования, проводимые под руководством Вардуи Георгиевны, можно подразделить на поиски новых активных химиотерапевтических соединений среди различных классов гетероциклических систем, и синтез эффективных веществ, действующих на сердечно-сосудистую систему—аминоэфиров гетероциклических и ароматических кислот. Помимо теоретического значения в аспекте изучения проблемы связи между строением химических соединений и их физиологическим действием, эти исследования дали ряд практических результатов. Среди аминоэфиров производных пара-алкоксибензойных кислот найдены активные вещества, которые под названиями "Ганглерон" и "Кватерон" прочно вошли в медицинскую практику для лечения стенокардии, язвенной и гипертонической болезней. Получены также другие высокоактивные вещества, которые в настоящее время проходят испытания.

Большая заслуга Вардуи Георгоевны и в воспитании молодой смены научных работников в руководимом ею секторе.

Коллектив ИТОХ АН АрмССР и редакция Армянского химического журнала, отмечая заслуги Вардун Георгиевны Африкян, желают ей дальнейших творческих успехов и здоровья на долгие годы.